

SKRIPSI

**PERENCANAAN DAN PEMBUATAN ALAT PENGENDALI
MOTOR DC BERBASIS FUZZY LOGIC DENGAN
MENGGUNAKAN MIKROKONTROLLER AT89S51 DENGAN
TAMPILAN LCD**



Disusun Oleh :

**TULUS JUNAEDIH
NIM 0112123**



**JURUSAN TEKNIK ELEKTRO S-1
KONSENTRASI TEKNIK ENERGI LISTRIK
FAKULTAS TEKNOLOGI INDUSTRI
INSTITUT TEKNOLOGI NASIONAL MALANG**

SEPTEMBER 2007

卷之三

GOI KAUSTHAT

• 1990 年卷之三

ମହାକାଳ ଶବ୍ଦରେ କୌଣସିବାରେ

THE CENTRAL ASIAN MAGAZINE
THE PAKISTANI ASIAN PANTHEON
THE CHINESE MUSLIM CATHOLIC
CATHOLIC CHINESE IN PAKISTAN

19. *Leucosia* *leucostoma* *leucostoma* *leucostoma* *leucostoma*

LEMBAR PERSETUJUAN

PERENCANAAN DAN PEMBUATAN ALAT PENGENDALI MOTOR DC BERBASIS FUZZY LOGIC DENGAN MENGGUNAKAN MIKROKONTROLLER AT89S51 DENGAN TAMPILAN LCD

SKRIPSI

*Disusun Dan Diajukan Untuk Memenuhi Persyaratan Guna Mencapai Gelar
Sarjana Teknik Elektro Strata Satu (S-1)*

Disusun Oleh :
TULUS JUNAEDHI
NIM : 01.12.123

Diperiksa dan disetujui,

Disetujui,
Dosen Pembimbing I,

Ir. Widodo Pudji Muljanto, MT
NIP. Y. 102 870 0171

Disetujui,
Dosen Pembimbing II,

I Komang Somawirata, ST, MT
NIP. 1030100361



Mengetahui,
Ketua Jurusan Teknik Elektro S-1

Ir. F. Yudi Limpraptono, MT
NIP. Y. 103 950 0274

KONSENTRASI TEKNIK ENERGI LISTRIK
JURUSAN TEKNIK ELEKTRO S-1
FAKULTAS TEKNOLOGI INDUSTRI
INSTITUT TEKNOLOGI NASIONAL MALANG
2007

KATA PENGANTAR

Segala puji dan syukur kepada Tuhan Yang Maha Esa karena oleh anugrah-Nya, penyusun dapat menyelesaikan tugas akhir ini.

Tugas skripsi ini dibuat untuk melengkapi ujian sarjana Jurusan Teknik Elektro S-1 , konsentrasi Teknik Energi Listrik pada Institut Teknologi Nasional Malang (ITN Malang). Penulisan tugas akhir ini berjudul “ Perencanaan Pembuatan Alat control Kecepatan Motor DC Berbasis Logika Fuzzy dengan Mikrokontroller AT89S51”.

Dengan selesainya tugas akhir ini penyusun ingin menyampaikan terima kasih sebesar-besarnya kepada yang terhormat :

1. **Frof.Dr.Ir.Abraham Lomi,MSEE**,selaku rector Institut Teknologi Malang.
2. **Ir.Mochtar Ansori MSEE**,selaku Dekan Fakultas Teknologi Industri, Institut Teknologi Nasional Malang.
3. **Ir.F Yudi Limpraptono,MT**,selaku Ketua Jurusan Elektro, Institut Teknologi Nasional Malang.
4. **Bapak Ir.Widodo Pudji M,MT**,selaku Desen Pembimbing yang telah memberi ilmu,dorongan semangat dan bantuan.
5. **Bapak I Komang Somawirata,ST,MT**,selaku Dosen Pembimbing kedua yang telah memberi masukan yang sangat berguna..
6. Rekan – rekan di Institut Teknologi Nasional Malang.Dalam penyusunan skripsi ini penyusun menyadari bahwa skripsi ini masih memiliki

kekurangan ,karena itu masukan-masukannya akan penyusun nantikan untuk penyempurnaan selanjutnya.

7. Terima kasih atas doa kedua orang tua aku yang selalu mendoakan kesuksesanku serta doa Y 42 KU yuni yang setiap malam setiap waktu berdoa buat ku thank's banget
8. Terima kasih kepada teman-teman yang telah memberi suport semangat hingga terselesainya skripsi ini serta dorongan dan doanya hingga sukses,aku doakan juga semua teman-teman cepat lulus dan dapat kerja....

Malang September 2007

Tulus J

1000

ABSTRAK

Perencanaan dan Pembuatan Alat Kontrol Kecepatan Motor DC Berbasis Fuzzy Logic dengan Menggunakan Mikrokontroller AT89S51 dengan Tampilan LCD,Tulus Junaedhi, 01.12.123,Teknik Energi Listrik S-1,Dosen Pembimbing I: Ir. Widodo Pudji M, MT,Dosen Pembimbing II : I Komang Somawirata,ST, MT

Kata kunci : Motor , Fuzzy logic , Mikrokontroller AT89S51

Dalam industri modern sekarang ini,banyak digunakan system control untuk pengaturan kelemahan dan kelebihan motor agar dapat bekerja sesuai dengan yang diharapkan hampir 90% aplikasi motor pada industri menggunakan jenis motor DC. Alasan utama , diantaranya karena motor jenis ini memiliki struktur yang kokoh, keandalan tinggi, harga relatif murah, dan perawatan mudah . Namun pengendalian motor ini sulit sehingga peralatan pengendaliannya menjadi mahal. Masalah yang dihadapi dapat dirumuskan sebagai berikut apa perbedaan perancangan alat kendali motor DC fuzzy logic dengan konvensional,bagaimana pengaruh setting kecepatan terhadap pengujian,bagaimana respon waktu untuk mencapai sertpoint,tujuan yang ingin dicapai dari penelitian ini adalah membuat alat control kecepatan putaran motor DC berbasis fuzzy logic dengan menggunakan mikrokontroller AT89S51 dengan tampilan LCD.pengendalian kecepatan motor DC berbasis logika fuzzy menawarkan suatu pendekatan baru dalam perancangan suatu sistem kendali. Dengan menggunakan variabel linguistik, yang menggantikan variabel numerik pada sistem kendali konvensional. Kecepatan motor DC seringkali sulit dikendalikan, Hal ini disebabkan sifatnya yang tidak linier. Tulisan ini menjelaskan perancangan suatu pengendali kecepatan putaran motor DC berbasis logika fuzzy dengan menggunakan mikrokontroler AT89S51.

Kajian literature yang menunjang pembahasan mengenai pembahasan mengenai motor DC,logika pemograman fuzzy guna merencana dan pembuatan perangkat keras maupun perangkat lunak. Merancang membuat perangkat keras dan perangkat lunak yang saling berkaitan satu dengan yang lainnya,kemudian merakit menjadi suatu sistem kendali.

Dari hasil perancangan dan pembuatan alat pengendali kecepatan motor DC berbasis logika Fuzzy dengan menggunakan mikrokontroler : Fuzzy logic controller merupakan suatu system kendali yang jauh lebih mudah penerapannya dibandingkan kendali konvensional,karena tidak perlu mencari model matematis dari system,hasil pengujian menunjukan bahwa ketika kecepatan diberi set point 100 rpm, kecepatan maximal mencapai 120 dan kecepatan minimum 60 rpm dalam pembebanan perlu dilakukan batasan beban yang diberikan ke motor, karena pada saat overload motor akan lebih lambat untuk mencapai kestabilan. Pengaturan kecepatannya untuk kesetabilan putaran motor tersebut,mempunyai waktu yang ditempuh dari mengalami perubahan ke set point yang telah ditentukan 2,5 detik.

ପାଇଁ କିମ୍ବା କିମ୍ବା

19. The following table gives the number of hours worked by each of the 1000 workers.

10. The following table shows the number of hours worked by each employee in a company.

—
—
—

在於此，所以說是「空」。但這空不是沒有，而是「無所有」，就是說沒有任何形質。

在於此，故其後人所傳之書，多以爲子雲之筆。

在於此，故其後人之學，多以爲子思之傳。蓋子思之學，實出於孟子，而後人不知，故以爲子思之傳。

the first time in the history of the world that the people of a country have been compelled to pay for their freedom.

the first time, and the author has been unable to find any reference to it in any of the standard works on the subject.

وَالْمُؤْمِنُونَ الْمُؤْمِنَاتُ وَالْمُؤْمِنُونَ الْمُؤْمِنَاتُ

After the first few days of shooting, I found it easier to go to the beach and sit on a chair, reading or writing, than to go around the island.

and the author's name, and the date of publication, and the publisher's name.

and the first stage of the process is to identify the relevant documents.

10. *Leucanthemum vulgare* L. (Lam.)

水之源也。故曰：「水者，百川之宗，五湖之主。」

10. अस्ति विद्युत् इव विद्युत् इव विद्युत् इव विद्युत् इव विद्युत्

10. The following table gives the number of hours per week spent by students in various activities.

DAFTAR ISI

KATA PENGANTAR	i
ABSTRAK.....	iii
DAFTAR ISI.....	.vi
DAFTAR TABEL.....	.vii
DAFTAR GAMBAR	viii
BAB I PENDAHULUAN	
1.1 Latar Belakang	1
1.2 Rumusan Masalah	2
1.3 Tujuan.	2
1.4 Batasan Masalah.....	2
1.5 Metodologi Pembahasan	3
1.6 Sistematika Penulisan.....	3
BAB II LANDASAN TEORI	
2.1 Motor DC	4
2.1.1 Konstruksi	4
2.1.2 Prinsip Kerja Motor DC	5
2.1.3 Jenis-Jenis Motor DC.....	8
2.1.4 Motor DC Penguatan Terpisah.....	9
2.1.5 Pengaturan Kecepatan Motor DC.....	11
2.1.6 Pengaturan Tegangan Jangkar	12
2.1.7 Spesifikasi Motor DC.....	13
2.2 Fuzzy Logic	13

2.2.1 Umum.....	13
2.2.2 Konsep Dasar Logika Fuzzy	14
2.2.3 Himpunan Klasik.....	14
2.2.4 Fungsi Keanggotaan Himpunan Fuzzy	17
2.2.5 Operasi Himpunan Fuzzy	18
2.2.6 Variabel Linguistik.....	19
2.2.7 Kontroller Dengan Fuzzy Logic.....	19
2.2.7.1 Fuzzifikasi	22
2.2.7.2 Basis Pengetahuan.....	22
2.2.7.3 Logika Pengambilan Keputusan.....	25
2.2.7.4 Defuzzifikasi	28
2.3 Mikrokontroller	29
2.5.3. Konfigurasi Pena-Pena Mikrokontroller AT89S51.....	30
2.5.4. Karakteristik <i>Oscillator Inverting</i>	33
2.5.5. Organisasi <i>Memory</i>	34
2.5.5.1. <i>Program Memory Internal</i>	34
2.5.6. SFR (Special Function Register).....	35
2.5.7. Sistem Interupsi.....	36
2.4 LCD (Liquid Crystal Display).....	37

12

13

14

15

16

17

18

19

20

21

22

23

24

25

26

27

28

29

30

31

32

33

BAB III PERANCANGAN PERANGKAT KERAS DAN PERANGKAT LUNAK

3.1 Perancangan Perangkat Keras	40
3.1.1 Diagram Blok	41
3.2 Perancangan Minimum system Mikrokontroller AT89S51.....	42
3.2.1 Rangkaian Clock Internal.....	43
3.2.2 Rangkaian <i>Reset</i>	44
3.3 Perancangan Rangkaian LCD.....	44
3.4. Papan Tombol (<i>Keypad</i>).....	47
3.5 Racangan Modul Tachometer.....	48
3.6 Perancangan ADC dan DAC	51
3.7 Driver Motor	52
3.8 Rancangan Perangkat Lunak Sistem	54
3.8.1 Rancangan Perangkat Lunak Pusat Pengendali Kecepatan Motor DC	55
3.8.2 Proses Inferensi	57
3.8.3 Proses Defuzzifikasi	57
3.8.4 Mekanisme infersi	58

BAB IV PENGUJIAN ALAT DAN ANALISA DATA

4.1 Pengujian ALat Pengendali Kecepatan Motor	62
4.2 Pengujian optocopler.....	65

BAB V KESIMPULAN.....

DAFTAR PUSTAKA	71
----------------------	----

1. *Chlorophytum* (L.) Willd.

2. *Chlorophytum* (L.) Willd.

3. *Chlorophytum* (L.) Willd.

4. *Chlorophytum* (L.) Willd.

5. *Chlorophytum* (L.) Willd.

6. *Chlorophytum* (L.) Willd.

7. *Chlorophytum* (L.) Willd.

8. *Chlorophytum* (L.) Willd.

9. *Chlorophytum* (L.) Willd.

10. *Chlorophytum* (L.) Willd.

11. *Chlorophytum* (L.) Willd.

12. *Chlorophytum* (L.) Willd.

13. *Chlorophytum* (L.) Willd.

14. *Chlorophytum* (L.) Willd.

15. *Chlorophytum* (L.) Willd.

16. *Chlorophytum* (L.) Willd.

17. *Chlorophytum* (L.) Willd.

18. *Chlorophytum* (L.) Willd.

19. *Chlorophytum* (L.) Willd.

20. *Chlorophytum* (L.) Willd.

21. *Chlorophytum* (L.) Willd.

22. *Chlorophytum* (L.) Willd.

DAFTAR TABEL

2-1. Tabel Aturan Kontrol Fuzzy Macvicar-Whelan.....	27
2-2 Special Function Register	39
2-4. Display LCD.....	42
3-1 Aturan inferensi Logika Fuzzy yang digunakan.....	61
4-1 Hasil pengujian.....	62
4-2 Hasil pengujian optocopler.....	65
4-2 Pehitungandan pengujian VDC.....	65

卷之三

• 17 •

19. The *Wright's* have a large house, and a fine garden.

2016-07-14 10:30:00 - 2016-07-14 10:45:00

وَالْمُؤْمِنُونَ الْمُؤْمِنَاتُ وَالْمُؤْمِنُونَ الْمُؤْمِنَاتُ

10. The following table gives the number of hours worked by each of the 1000 workers.

1920-1921 - 1922-1923 - 1923-1924 - 1924-1925 - 1925-1926

19. The following table gives the number of cases of smallpox reported in each State during the year 1802.

Figure 1. A schematic diagram of the experimental setup for the measurement of the absorption coefficient.

Figure 1. The relationship between the number of species and the area of forest cover.

• 1992-02-01 14:12:47.000000000 +00:00

For more information about the U.S. National Library of Medicine, visit www.nlm.nih.gov.

Figure 10. The effect of the number of hidden neurons on the performance of the neural network.

$\sigma_2 = \text{constant}$ and $\sigma_1 = \text{constant}$ (right).

11. *Leucosia* — *Leucosia* — *Leucosia*

10. The following table shows the number of hours worked by each employee.

DAFTAR GAMBAR

2-1 DC . Konstruksi Motor	5
2-2. Interaksi Antara Medan Magnet Dan Penghantar Yang Dialiri Arus.....	6
2-3. Rangkaian Jenis Motor DC Penguatan Terpisah	9
2-4. Diagram Skematik Jangkar-Magnet Terkontrol Motor DC.....	12
2 -5. Himpunan Fuzzy Dan Istilahnya.....	15
2 -6. Himpunan Fuzzy Dan Penyokongnya	16
2-7. Bentuk Fungsi Segi Tiga Keanggotaan.....	17
2-8. Fungsi Keanggotaan Segitiga.....	17
2-9. Bagian Pokok Fuzzy Logic Controller.....	20
2-10. Diagram Blok Sistem Pengaturan Dengan Logika Fuzzy.....	21
2-11. Blok Diagram Mekanisme Inferensi.....	27
2-12. Mekanisme Inferensi Miso Dengan Operasi Max-Min.....	27
2-13. Metode-Metode Defuzzifikasi.....	28
2-14. Arsitektur Perangkat Keras.....	30
2-15. Alamat RAM Internal dan Flash PEROM.....	34
2-18. Rangkaian LCD 16 x 2.....	39
3-1. Diagram blik keseluruhan sistem.....	41
3-2. Diagram alir cara kerja pengaturan kecepatan motor.....	42
3-3. Konfigurasi kaki mikrokontroller AT 89S51.....	43
3-4. Rangkaian clock.....	43
3-5. Rangkaian reset.....	44
3-6. Rangkaian Liquid Crystal Display.....	47

96

97

98

99

100

101

102

103

104

105

106

107

108

109

110

111

112

113

114

115

116

117

118

119

120

121

122

123

124

125

126

127

128

129

130

131

132

133

134

135

136

137

138

139

140

141

142

143

144

145

146

147

148

149

150

151

152

153

154

155

156

157

158

159

160

161

162

163

164

165

166

167

168

169

170

171

172

173

174

175

176

177

178

179

180

181

182

183

184

185

186

187

188

189

190

191

192

193

194

195

196

197

198

199

200

201

202

203

204

205

206

207

208

209

210

211

212

213

214

215

216

217

218

219

220

221

222

223

224

225

226

227

228

229

230

231

232

233

234

235

236

237

238

239

240

241

242

243

244

245

246

247

248

249

250

251

252

253

254

255

256

257

258

259

260

261

262

263

264

265

266

267

268

269

270

271

272

273

274

275

276

277

278

279

280

281

282

283

284

285

286

287

288

289

290

291

292

293

294

295

296

297

298

299

300

301

302

303

304

305

306

307

308

309

310

311

312

313

314

315

316

317

318

319

320

321

322

323

324

325

326

327

328

329

330

331

332

333

334

335

336

337

338

339

340

341

342

343

344

345

346

347

348

349

350

351

352

353

354

355

356

357

358

359

360

361

362

363

364

365

366

367

368

369

370

371

372

373

374

375

376

377

378

379

380

381

382

383

384

385

386

387

388

389

390

391

392

393

394

395

396

397

398

399

400

401

402

403

404

405

406

407

408

3-7. Rangkaian keypad.....	48
3-10. Modul Tachometer.....	49
3-11. Rangkaian sensor.....	50
3-12. Rangkaian ADC 0809.....	51
3-14. Rangkaian DAC 0808.....	52
3-15. Rangkaian untuk menjalankan motor.....	54
3-16. Himpunan fuzzy untuk kecepatan.....	56
3-17. Fungsi keanggotaan selisih.....	58
3-18. Fungsi keanggotaan frekwensi.....	58
4-1 duty cycle 100% pada Rpm 1500.....	67
4-2 duty cycle 85% pada Rpm 1400.....	67
4-3 duty cycle 78% pada Rpm 1300.....	67
4-4 duty cycle 74% pada Rpm 1200.....	68
4-5 duty cycle 72% pada Rpm 1100.....	68
4-6 duty cycle 64% pada Rpm 1000.....	68
4-7 duty cycle 60% pada Rpm 900.....	69
4-8 duty cycle 62% pada Rpm 800.....	69
4-9 duty cycle 60% pada Rpm 700.....	69

BAB I

PENDAHULUAN

1.1 Latar Belakang

Dalam industri modern sekarang ini, banyak digunakan system control untuk pengaturan kelemahan dan kelebihan motor agar dapat bekerja sesuai dengan yang diharapkan hampir 90% aplikasi motor pada industri menggunakan jenis motor DC. Alasan utama , diantaranya karena motor jenis ini memiliki struktur yang kokoh, keandalan tinggi, harga relatif murah, dan perawatan mudah . Namun pengendalian motor ini sulit sehingga peralatan pengendalinya menjadi mahal.

Logika fuzzy menawarkan suatu pendekatan baru yang lebih mudah dalam pemecahan suatu masalah termasuk perancangan suatu sistem kendali. Kemudahan tersebut ditawarkan melalui penggunaan variabel linguistik, yang lebih dekat dengan domain pemikiran manusia, menggantikan variabel numerik pada sistem kendali konvensional. Jadi perancangan sistem kendali dapat terhindar dari perhitungan-perhitungan matematis yang terkadang sangat rumit terutama untuk sistem kendali yang kompleks. Sistem kendali berbasis logika fuzzy tidak terlalu membutuhkan banyak perhitungan sehingga dapat diterapkan pada mikrokontroler .Tulisan ini membahas proses perancangan suatu perangkat pengendali kecepatan putaran motor DC berbasis fuzzy logic dengan menggunakan mikrokontroller AT89S51 . Alat yang dibuat ini memiliki batasan yaitu kecepatan yang dapat dikendalikannya adalah dari 100 rpm hingga 1500 rpm.

3. Tidak membahas pengasutan motor DC.
4. Tidak membahas system proteksi dari motor DC.
5. Mikrokontroller keluarga ATMEL 89S51.

1.5 Metologi Pembahasan

- Kajian literature yang menunjang pembahasan mengenai pembahasan mengenai motor DC,logika pemograman fuzzy guna merencana dan pembuatan perangkat keras maupun perangkat lunak.
- Merancang membuat perangkat keras dan perangkat lunak yang saling berkaitan satu dengan yang lainnya,kemudian merakit menjadi suatu system kendali.
- Melakukan pengujian sistem kendali.

1.6 Sistematika Penulisan

Skripsi ini dibagi menjadi lima BAB,yaitu :

- 1. BAB I : PENDAHULUAN**
- 2. BAB II : LANDASAN TEORI**
- 3. BAB III : PERANCANGAN PERANGKAT KERAS DAN LUNAK**
- 4. BAB IV : ANALISA PENGUJIAN ALAT.**
- 5. BAB V : KESIMPULAN DAN SARAN.**

BAB II

LANDASAN TEORI

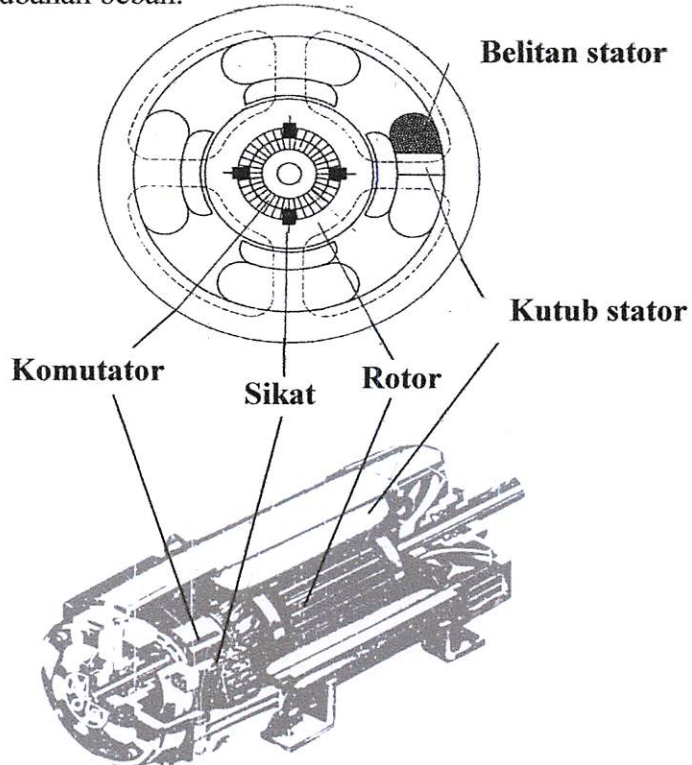
2.1. Motor DC

2.1.1 Kontruksi

Motor DC adalah peralatan elektromekanis yang mengubah daya listrik menjadi daya mekanis dengan arus searah sebagai suplai energi listriknya. Motor DC terdiri dari dua bagian dasar yaitu *stator* dan *rotor*. Stator merupakan bagian dari motor DC yang tidak bergerak sedangkan rotor merupakan bagian yang bergerak. Pada stator terdapat belitan yang dinamakan belitan medan karena berfungsi menghasilkan medan magnet, sedangkan pada rotor terdapat belitan yang dinamakan belitan jangkar karena berfungsi membawa arus beban. Pada poros rotor terdapat komutator dan sikat, komutator bergerak bersamaan dengan poros rotor sedangkan sikat tidak bergerak tetapi menyentuh komutator. Komutator berupa silinder yang terbuat dari beberapa segmen tembaga yang terisolasi satu sama lain, dan sikat terbuat dari bahan karbon. Komutator dan sikat secara bersamaan berfungsi sebagai penyearah. *Gambar 2.1* merupakan gambar konstruksi motor DC.

Penggunaan motor arus searah sudah sangat dikehlu secara luas. Keuntungan-keuntungan yang menonjol akan penggunaan motor-motor arus searah tersebut timbul dengan penunjukan karakteristik operasinya. Motor DC secara luas dipergunakan dalam berbagai macam penerapan yang memerlukan putaran yang dapat diatur dan beberapa penerapannya digunakan pada industri tekstil, industri kertas dan lain-lain.

Motor DC terutama motor DC penguatan terpisah mempunyai keunggulan-keunggulan tersendiri, yang mana motor DC penguatan terpisah ini mempunyai kecepatan yang hampir konstan pada tegangan jepit yang konstan meskipun terjadi perubahan beban.

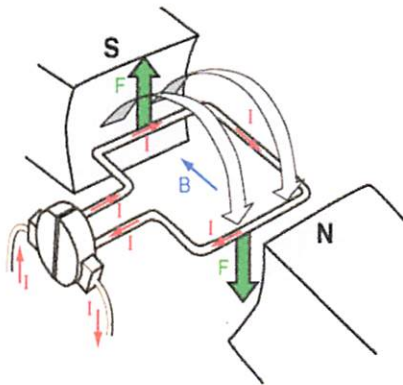


Gambar 2-1. Konstruksi Motor DC

Sumber: www.NEETS.com

2.1.2. Prinsip Kerja Motor DC

Prinsip kerja motor DC berdasarkan pada penghantar yang dialiri arus ditempatkan dalam suatu medan magnet sehingga penghantar tersebut akan mengalami gaya. Gaya menimbulkan torsi sehingga menghasilkan putaran. Penghantar yang berputar akan menimbulkan tegangan AC sehingga diubah menjadi tegangan DC oleh komutator dan sikat.



Gambar 2-2. Interaksi Antara Medan Magnet Dan Penghantar Yang Dialiri Arus
Sumber: www.HyperPhysics.com

Gaya yang dihasilkan sebesar: (Cathey, 2001:50)

$$F = B.I.l \quad (2-1)$$

Gaya itu menimbulkan torsi sebesar:

$$T = F.r \quad (2-2)$$

$$T = B.I.l.r$$

dengan:

$$F = \text{Gaya (N).}$$

$$B = \text{Rapat fluks (T).}$$

$$I = \text{Arus yang mengalir pada penghantar (A).}$$

$$l = \text{Panjang penghantar (m).}$$

$$r = \text{Jari-jari inti jangkar (m).}$$

$$T = \text{Torsi (Nm).}$$

Jangkar memiliki jumlah penghantar dan cabang paralel penghantar sehingga dari Persamaan (2-1) dan (2-2) didapatkan:

$$T = \frac{Z}{a} B \cdot I_a \cdot l \cdot r \quad (2-3)$$

dengan:

Z = Jumlah penghantar jangkar.

a = Jumlah cabang paralel penghantar jangkar yang berada di antara sikat.

I_a = Arus jangkar (A).

Rapat fluks yang dihasilkan sebesar:

$$B = \frac{\phi \cdot p}{2\pi r l} \quad (2-4)$$

Jika Persamaan (2-4) diberikan ke Persamaan (2-3) didapatkan:

$$T = \frac{z}{a} B \cdot I_a \cdot l \cdot r = \frac{z}{a} \frac{\phi \cdot p}{2\pi r l} B \cdot I_a \cdot l \cdot r$$

maka akan didapatkan nilai T sebesar :

$$T = \frac{p \cdot Z}{2\pi \cdot a} \phi \cdot I_a \quad (2-5)$$

Dimana telah diketahui bahwa besarnya nilai K pada motor DC sebagai berikut :

$$K = \frac{p \cdot z}{2\pi \cdot a}$$

Sehingga persamaan (2-5) dapat ditulis juga sebagai berikut :

$$T = K \cdot \phi \cdot I_a \quad (2-6)$$

dengan:

p = Jumlah kutub stator.

ϕ = Fluks tiap kutub stator (Wb).

K = Konstanta mesin.

Putaran jangkar yang berada dalam medan magnet akan menghasilkan gaya gerak listrik lawan sebesar:

$$E_a = K \cdot \phi \cdot \omega_m \quad (2-7)$$

Daya yang dihasilkan sebesar:

$$P = E_a \cdot I_a \quad (2-8)$$

Dari persamaan (2-7) dan (2-8):

$$P = K \cdot \phi \cdot I_a \cdot \omega_m \quad (2-9)$$

$$P = T \cdot \omega_m \quad (2-10)$$

dengan:

E_a = Gaya gerak listrik lawan (V).

P = Daya (W).

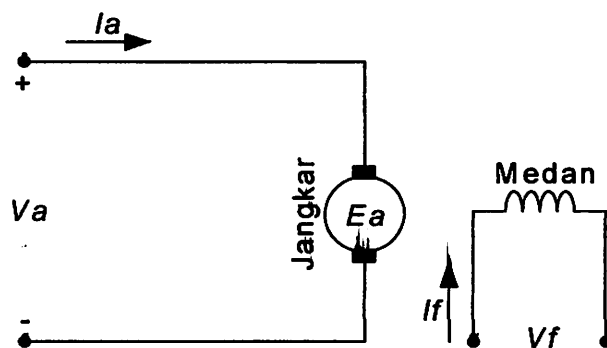
ω_m = Putaran (rad/s).

2.1.3. Jenis-Jenis Motor DC

Motor DC berdasarkan jenis penguatannya terbagi menjadi 2 yaitu: motor DC penguatan terpisah dan motor DC penguatan sendiri. Penguatan pada motor DC diberikan oleh belitan medan sehingga jenis penguatan motor DC berdasarkan pada cara pemberian catu tegangan pada belitan medan yang akan menimbulkan medan magnet.

Motor DC penguatan terpisah dicatu oleh dua sumber tegangan terpisah pada belitan medan dan belitan jangkarnya seperti pada *Gambar 2.3*. Motor DC penguatan sendiri dicatu oleh satu sumber pada belitan medan dan belitan jangkarnya. Motor DC penguatan sendiri berdasarkan cara menghubungkan belitan medan dan belitan jangkarnya terbagi menjadi tiga yaitu: motor DC *shunt*, seri dan kompon. Motor DC *shunt* belitan medan dan belitan jangkarnya dihubungkan paralel, motor DC seri belitan medan dan belitan jangkarnya dihubungkan seri, sedangkan motor DC kompon merupakan penggabungan dari

motor DC *shunt* dan motor DC seri yang terbagi menjadi dua macam yaitu: kompon panjang dan kompon pendek seperti pada *Gambar 2.4*. Motor DC penguatan terpisah dibandingkan motor DC penguatan sendiri memiliki kelebihan dalam pengaturan tegangan sumbernya yaitu pengaturan tegangan jangkar dan pengaturan tegangan medan sehingga memiliki jangkauan pengaturan yang lebih luas.



Gambar 2-3. Rangkaian Jenis Motor DC Penguatan Terpisah
Sumber: Cathey, 2001:242

2.1.4. Motor DC Penguatan Terpisah

Rangkaian motor DC penguatan terpisah seperti pada *Gambar 2.3*. terdiri atas belitan medan dan belitan jangkar yang modelnya dapat diwakili oleh unsur-unsur resistansi dan induktansi. Berdasarkan rangkaian tersebut didapatkan persamaan: (*Slemon, 1992:146*)

$$V_f = R_f \cdot I_f + L_f \frac{dI_f}{dt} \quad (2-11)$$

$$V_a = E_a + I_a \cdot R_a + L_a \frac{dI_a}{dt} \quad (2-12)$$

Jika persamaan (2-7) diberikan ke persamaan (2-12) didapatkan:

$$V_a = K\phi\omega_m + I_a \cdot R_a + L_a \frac{dI_a}{dt} \quad (2-13)$$

Berdasarkan persamaan (2-6) untuk model mekanis motor DC penguatan terpisah adalah:

$$T = J \frac{d\omega}{dt} + B\omega + T_w \quad (2-14)$$

dengan:

V_f = Tegangan medan (V).

L_f = Induktansi belitan medan (H).

R_f = Resistansi belitan medan (Ω).

I_f = Arus medan (A).

V_a = Tegangan jangkar (V).

L_a = Induktansi belitan jangkar (H).

R_a = Resistansi belitan jangkar (Ω).

I_a = Arus jangkar (A).

J = Momen inersia ($\text{kg}\cdot\text{m}^2$).

B = Koefisien gesekan motor {Nm/(rad/s)}.

T_w = Torsi beban (Nm).

Untuk operasi motor dalam keadaan mantap pada persamaan (2-11), (2-12), (2-13), dan (2-14) turunan terhadap waktunya adalah nol sehingga persamaannya berturut-turut menjadi:

$$V_f = R_f \cdot I_f \quad (2-15)$$

$$V_a = E_a + I_a \cdot R_a \quad (2-16)$$

$$V_a = K\phi\omega_m + I_a \cdot R_a \quad (2-17)$$

$$T = B\omega + T_w \quad (2-18)$$

Untuk menghitung kinerja dari motor DC maka digunakan keempat persamaan di atas, yang terdiri atas tiga persamaan sistem listrik pada jangkar dan medan yaitu: persamaan (2-15), (2-16), (2-17) dan satu persamaan sistem mekanik pada poros rotor yaitu persamaan (2-18).

Berdasarkan persamaan (2-17) didapatkan hubungan antara torsi dan kecepatan motor DC penguatan terpisah sebagai berikut:

$$\omega = \frac{Va - I_a \cdot Ra}{(K\phi)} \quad (2-19)$$

2.1.5. Pengaturan Kecepatan Motor DC

Motor DC merupakan mesin penggerak yang banyak digunakan karena memiliki kelebihan pada pengaturan kecepatannya. Pada umumnya pengaturan kecepatan motor DC penguatan terpisah dan motor DC penguatan sendiri hampir sama. Pengaturan kecepatan pada motor DC penguatan terpisah lebih luas dibandingkan pengaturan kecepatan pada motor DC penguatan sendiri dikarenakan motor DC penguatan terpisah dicatut oleh dua sumber.

Untuk selanjutnya di sini hanya akan ditinjau pengaturan kecepatan motor DC penguatan terpisah.

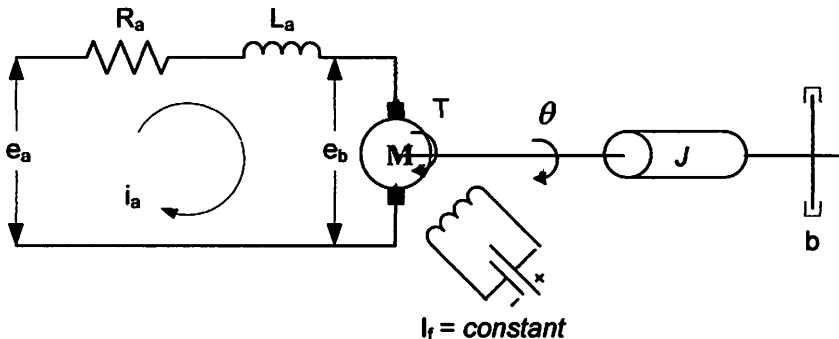
Kecepatan motor DC penguatan terpisah dapat diatur sesuai persamaan (2-19) dengan menggunakan tiga metode yaitu:

- Pengaturan fluksi/medan.
- Pengaturan resistansi jangkar.
- Pengaturan tegangan jangkar.

Untuk selanjutnya di sini hanya akan ditinjau motor DC penguatan terpisah dengan pengaturan jangkar.

2.1.6. Pengaturan Tegangan Jangkar

Pada metode ini resistansi jangkar dan sisi medannya dijaga konstan sehingga pengaturan hanya dilakukan pada tegangan jangkarnya. Pengaturan kecepatan dilakukan dengan mengatur tegangan jangkar seperti pada *Gambar 2.4*.



Gambar 2-4. Diagram Skematik Jangkar-Magnet Terkontrol Motor DC
Sumber : Ogata, Jilid I, 1996 : 130

Dimana :

- R_a = tahanan kumparan jangkar (*ohm*)
- L_a = induktansi kumparan jangkar (*Henry*)
- e_a = tegangan yang dikenakan pada jangkar (*volt*)
- e_b = gaya gerak listrik (ggl) lawan motor (*volt*)
- i_a = arus kumparan jangkar (*ampere*)
- i_f = arus medan (*ampere*)
- θ = perpindahan sudut dari poros motor (*radian*)
- T = torsi yang diberikan oleh motor (*radian*)
- J = moment inersia ekivalen dari motor dan beban pada poros (*Kg-m²*)

- b = koefisien gesek ($N\cdot m/rad/det$)

2.1.7. Spesifikasi Motor DC

Adapun parameter motor DC yang akan digunakan dalam Skripsi ini adalah sebagai berikut :

Adapun spesifikasi dari motor DC yang digunakan adalah sebagai berikut :

Data motor DC penguatan terpisah yang dipergunakan berdasarkan *name plate* adalah sebagai berikut:

- Jenis Motor : Motor DC magnet permanen penguatan terpisah

2.2 FUZZY LOGIC

2.2.1 UMUM

Secara leksikal fuzzy berarti kabur atau tidak jelas. Fuzzy logic merupakan metodologi untuk menyatakan hukum operasional sistem dengan ungkapan bahasa bukan dengan persamaan matematis dengan memberikan kualifikasi secara kualitatif seperti besar, kecil, tinggi, rendah, agak cukup, sangat dan sebagainya yang kesemuanya itu dikatakan sebagai variabel linguistik. Variabel linguistik inilah yang digunakan dalam konsep himpunan fuzzy.

Pada perancangan suatu sistem kontrol umumnya ditentukan model matematisnya terlebih dahulu. Dalam kenyataannya sistem asli ternyata tidak sepenuhnya dapat diwakili oleh model matematis yang dipakai untuk menyatakan sistem tersebut, sehingga sulit digunakan untuk mempresentasikannya. Dalam kasus seperti itu ungkapan bahasa yang digunakan dalam logika fuzzy dapat membantu mendefinisikannya melalui ungkapan bahasa yang dinyatakan dalam implikasi logika yaitu aturan jika-maka (if-then).

Logika Fuzzy Logic Controller (FLC) memiliki kelebihan yaitu variabel-variabel yang digunakan adalah variabel linguistik sehingga logika FLC ini mengizinkan adanya unsur ketidakpastian, seperti halnya terdapat pada cara berfikir manusia. Logika FLC ini mampu membuat model matematis untuk melakukan pendekatan terhadap ketidakpastian pada cara berfikirnya manusia sehingga hal yang diinginkan untuk dikerjakan oleh komputer yang menggunakan logika Boolean (ekstrim 0 atau 1).

2.2.2 KONSEP DASAR LOGIKA FUZZY

Ketidakpastian merupakan dasar pemikiran dari logika fuzzy, dan bagaimana logika fuzzy mampu untuk mempresentasikan ketidakpastian yang ada pada suatu sistem merupakan tujuan digunakannya pengendali berbasis logika fuzzy.Dalam sistem pengendalian berbasis logika fuzzy tidak diperlukan adanya model matematis maupun fungsi alih tetapi didasarkan pada kecerdasan buatan/AI (Artificial Intelligence).

2.2.3 HIMPUNAN KLASIK

Dalam mengontrol sistem atau proses seringkali menggunakan besaran pengukuran yang dinyatakan dengan ungkapan cepat, lambat, cukup, agak dan sebagainya. Untuk mempresentasikan yang tidak eksak ini digunakan suatu pendekatan yaitu dengan himpunan fuzzy.

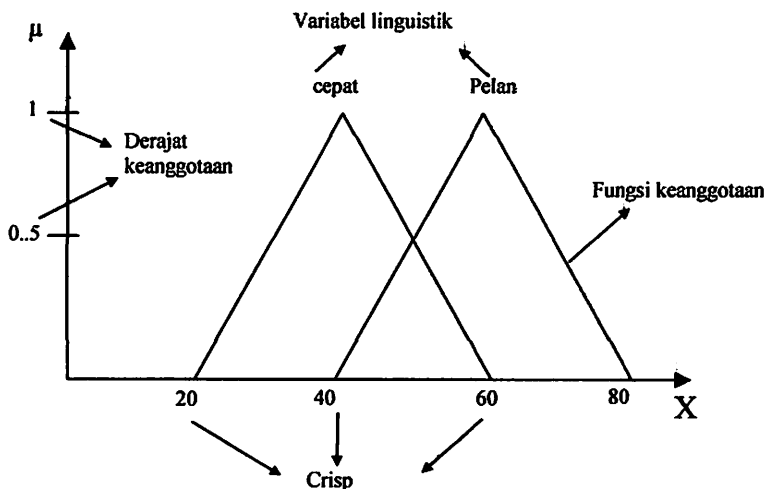
Pada himpunan klasik logika yang digunakan adalah logika Boolean (Boolean Logic).Nilai yang dimungkinkan antara 0 atau 1 yang menunjukkan bukan anggota atau anggota himpunan bagian. Harga 0 dan 1 diberikan oleh derajat keanggotaan (degree of membership) μ . Suatu pernyataan yang menggunakan logika boolean dinamakan crisp atau pernyataan non fuzzy.

Harga kebenaran himpunan A dalam semesta pembicaraan X dapat dinyatakan dengan :

$$\mu_A(X) : \begin{cases} 1 & \text{jika } x \in A \\ 0 & \text{jika } x \notin A \end{cases}$$

dimana \in adalah bagian himpunan.

Pada fuzzy logic harga kebenaran ini diberikan oleh terminologi linguistik dengan menyatakan derajat kekaburannya (fuzziness). Agar lebih jelas gambar 2 - 9 memperlihatkan himpunan fuzzy beserta istilah-istilahnya



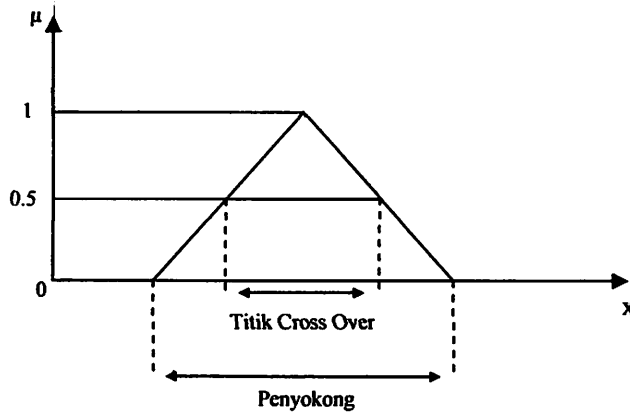
Gambar 2 -5
Himpunan Fuzzy Dan Istilahnya

Jika X mempunyai elemen-elemen atau titik-titik yang terdiri dari x maka suatu elemen x dalam himpunan bagian fuzzy A mempunyai derajat keanggotaan $\mu_A(x)$. Jika $\mu_A(x) = 1$ maka x adalah himpunan bagian A , begitu pula sebaliknya jika $\mu_A(x) = \mu$ dengan $0 < \mu < 1$ maka dikatakan anggota A mempunyai derajat keanggotaan μ . Dalam himpunan fuzzy A , x disebut sebagai penyokong (support) A . Penyokong himpunan bagian fuzzy A adalah kumpulan semua titik mulai dari x_1, x_2, \dots, x_n yang mana $\mu_A(x) > 0$ atau dapat ditulis sebagai :

the first time in the history of the world, the
whole of the human race has been gathered
together in one place, and that is the
present meeting of the World's Fair.

$$\text{Penyokong} = \{x \mid \mu_A(x) > 0\}$$

Jika $\mu_A(x) = 0.5$ dikatakan sebagai titik cross over di A. akan menjelaskan pernyataan tersebut.



Gambar 2 - 6
Himpunan Fuzzy Dan Penyokongnya

Himpunan fuzzy beserta unsur-unsur penyokongnya dapat dinyatakan sebagai berikut :

- $A = \{\mu_A(x_i), i = 1, 2, 3, \dots, n \text{ dan } x \in X = \text{semesta pembicaraan}\}$ atau dapat pula dinyatakan dalam
- $A = \mu_1/x_1 + \mu_2/x_2 + \dots + \mu_n/x_n$, dimana tanda + menyatakan gabungan

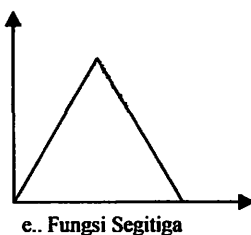
$$= \sum_{i=1}^n \mu_i/x_i$$

$$= \sum_i^n \mu_i/x_i$$

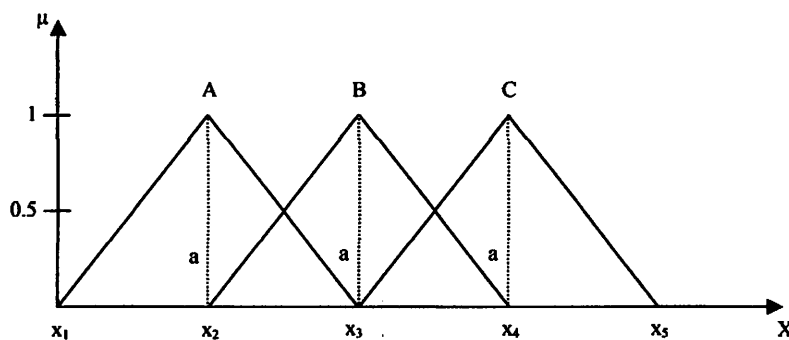
2.2.4 FUNGSI KEANGGOTAAN HIMPUNAN FUZZY

Untuk menyatakan tiap keanggotaan dari tiap penyokong dalam himpunan fuzzy digunakan fungsi keanggotaan (membership function). Fungsi keanggotaan ini mengkarakteristikkan tiap penyokong dari himpunan fuzzy sedemikian rupa sehingga setiap penyokong mempunyai nilai keanggotaan dalam interval $[0 : 1]$.

Fungsi keanggotaan dapat berbentuk fungsi segitiga, fungsi eksponen, trapesium, fungsi S atau fungsi Z. Gambar 2 - 11 memperlihatkan fungsi segi tiga karena mempunyai perhitungan yang lebih cepat.



Gambar 2 - 7
Bentuk Fungsi Segitiga Keanggotaan



Gambar 2 - 8
Fungsi Keanggotaan Segitiga

Derajat keanggotaan himpunan A adalah :

$$\mu_A(x) = 0 \quad \forall x \leq x_1$$

$$\mu_A(x) = (x - x_1)/x_2 \quad \forall x_1 \leq x \leq x_2$$

$$= (x_3 - x)/x_2 \quad \forall x_2 \leq x \leq x$$

dimana \forall = “didefinisikan dengan” atau “dimana”.

Derajat keanggotaan masing-masing himpunan bagian fuzzy dapat pula ditentukan dengan rumus :

$$\mu_F(x) = 1 - \sqrt{\frac{(x - a)^2}{b}}$$

dimana b adalah titik tengah semua himpunan bagian fuzzy. Karena yang digunakan adalah fungsi segitiga simetris (seragam) maka nilai b adalah sama untuk semua himpunan. Dalam hal ini $b = (x_3 - x_1)/2$ untuk himpunan A, $(x_4 - x_2)/2$ untuk himpunan B dan $(x_5 - x_3)/2$ untuk himpunan C. Sedangkan a adalah titik tengah masing-masing himpunan bagian fuzzy, yaitu untuk himpunan A: $a = x_2$ untuk himpunan B: $a = x_3$ dan untuk himpunan C: $a = x_4$.

Pada umumnya fungsi keanggotaan yang digunakan didefinisikan dengan dua cara yaitu :

- 1) Pendefinisian secara numerik, digunakan untuk mendefinisikan fungsi keanggotaan pada himpunan fuzzy dengan bilangan.
- 2) Pendefinisian secara fungsional digunakan untuk mendefinisikan fungsi keanggotaan pada himpunan fuzzy dengan fungsi keanggotaan.

2.2.5 Operasi Himpunan Fuzzy

Operasi himpunan A dan B dari semesta pembicaraan (universe of discourse) X dengan fungsi keanggotaan masing-masing μ_A dan μ_B adalah :

- a. A adalah komplemen B

$$\mu_A(x) = 1 - \mu_B(x)$$

- b. Gabungan (union) A dengan B atau ($A \cup B$)

$$\mu_{A \cup B}(x) = M_{LX} [\mu_A, \mu_B](x)$$

$$= v [\mu_A, \mu_B]$$

- c. Irisan (Intersection) A dengan B atau ($A \cap B$)

$$\mu_{A \cap B}(x) = \text{Min} [\mu_A, \mu_B]$$

$$= \wedge [\mu_A, \mu_B]$$

2.2.6 Variabel Linguistik

Dalam sistem kontrol variabel linguistik dapat dinyatakan dengan ungkapan linguistik NB (Negatif Besar), NS (Negatif Sedang), NK (Negatif Kecil), SN (Sekitar Nol), PK (Positif Kecil), PS (Positif Sedang), dan PB (Positif Besar) untuk variabel masukan dan keluaran.

Secara sederhana variabel linguistik dapat dinyatakan dengan pasangan (μ , $T(\mu)$, X). μ menyatakan nama variabel dan $T(\mu)$ adalah istilah yang menyatakan seperangkat nama dari besaran linguistik untuk himpunan bagian fuzzy pada semesta pembicaraan X .

2.2.7 KONTROLLER DENGAN FUZZY LOGIC

Perancangan fuzzy logic kontroller menggabungkan aspek pendefinisian himpunan fuzzy dengan aspek fuzzy logic untuk memperoleh suatu sistem kontrol atau yang dikenal dengan sistem pengaturan cerdas. Sistem pengaturan cedas ini dapat dirancang berdasarkan empat pendekatan yaitu :

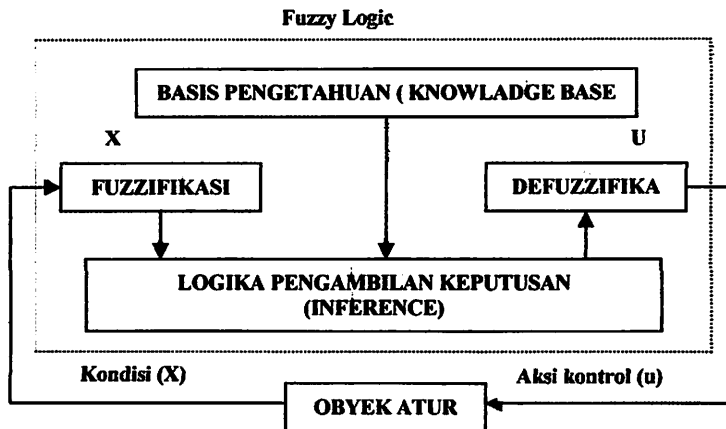
1. Pendekatan berdasarkan basis pengetahuan (knowladge Base) seorang operator ahli.
2. Pendekatan fuzzy logic dengan variabel linguistik.
3. Pendekatan dengan jaringan syaraf tiruan (artificial neural network).
4. Gabungan antara artificial neural network dan fuzzy logic yang dikenal sebagai Neuro fuzzy.

Fuzzy logic controller membuat keputusan dengan menggunakan aturan if-then (jika-maka) berdasarkan masukan dan keluaran.

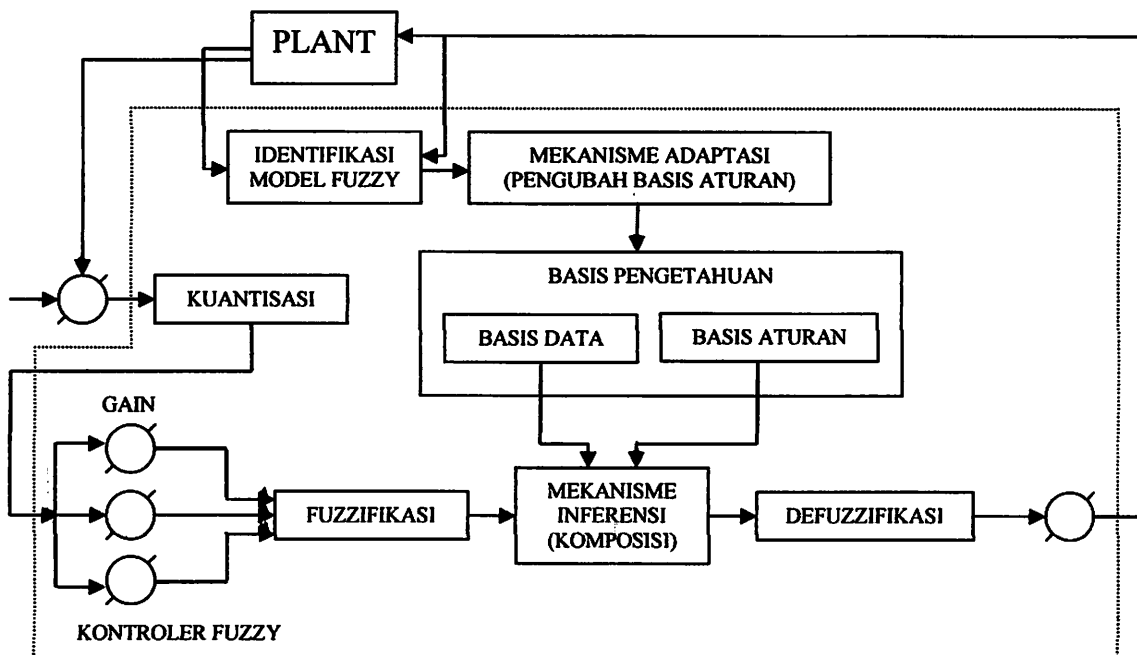
“ jika $e = \text{NB}$ dan $de = \text{PK}$ maka $u = \text{NS}$ ”

Dimana e = error output dengan variabel linguistik NB, de = perubahan error dengan variabel linguistik PK, dan u = sinyal atur dengan variabel linguistik NS.

Secara umum fuzzy logic controller mempunyai empat bagian pokok yang dipresentasikan



Gambar 2 - 9
Bagian Pokok Fuzzy Logic Controller



Gambar 2 - 10
Diagram Blok Sistem Pengaturan Dengan Logika Fuzzy

Keempat bagian tersebut mempunyai fungsi sebagai berikut :

- 1) Fuzzifikasi, berfungsi untuk mentransformasikan sinyal masukan yang bersifat crisp (non fuzzy) ke himpunan fuzzy dengan menggunakan operator fuzzier.
- 2) Basis pengetahuan, berisi basis data dan basis aturan yang mendefinisikan himpunan fuzzy atas daerah-daerah masukan dan keluaran dan menyusunnya kedalam basis aturan.
- 3) Logika pengambilan keputusan, adalah inti dari fuzzy logic controller.
- 4) Defuzzifikasi, berfungsi untuk mentransformasikan kesimpulan tentang aksi kontrol yang bersifat fuzzy menjadi sinyal yang bersifat crisp melalui operator defuzzier.

2.2.7.1 Fuzzifikasi

Dalam aplikasi suatu pengaturan, besaran masukan yang diperoleh dari sistem melalui sensor akan selalu berupa crisp yang bersifat pasti dan kualitatif. Pemetaan dari masukan crisp kedalam himpunan fuzzy yang memakai variabel linguistik dinamakan pengkaburan atau fuzzyifikasi (fuzzyfication).

Fuzzifikasi merupakan proses awal untuk mengubah masukan yang berupa non fuzzy menjadi himpunan fuzzy menjadi himpunan fuzzy sehingga dalam tahap ini, mula-mula dikembangkan fungsi keanggotaan dan derajat keanggotaan. Suatu masukan crisp mempunyai derajat keanggotaan dalam beberapa fungsi keanggotaan sekaligus dalam suatu saat.

Fuzzifikasi dinyatakan oleh pernyataan $x = \text{Fuzzifier}$ dimana X adalah masukan crisp (non fuzzy), x adalah himpunan fuzzy yang disertai dengan derajat keanggotaan dan fuzzifier adalah operator fuzzifikasi.

2.2.7.2 Basis Pengetahuan

Basis pengetahuan (knowladge base) dalam fuzzy logic controller adalah bagian yang berisi basis data dan basis aturan. Basis pengetahuan harus dipersiapkan terlebih dahulu sebelum proses yang lain dimulai, sehingga pada saat melakukan proses mekanisme inferensi basis pengetahuan langsung dapat dipergunakan.

1) Basis Data

Basis data mendefinisikan himpunan fuzzy atas himpunan input-output dalam bentuk variabel linguistik. Pembuatan basis data harus memperhatikan hal-hal sebagai berikut :

1) Kuantisasi

Proses kuantisasi yaitu pembagian semesta pembicaraan dalam segment-semen tertentu yang disebut dengan level kuantisasi. Prosedur ini biasanya dinyatakan dalam bentuk tabulasi penerapannya dalam bentuk look up table (tabel pandang).

Pemilihan jumlah level kuantisasi mempengaruhi kepekaan fuzzy logic controller terhadap masukan dan kehalusan aksi kontrol pada keluaran. Semakin banyak level kuantisasinya adalah semakin baik. Tetapi karena look up table menggunakan beberapa memori pada komputer maka dalam menentukan jumlah level harus memperhatikan penggunaan memori

2) Pemilihan fungsi keanggotaan

Pemilihan fungsi keanggotaan dapat dipilih bebas termasuk jenis fungsinya beserta nilai keanggotaannya. Tetapi pemilihan ini harus dapat menggambarkan karakteristik masing-masing himpunan fuzzy.

a. Basis Aturan

Basis aturan adalah bagian yang menggambarkan dinamika suatu sistem terhadap masukan yang dikarakteristikkan oleh sekumpulan variabel-variabel linguistik. Pernyataan tersebut umumnya dinyatakan oleh suatu pernyataan bersyarat. Dalam pembentukan basis aturan perlu diperhatikan aspek :

- a) Variabel masukan dan keluaran error (e) dan perubahan error (de) dan hasil aksi kontrol (u) .
- b) Penurunan aturan kontrol fuzzy

Salah satu cara menurunkan aturan kontrol fuzzy adalah dengan mengumpulkan aturan-aturan kontrol fuzzy yang dibentuk dari analisa perilaku obyek atur. Aturan kontrol diturunkan dengan jalan mengoreksi simpangan keluaran sistem menuju keadaan yang diinginkan.

Agar diperoleh kinerja sistem kontrol yang lebih baik digunakan tujuh variabel linguistik yaitu NB, NS, NK, SN, PK, PS dan PB yang masing-masing berarti negatif besar, negatif sedang, negatif kecil, sekitar nol, positif kecil, positif sedang, positif besar untuk variabel e , de dan u . Penurunan lengkap dari aturan kontrol ini ditunjukkan dalam tabel 2 - 1 yang disebut sebagai tabel Mac Vicar Whelan.

Tabel 2 - 1
Aturan Kontrol Fuzzy Macvicar-Whelan

		Δe						
		NB	NS	NK	SN	PK	PS	PB
error	NB	NB	NB	NB	NB	NS	NK	SN
	NS	NB	NB	NB	NS	NK	SN	PK
	NK	NB	NB	NS	NK	SN	PK	PS
	SN	NB	NS	NK	SN	NK	PS	PB
	PK	NS	NK	SN	PK	PS	PB	PB
	PS	NK	SN	PK	PS	PB	PB	PB
	PB	SN	PK	PS	PB	PB	PB	PB

2.2.7.3 LOGIKA PENGAMBILAN KEPUTUSAN

Persoalan dari fuzzy logic controller terletak pada logika pengambilan keputusannya yang meniru pengambilan keputusan pada manusia. Untuk memahami proses pengambilan kesimpulan dalam fuzzy logic, hal-hal berikut ini harus diperhatikan.

a. Bentuk Aturan Kontrol Fuzzy

Menggunakan aturan kontrol yang berbentuk if-then. Untuk sistem dengan satu masukan-satu keluaran (Single Input Single Output = SISO) aturan kontrolnya adalah :

- Aturan ke-n : Jika A adalah x_n maka B adalah y_n

Dimana A adalah variabel masukan dan B adalah variabel keluaran serta x dan y adalah variabel linguistiknya. Sedangkan untuk sistem banyak masukan satu keluaran (Multi Input Single Output) aturan kontrolnya adalah :

- Aturan ke-n : Jika A adalah x_n dan B adalah y_n maka C adalah z_n

Dimana A dan B adalah variabel masukan (misalnya e dan de), x dan y adalah himpunan fuzzy dengan variabel linguistik yaitu, NB, NS, NK, SN, PK, PS, PB, C adalah variabel keluaran, z adalah himpunan fuzzy untuk z yaitu, NB, NS, NK, SN, PK, PS, PB.

b. Fungsi Implikasi

Aturan kontrol pada dasarnya adalah relasi fuzzy yang dinyatakan sebagai suatu hubungan sebab akibat yang disebut sebagai implikasi fuzzy (fuzzy implication). Pada suatu sistem kontrol dengan logika fuzzy hubungan ini menyatakan suatu pemetaan antara variabel fuzzy melalui pernyataan kondisional yaitu :

- Jika A adalah x maka B adalah y atau $A \rightarrow B$ dimana $x \in X$ dan $y \in Y$
atau

Tanda (\rightarrow) menyatakan fungsi implikasi yang menghubungkan suatu input (antecedent) dari himpunan A dengan output B (consequent). Implikasi linguistik ini dinamakan relasi fuzzy.

Persamaan diatas digunakan untuk sistem satu input-satu output (SISO).

Untuk sistem MISO berlaku :

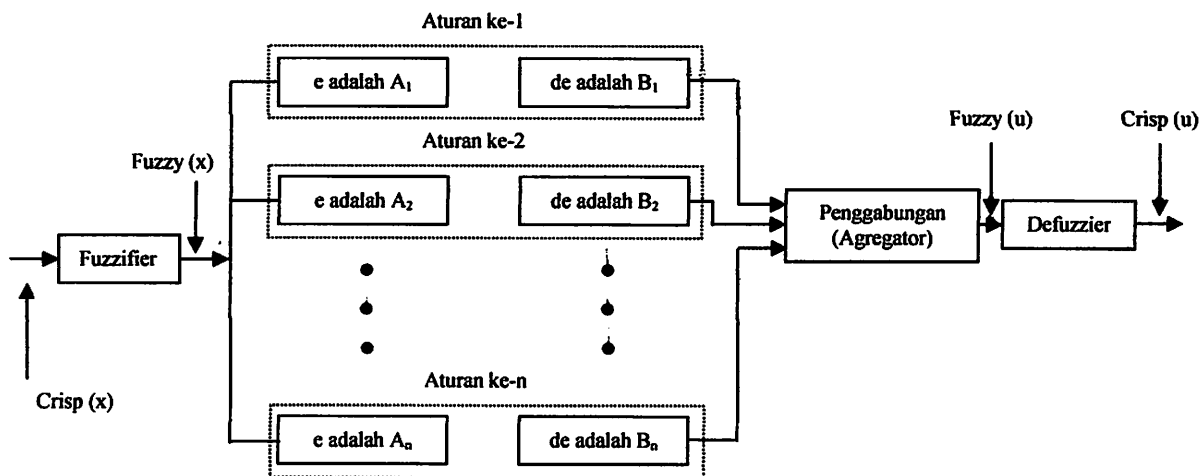
- Jika A adalah X dan B adalah y maka C adalah z atau $A \times B \rightarrow C$ atau

c. MEKANISME INFERENSI

Untuk mengkombinasikan aturan-aturan kontrol yang digunakan kata hubung yang secara umum dinyatakan dengan :

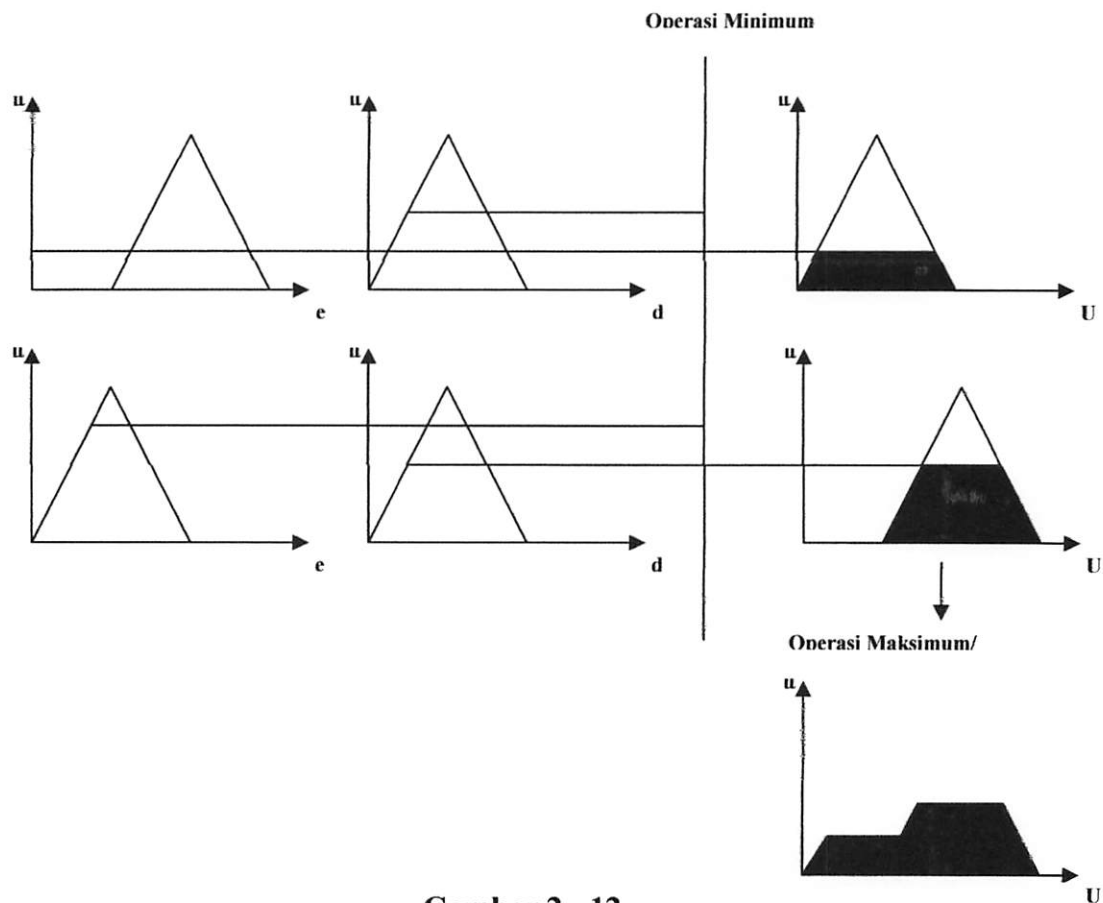
- Rule 1 : Jika e adalah A_1 dan de adalah B_1 maka u adalah C_1
- Rule 2 : Jika e adalah A_2 dan de adalah B_2 maka u adalah C_2
- Rule n : Jika e adalah A_n dan de adalah B_n maka u adalah C_n
- Kesimpulan : u adalah C.

Maksud dari pernyataan diatas adalah variabel masukan e dan de masing-masing mempunyai linguistik A (A_1, \dots, A_n) dan B (B_1, \dots, B_n) dan variabel keluaran u mempunyai variabel linguistik C (C_1, \dots, C_n). Keseluruhan aturan kontrol ini harus dapat menghasilkan satu keluaran berupa kesimpulan. Proses pengambilan kesimpulan ini dinyatakan sebagai mekanisme inferensi.



Gambar 2 - 11
Blok Diagram Mekanisme Inferensi

Metode inferensi yang banyak digunakan adalah metode inferensi Mamdani. Metode inferensi untuk MISO dari Mamdani yang digunakan adalah metode maksimum-minimum (max-min method). Prinsip dasar operasi max-min terlihat dalam gambar 2 – 1

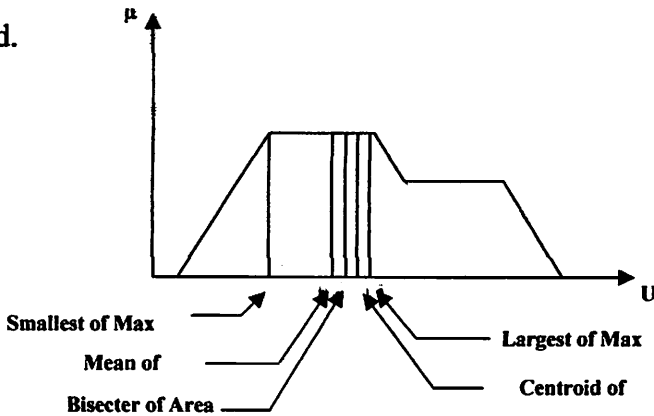


Gambar 2 - 12
Mekanisme Inferensi Miso Dengan Operasi Max-Min

2.2.7.4 DEFUZZIFIKASI

Proses defuzzifikasi merupakan kebalikan dari proses fuzzifikasi, yaitu mentransformasikan harga fuzzy ke harga bukan fuzzy (crisp) atau pemetaan dari ruang aksi kontrol fuzzy ke ruang aksi kontrol crisp. Secara garis besar strategi defuzzifikasi bertujuan menghasilkan aksi kontrol yang nyata yang dapat mempresentasikan aksi kontrol masing-masing basis aturan. Defuzzifikasi ini dinyatakan sebagai :

Ada beberapa metode defuzzifikasi yang terdapat dalam literatur, yaitu centroid of area, mean of max membership, bisevter of area, smallest of max dan largest of max. Gambar 2-19 mempresentasikan metode-metode defuzzifikasi yang dimaksud.



Gambar 2 - 13 Metode-Metode Defuzzifikasi

Dari lima metode defuzzifikasi tersebut, yang paling banyak digunakan adalah centroid of area method atau yang disebut juga sebagai center of area dan center of gravity. Metode ini didefinisikan sebagai nilai yang terletak dalam jangkauan variabel sinyal arus u dengan daerah yang terletak dibawah fungsi keanggotaan dibagi dua sub daerah yang sama.

Metode defuzzifikasi dengan centroid of area method mempunyai persamaan sederhana :

Sedangkan untuk MISO berlaku :

Dimana:

$i = 1, \dots, 49$ menyatakan jumlah aturan kontrol MISO (7×7)

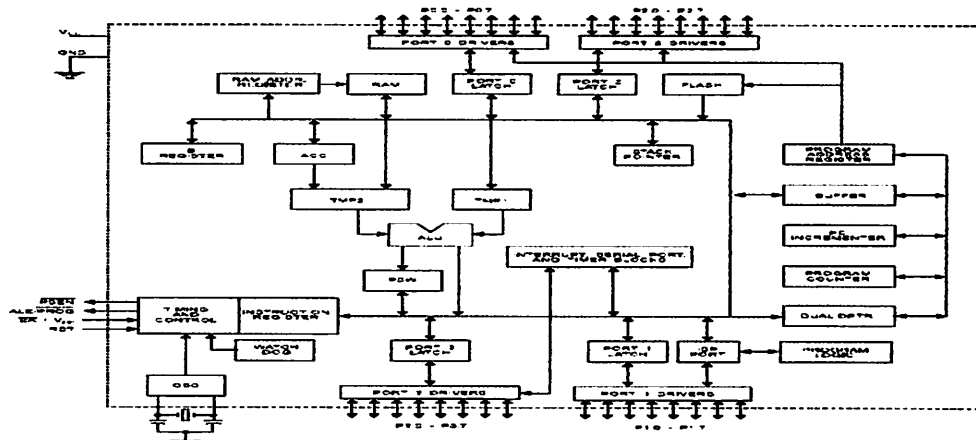
U_i , adalah titik pusat masing-masing himpunan variabel keluaran ke- I
 μ_i , adalah variabel minimum untuk tiap variabel linguistik.

2.3. Mikrokontroler AT89S51

Secara umum Mikrokontroller AT89S51 memiliki :

- CPU 8 bit termasuk keluarga MCS-51
- 4 Kb Flash memory
- 128 byte Internal RAM
- 32 buah Port I/O, masing – masing terdiri atas 8 jalur I/O
- 2 Timer/ counter 16 bit
- 2 Serial Port Full Duplex
- Kecepatan pelaksanaan intruksi per siklus 1 us pada frekuensi clock 12 Mhz
- 2 DPTR (*Data Pointer*)
- Watchdog Timer
- Fleksibel ISP Programming

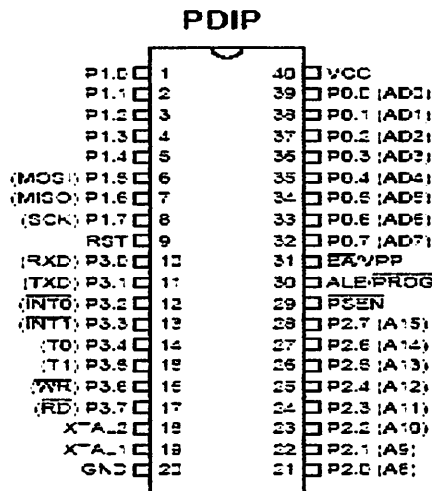
Dengan keistimewaan diatas pembuatan alat menggunakan AT89S51 menjadi lebih sederhana dan tidak memerlukan IC pendukung yang banyak. Adapun blok diagram dari Mikrokontroller AT89S51 adalah sebagai berikut:



Gambar 2-2. Diagram Blok Mikrokontroller

2.5.3. Konfigurasi Pena-Pena Mikrokontroller AT89S51

Mikrokontroller AT89S51 terdiri dari 40 pin dengan konfigurasi sebagai berikut:



Gambar 2-14. Konfigurasi Pena-Pena AT89S51 [9]

Fungsi tiap pin-nya adalah sebagai berikut :

- VCC (Supply tegangan), pin 40
- GND (*Ground*), pin 20
- Port 0, pin 32 – 39

Merupakan port input-output dua arah, tanpa internal pull-up dan konfigurasikan sebagai multipleks bus alamat rendah ($A_0 - A_7$) dan data selama pengaksesan program memory dan data memory eksternal

- Port 1, pin 1 – 8

Merupakan port input-output dua arah dengan internal pull-up.

Port Pin	Alternate Functions
P1.5	MOSI (used for In-System Programming)
P1.6	MISO (used for In-System Programming)
P1.7	SCK (used for In-System Programming)

1.2 Rumusan Masalah

Berdasarkan latar belakang diatas masalah yang dihadapi dapat dirumuskan sebagai berikut

1. Apa perbedaan perancangan alat kendali motor DC fuzzy logic dengan konvensional,
2. Bagaimana pengaruh setting kecepatan terhadap pengujian,
3. Bagaimana respon waktu untuk mencapai setpoint,

1.3 Tujuan

Tujuan yang ingin dicapai dari skripsi ini adalah membuat alat kontrol kecepatan putaran motor DC berbasis fuzzy logic dengan menggunakan mikrokontroller AT89S51 dengan tampilan LCD.

1.4 Batasan Masalah

Permasalahan dalam motor DC dan Mikrokontroller adalah merupakan permasalahan yang luas luas sehingga dalam menganalisa suatu permasalahan perlu diadakan pembatasan-pembatasan yang sesuai dengan permasalahan tersebut.

Didalam penulisan skripsi ini pembatasan yang dilakukan adalah sebagai berikut:

1. Analisa dilakukan pada motor DC magnet permanen penguat pemanen
 - Type motor DGM-208-2A
 - V nom : 12V
2. Pembahasan hanya ditekankan pada analisis respon pengendalian motor DC oleh fuzzy controller.

Merupakan Port yang digunakan sebagai ISP header.

- Port 2, pin 21 - 28

Merupakan port input-output dengan internal pull-up. Mengeluarkan alamat tinggi selama pengambilan program memory external.

- Port 3, pin 10 – 17

Merupakan port input-output dengan internal pull-up, dimana Port 3 juga memiliki fungsi khusus dan dapat dilihat pada tabel berikut ini;

Tabel 2-15 Fungsi Khusus Pada Port 3

Nama Penyemat	Fungsi Khusus
<i>Port 3.0</i>	RXD (port masukan serial)
<i>Port 3.1</i>	TXD (port keluaran serial)
<i>Port 3.2</i>	/INT0 (masukan interupsi eksternal 0)
<i>Port 3.3</i>	/INT1 (masukan interupsi eksternal 1)
<i>Port 3.4</i>	T0 (masukan pewaktu eksternal 0)
<i>Port 3.5</i>	T1 (masukan pewaktu eksternal 1)
<i>Port 3.6</i>	/WR (sinyal tulis memori data eksternal)
<i>Port 3.7</i>	/RD (sinyal baca memori data eksternal)

- RST (*Reset*), pin 9

Input Reset merupakan reset master untuk AT89S51.

- ALE/ Prog (*Address Latch Enable*), pin 30

Digunakan untuk menahan alamat memori eksternal selama pelaksanaan intruksi.

- PSEN (*Program Store Enable*), pin 29

Merupakan sinyal pengontrol yang memperbolehkan program memori eksternal masuk ke dalam bus.

- EA / VPP (*External Access*), pin 31

Dapat diberikan logika rendah (*Ground*) atau logika tinggi (+5V). Jika diberikan logika tinggi maka mikrokontroller akan mengakses program dari ROM internal (EEPROM/*Flash Memori*), dan jika diberikan logika rendah maka mikrokontroller akan mengakses program dari memori eksternal.

- X-TAL 1 dan X-TAL 2, pin 19, 18

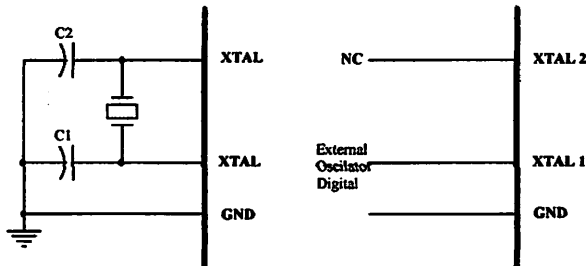
Kaki ini dihubungkan dengan kristal bila menggunakan *osilator internal*. XTAL 1 merupakan *input inverting osilator amplifier* sedangkan XTAL 2 merupakan *out-put inverting osilator amplifier*.

2.5.4. Karakteristik *Oscillator Inverting*.

XTAL 1 dan XTAL 2 secara berurutan merupakan *input dan output* dari sebuah *inverting amplifier* yang dapat dikonfigurasikan penggunaannya sebagai *on chip oscillator* seperti yang ditunjukkan pada gambar 2-4a dibawah ini. XTAL1 dan XTAL 2 ini dapat menggunakan sebuah *kristal quartz* maupun *resonator keramik*.

Untuk memberikan AT89S51 dari sumber *clock external*. Maka pin XTAL 2 dibiarkan tidak berhubungan dan XTAL 1 dihubungkan dengan sumber *clock external* seperti pada gambar 2-4b. Rangkaian ini tidak melakukan *duty cycle* dari setiap sinyal *clock internal*, karena *input* bagi masukan rangkaian *clock*

internal dihubungkan ke *flip-flop* pembagi dua, tetapi spesifikasi nilai tegangan pada saat tinggi dan rendah, maksimum dan minimumnya harus diberikan.



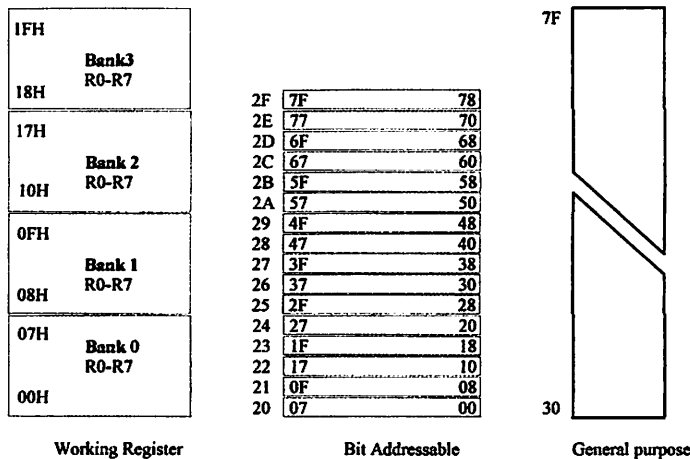
a) *Oscillator Connector* b) *External Clock Drive Configuration*
Gambar 2-4. Karakteristik Oscillator

2.5.5. Organisasi Memory.

Mikrokontoller AT89S51 memiliki ruang alamat memori data dan memori program yang terpisah. Pemisahan memori program dan memori data tersebut membolehkan memori data diakses dengan alamat 8-bit, sehingga dapat dengan cepat dan mudah disimpan dan dimanipulasi oleh CPU 8-bit. Namun demikian, alamat memori data 16-bit bisa juga dihasilkan melalui register DPTR

2.5.5.1. Program Memory Internal

AT89S51 memiliki program *memory internal* sebesar 4Kbyte dengan ruang alamat 0000H-0FFFH. Jika alamat-alamat program lebih tinggi daripada 0FFFH, yang melebihi kapasitas ROM\Flash *memory internal* menyebabkan AT89S51 secara otomatis mengambil *Code Byte* dari program *memory external*. *Code Byte* juga dapat diambil hanya dari *external memory* dengan alamat 0000-FFFFH dengan cara menghubungkan Pin EA ke *Ground*.



Gambar 2-16. Organisasi RAM Internal^[9]

2.5.6. SFR (*Special Function Register*)

Register Fungsi Khusus (*Special Function Register*) terletak pada 128 byte bagian atas memori data internal dan berisi register-register untuk pelayanan latch port, timer, program status words, control peripheral, dan sebagainya. Alamat register fungsi khusus ditunjukkan pada tabel 2.16

Tabel 2-16 Special Function Register

Simbol	Nama Register	Alamat
ACC	Accumulator	E0 _H
B	Register B	F0 _H
PSW	Program Statut Word	D0 _H
SP	Stack Pointer	81 _H
DPTR	Data Pointer 2 Byte	
DPL	Bit rendah	82 _H
DPH	Bit Tinggi	83 _H
P0	Port 0	80 _H
P1	Port 1	90 _H
P2	Port 2	A0 _H
P3	Port 3	B0 _H
IP	Interupt Periority Control	D8 _H
IE	Interupt Enable Control	A8 _H
TMOD	Timer/Counter Mode Control	89 _H
TCON	Timer/Counter Control	88 _H
TH0	Timer/Counter 0 High Control	8C _H
TL0	Timer/Counter 0 Low Control	8A _H
TH1	Timer/Counter 1 High Control	8D _H
TL1	Timer/Counter 1 Low Control	8B _H
SCON	Serial Control	98 _H
SBUF	Serial Data Buffer	99 _H
PCON	Power Control	87 _H

Beberapa macam register fungsi khusus yang sering digunakan adalah sebagai berikut ini :

- ◆ *Accumulator* (ACC) merupakan register untuk penambahan dan pengurangan.

Perintah *mnemonic* untuk mengakses akumulator disederhanakan sebagai A.

- ◆ *Register B* merupakan register khusus yang berfungsi melayani operasi perkalian dan pembagian.
- ◆ *Stack Pointer* (SP) merupakan register 8 bit yang dapat diletakkan di alamat manapun pada RAM internal.
- ◆ 2 *Data Pointer* (DPTR) terdiri dari dua register, yaitu untuk byte tinggi (*Data Pointer High*, DPH) dan byte rendah (*Data Pointer Low*, DPL) yang berfungsi untuk mengunci alamat 16 bit.
- ◆ *Port 0* sampai *Port 3* merupakan register yang berfungsi untuk membaca dan mengeluarkan data pada port 0, 1, 2, 3. Masing-masing register ini dapat dialamati per-byte maupun per-bit.
- ◆ *Control Register* terdiri dari register yang mempunyai fungsi kontrol. Untuk mengontrol sistem interupsi, terdapat dua register khusus, yaitu register IP (*Interrupt Priority*) dan register IE (*Interrupt Enable*). Untuk mengontrol pelayanan timer/counter terdapat register khusus, yaitu register TCON (*timer/counter control*) serta pelayanan port serial menggunakan register SCON (*Serial Port Control*).

2.5.7. Sistem Interupsi

Mikrokontroller AT89S51 mempunyai 5 buah sumber interupsi yang dapat membangkitkan permintaan interupsi, yaitu INT0, INT1, T1, T2 dan Port Serial. Saat terjadinya interupsi mikrokontroller secara otomatis akan menuju ke subrutin pada alamat tersebut. Setelah interupsi selesai dikerjakan, mikrokontroller akan mengerjakan program semula. Tiap-tiap sumber interupsi dapat *enable* atau *disable* secara software.

Tingkat prioritas semua sumber *interrupt* dapat diprogram sendiri-sendiri dengan *set* atau *clear* bit pada (*Interrupt Priorit*). Jika dua permintaan interupsi dengan tingkat prioritas yang berbeda diterima secara bersamaan, permintaan interupsi dengan prioritas tertinggi yang akan dilayani. Jika permintaan interupsi dengan prioritas yang sama diterima bersamaan, akan dilakukan polling untuk menentukan mana yang akan dilayani.

2.4. LCD (Liquid Crystal Display)

LCD (*Liquid Crystal Display*) adalah papan informasi / tampilan atau biasa disebut Display. Dengan konsumsi daya yang rendah yang disusun dari dot matrik dan dikontrol oleh internal ROM / RAM generator karakter dan RAM data display.

Semua fungsi display dikontrol dengan instruksi dan LCD dapat dengan mudah diinterfacekan dengan MCU / MPU.

Karakteristik dari LCD dot matrik yang digunakan adalah sebagai berikut :

- 16 x 2 karakter dengan 5 x 7 dot matrik + kursor.
- ROM generator karakter dengan 192 tipe karakter.
- RAM generator karakter – karakter dengan 8 tipe karakter (untuk program write).
- 80 x 8 bit RAM data display.
- Dapat di interfacekan dengan kemungkinan MPU 4 bit atau 8 bit.
- RAM data atau RAM generator karakter yang dapat dibaca oleh MPU.
- + 5 Volt single power supply.
- Power On Reset.
- Rangkaian temperature operasi 0°C sampai dengan 50°C.

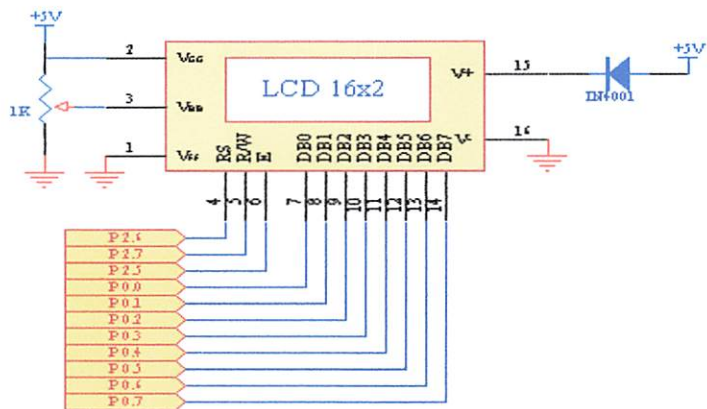
- Beberapa fungsi instruksi yaitu display clear, cursor home, display ON/OFF, cursor ON/OFF, display blink, cursor shift, dan display shift.

Display LCD mempunyai 16 terminal yang masing masing mempunyai fungsi sebagai berikut :

**Tabel 2-17
Display LCD**

NO	SYMBOL	LEVEL	FUNCTION	
1	Vss	-	For LCD Drive	0 V (GND)
2	Vcc	-		5 V $\pm 10\%$
3	Vee	-		For LCD Drive
4	RC	H/L	H : Data Input	L : Instruction Input
5	R/W	H/L	H : Read	L : Write
6	E	H	Enable signal	
7	DB0	H/L	Data bus	
8	DB1	H/L		
9	DB2	H/L		
10	DB3	H/L		
11	DB4	H/L		
12	DB5	H/L		
13	DB6	H/L		
14	DB7	H/L	Back light Supplay	4 – 4.2 V 50 – 200 mA 0 V (GND)
15	V+BL	-		
16	V-BL	-		

LCD ini dapat menampilkan karakter yang ada pada ROM generator karakter, yang sudah berisi 190 jenis karakter, dengan cara memberikan kode generator. Untuk tiap – tiap karakter yang diinginkan pada bus data dan dengan menggunakan sinyal kontrol E, RS, R/W, dapat diatur berbagai program yang diberikan pada LCD dot matrik.



Gambar 2-18. Rangkaian LCD 16 x 2

BAB III

PERANCANGAN PERANGKAT KERAS DAN PERANGKAT LUNAK

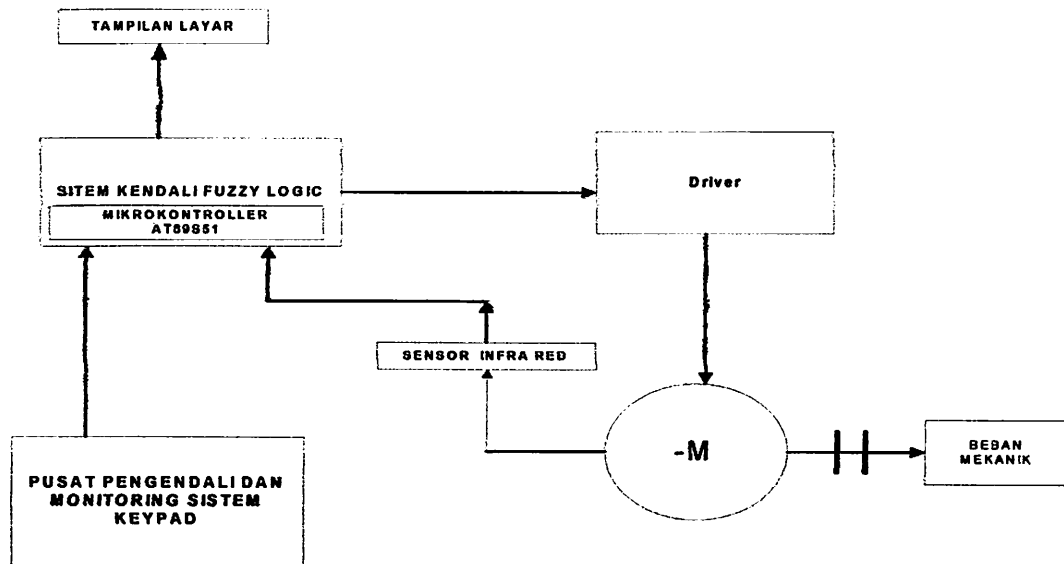
3.1 PERANCANGAN PERANGKAT KERAS

Secara umum rancangan perangkat keras dari alat pengendali kecepatan putaran motor DC terdiri dari 5 bagian utama, yaitu:

- 1) Motor DC magnit permanen
- 2) Catu Daya : sebagai sumber tenaga listrik bagi seluruh modu.
- 3) Mikrokontroller Utama: berfungsi sebagai interface antara keypad dengan inverter dan sebagai pengendali pensaklaran.
- 4) Tachometer : berfungsi sebagai umpan balik dari sistem kendali.
- 5) Pusat Pengendali (sistem kendali logika fuzzy) dan Monitoring Sistem : berfungsi untuk memberikan set-point kecepatan sekaligus memantau response sistem. Pusat pengendali dan monitoring sistem adalah sebuah keypad

3.1.1 Diagram Blok

Secara garis besar, rancangan keseluruhan dari sistem ini dapat digambarkan seperti gambar berikut ini.

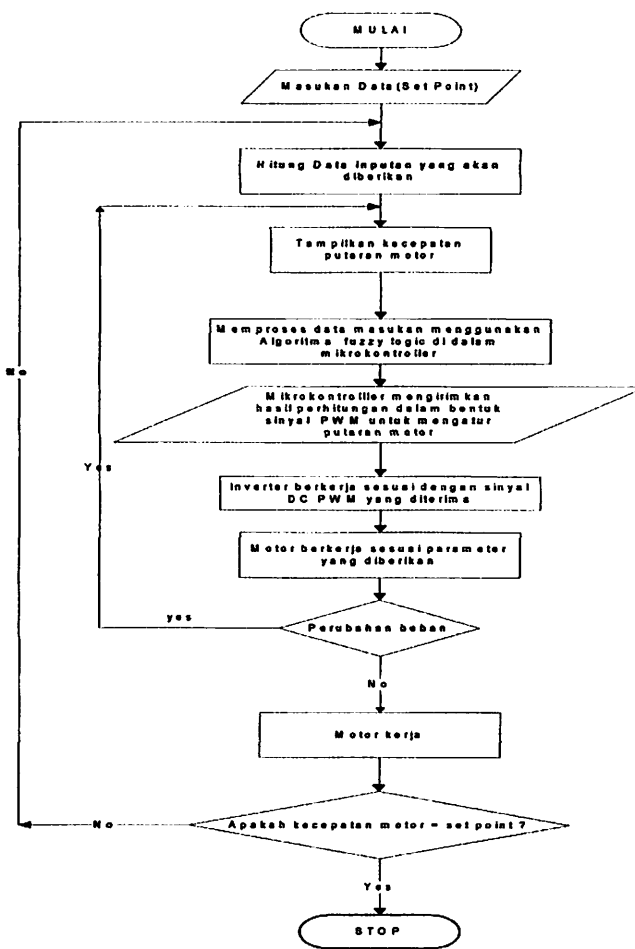


Gambar 3 – 1
Diagram Blok Keseluruhan Sistem

Keterangan :

- Catu Daya :
 - 5 V : Mikrokontroller
 - 12 V : Inverter
- Mikrokontroller Utama : ATMEL AT89S8252 (Interface)
- Tachometer : Sensor infra red
- Keypad

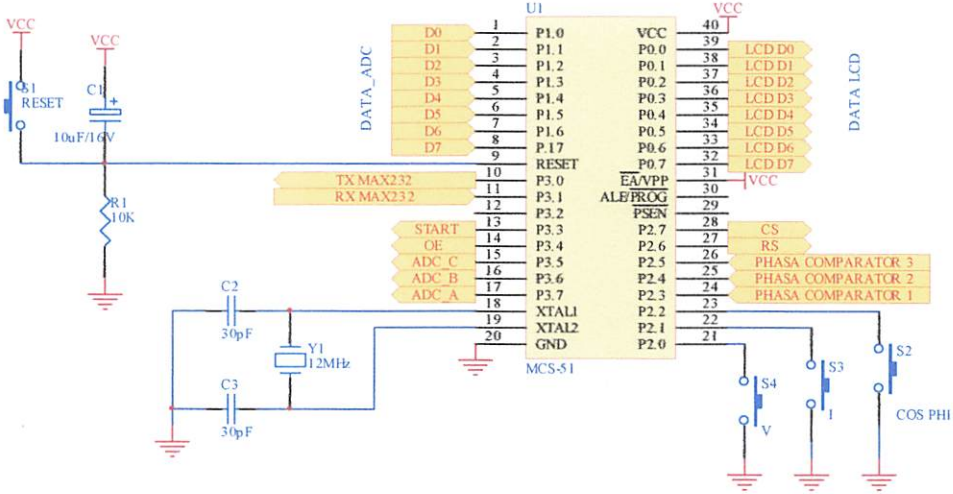
3.1.2 floechart



gambar 3-2
Diagram alir cara kerja pengatur kecepatan motor

3.2 Perancangan Minimum system Mikrokontroller AT89S51

Mikrokontroller disini menjadi komponen utama dalam perancangan alat ukur energi listrik ini,komponen ini mempunyai multi fungsi dalam berbagai bentuk aplikasi,termasuk dalam perancangan alat ini kami menggunakan mikrokontroller AT89S51yang termasuk dalam keluarga MCS-51.Mikrokontroller ini mempunyai banyak kelebihan seperti yang telah tertulis pada Bab II dalam penulisan skripsi ini.



Gambar 3-3. Konfigurasi Kaki Mikrokontroller AT89S51

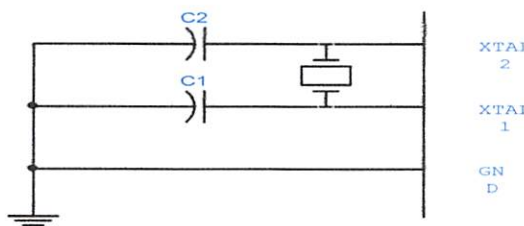
3.2.1 Rangkaian Clock Internal

Mikrokontroler AT89S51 ini memiliki *internal clock* generator yang berfungsi sebagai sumber *clock*, tetapi masih diperlukan rangkaian tambahan untuk membangkitkan *clock* tersebut. Rangkaian ini terdiri dari 2 buah kapasitor dan sebuah kristal dengan ketentuan:

$$C1 \text{ dan } C2 = 20 \text{ pF} - 40 \text{ pF} \text{ untuk kristal}$$

$$= 30 \text{ pF} - 50 \text{ pF} \text{ untuk keramik resonator}$$

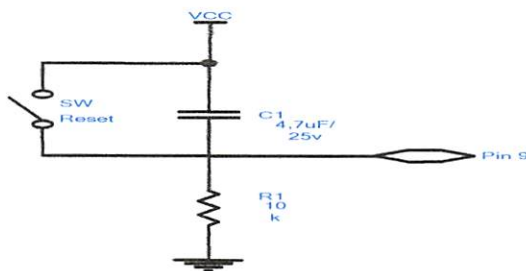
Dalam perencanaan rangkaian mikrokontroller ini digunakan kapasitor sebesar 30 pF sampai dengan 10 pF.



Gambar 3-4. Rangkaian Clock

3.2.2 Rangkaian Reset

Rangkaian *Reset* digunakan untuk mereset atau mengembalikan ke keadaan awal dari mikrokontroller AT89S51. Rangkaian ini dipergunakan untuk mereset mikrokontroller pada keadaan pertama kali saat power diaktifkan atau disebut Power On Reset. Untuk menjalankan reset maka pin reset (pin no.9) pada mikrokontroller diberi sinyal *high* (1), rangkaian reset ini dapat ditunjukkan pada gambar berikut:



Gambar 3-5. Rangkaian Reset

3.3 Perancangan Rangkaian LCD

LCD Display Module M1632 buatan Seiko Instrument Inc. terdiri dari dua bagian, yang pertama merupakan panel LCD sebagai media penampil informasi dalam bentuk huruf/angka dua baris, masing-masing baris bisa menampung 16 huruf/angka.

Bagian kedua merupakan sebuah sistem yang dibentuk dengan mikrokontroler yang ditempelkan dibalik pada panel LCD, berfungsi mengatur tampilan informasi serta berfungsi mengatur komunikasi L1632 dengan mikrokontroler yang memakai tampilan LCD itu. Dengan demikian pemakaian M1632 menjadi sederhana, sistem lain yang M1632 cukup mengirimkan kode-kode ASCII dari informasi yang ditampilkan seperti layaknya memakai sebuah printer.

Untuk berhubungan dengan mikrokontroler pemakai, M1632 dilengkapi dengan 8 jalur data (**DB0..DB7**) yang dipakai untuk menyalurkan kode ASCII maupun perintah pengatur kerjanya M1632. Selain itu dilengkapi pula dengan **E**, **R/W** dan **RS** seperti layaknya komponen yang kompatibel dengan mikroprosesor.

Kombinasi lainnya **E** dan **R/W** merupakan sinyal standar pada komponen buatan Motorola. Sebaliknya sinyal-sinyal dari MCS51 merupakan sinyal khas Intel dengan kombinasi sinyal **WR** dan **RD**.

RS, singkatan dari Register Select, dipakai untuk membedakan jenis data yang dikirim ke M1632, kalau **RS=0** data yang dikirim adalah perintah untuk mengatur kerja M1632, sebaliknya kalau **RS=1** data yang dikirim adalah kode ASCII yang ditampilkan.

Demikian pula saat pengambilan data, saat **RS=0** data yang diambil dari M1632 merupakan data status yang mewakili aktivitas M1632, dan saat **RS=1** maka data yang diambil merupakan kode ASCII dari data yang ditampilkan.

Proses mengirim/mengambil data ke/dari M1632 bisa dijabarkan sebagai berikut :

1. **RS** harus dipersiapkan dulu, untuk menentukan jenis data seperti yang telah dibicarakan di atas.
2. **R/W** di-nol-kan untuk menandakan akan diadakan pengiriman data ke M1632. Data yang akan dikirim disiapkan di **DB0..DB7**, sesaat kemudian sinyal **E** di-satu-kan dan di-nol-kan kembali. Sinyal **E** merupakan sinyal sinkronisasi, saat **E** berubah dari 1 menjadi 0 data di **DB0 .. DB7** diterima oleh M1632.
3. Untuk mengambil data dari M1632 sinyal **R/W** di-satu-kan, menyusul sinyal **E** di-satu-kan. Pada saat **E** menjadi 1, M1632

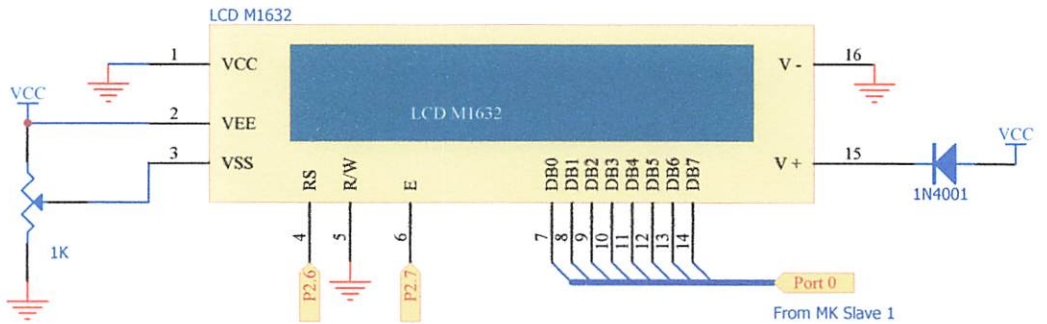
akan meletakkan datanya di **DB0 .. DB7**, data ini harus diambil sebelum sinyal **E** di-nol-kan kembali.

M1632 mempunyai seperangkat perintah untuk mengatur tata kerjanya, perangkat perintah tersebut meliputi perintah untuk menghapus tampilan, meletakkan kembali cursor pada baris huruf pertama baris pertama, menghidup/matikan tampilan dan lain sebagainya, semua itu dibahas secara terperinci dalam lembar data M1632.

Setelah diberi sumber daya, ada beberapa langkah persiapan yang harus dikerjakan dulu agar M1632 bisa dipakai, langkah-langkah tersebut antara lain adalah:

1. Tunggu dulu selama 15 mili-detik atau lebih.
2. Kirimkan perintah 30h, artinya trasfer data antar M1632 dan mikrokontroler dilakukan dengan mode 8 bit
3. Tunggu selama 4.1 mili-detik
4. Kirimkan sekali lagi perintah 30h
5. Tunggu lagi selama 100 mikro-detik

Setelah langkah-langkah tersebut di atas M1632 barulah bisa menerima data dan menampilkannya dengan baik. Pada awalnya tampilan akan nampak kacau, dengan demikian perlu segera dikirim perintah menghapus tampilan dan lain sebagainya, sesuai dengan petunjuk yang ada di lembar data.



Gambar 3-6.
Perancangan Rangkaian Liquid Crystal Display (LCD)
Sumber : Perancangan.

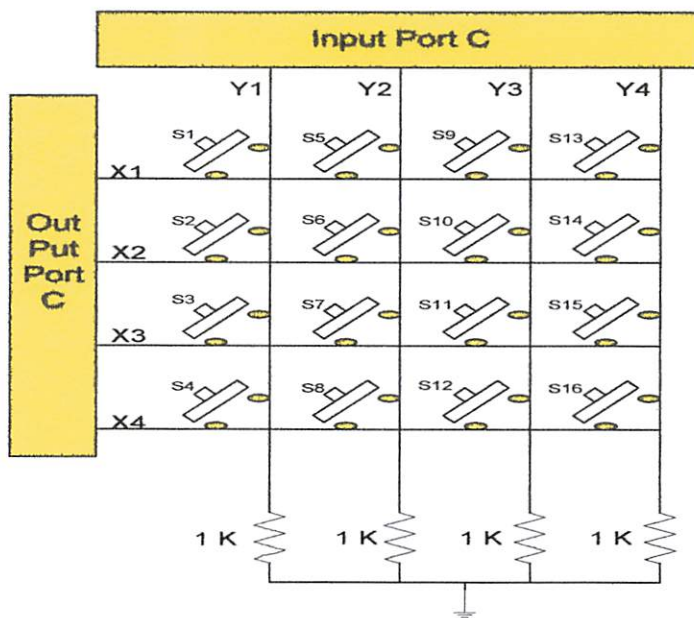
Untuk tampilan dipergunakan LCD Dot Matrik 2 x 16 karakter. Sinyal-sinyal yang diperlukan oleh LCD adalah RS dan Enable, sinyal RS dan Enable dipergunakan sebagai input yang outputnya dipakai untuk mengaktifkan LCD. LCD akan aktif apabila mikrokontroller memberikan instruksi tulis pada LCD. Saat kondisi RS don't care dan Enable 0 maka LCD tetap pada kondisi semula, pengiriman data ke LCD dilakukan saat RS berlogika 0 dan enable berlogika 1. Instruksi dikirim pada LCD bila keadaan RS 1 dan Enable 1. Pin LCD ini untuk data terkoneksi pada *Port 0* mikrokontoler Slave 1. Kemudian untuk RS dihubungkan pada *Port 2.6*, tulis/baca (*Read/Write*) diberikan logika *low* karena disini LCD bersifat menulis data, dan yang terakhir *Enable* (E) dikendalikan dengan *Port 2.7*. Gambar rangkaian LCD ditunjukkan pada gambar 3-6.

3.4. Papan Tombol (*Keypad*)

Papan tombol ini digunakan untuk memasukkan data referensi dan mengubah data bila diinginkan. Untuk menterjemahkan informasi yang diterima dari papan tombol, maka *keypad* dihubungkan dengan *port C PPI 8255*.

Papan tombol tersebut mempunyai matrik 4 baris dan 3 kolom. Deretan baris dan kolom dari papan tombol dihubungkan dengan *port C PPI 8255* yang difungsikan sebagai masukan dan keluaran. Deretan kolom dihubungkan dengan *ground* (berlogika 0) dan *port C* (PC4-PC7) yang difungsikan sebagai *input*

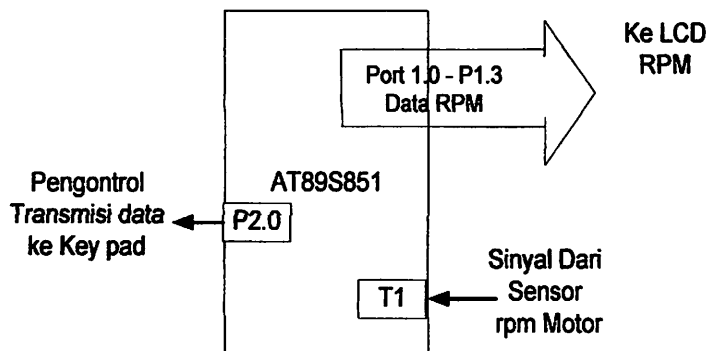
mikrokontroler. Sedangkan deretan baris dihubungkan ke *port C* (PC0-PC3) yang telah diberi data 0001 dan secara kontinyu data tersebut bergeser satu bit ke kiri. Pergeseran data satu bit ini dimaksudkan untuk menentukan posisi tombol yang ditekan dalam satu kolom. *Port* ini difungsikan sebagai *output* dari mikrokontroler. Dengan demikian kalau tombol tidak ditekan maka masukan *port C* (PC4-PC7) di pin yang terhubung tombol tersebut berlogika 0 dan bila tombol ditekan akan berlogika 1. Rangkaian papan tombol tersebut dapat dilihat dalam Gambar 3-7.



Gambar 3-7
Rangkaian Keypad

3.5 Rancangan Modul Tachometer

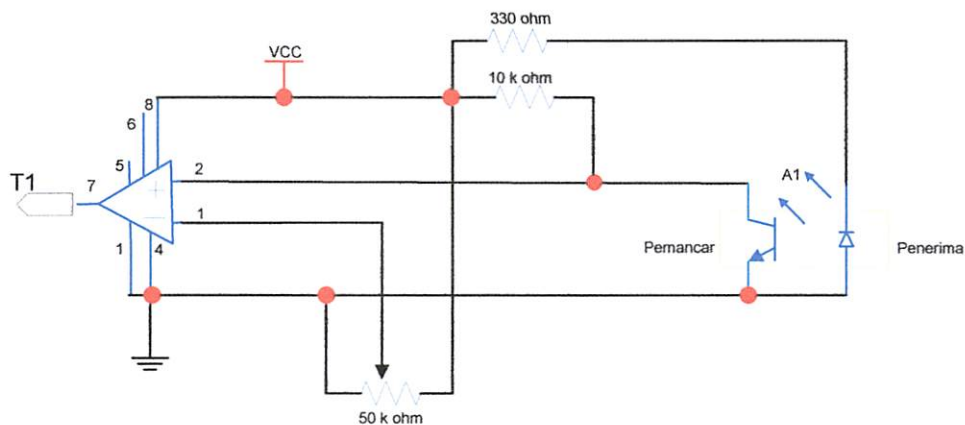
Tugas utama modul ini adalah mengirimkan data kecepatan putaran motor. Selain itu tachometer ini juga akan mengirimkan data hasil pengukuran tersebut kepada LCD untuk dapat melihat kinerja dari sistem kendali.



**Gambar 3.10
Modul Tachometer**

Tachometer akan mengukur kecepatan putaran motor dengan cara menghitung waktu yang dibutuhkan oleh motor untuk menyelesaikan satu putaran. Pendektsian tersebut dilakukan dengan menggunakan sebuah sensor Optocoupler dan diletakkan pada sebuah piringan yang diberi lobang. Optocoupler akan Off apabila bila cahaya lednya terhalang dan akan ON apabila cahaya led mengenai phototransistor saat piringan yang berlobang. Selanjutnya sinyal keluaran sensor diproses oleh mikrokontroler pada modul tachometer untuk mendapatkan hasil kecepatan putaran motor dalam rotasi per menit.

Optocoupler merupakan komponen penghubung (coupling) yang bekerja berdasarkan “picu” cahaya, yang bekerja bila ada cahaya sebagai tegangan bias. Optocoupler terdiri dari 2 buah bagian, yaitu bagian transmitter (pemancar) dan bagian receiver (penerima). Bagian transmitter dari optocoupler terdiri led infrarad untuk memperoleh keluaran yang baik dari sinyal atau cahaya yang tampak disbanding menggunakan led biasa. Sedangkan, bagian receiver terdiri dari phototransistor yang akan bekerja bila mendapat cahaya atau sinar, cahaya menggatikan tegangan bias yang dibutuhkan transistor yang berasal dari led.



Gambar 3 – 11
Rangkaian Sensor Menggunakan Infrared

Ket : * A1 merupakan komponen Infrared sebagai sensor putaran.

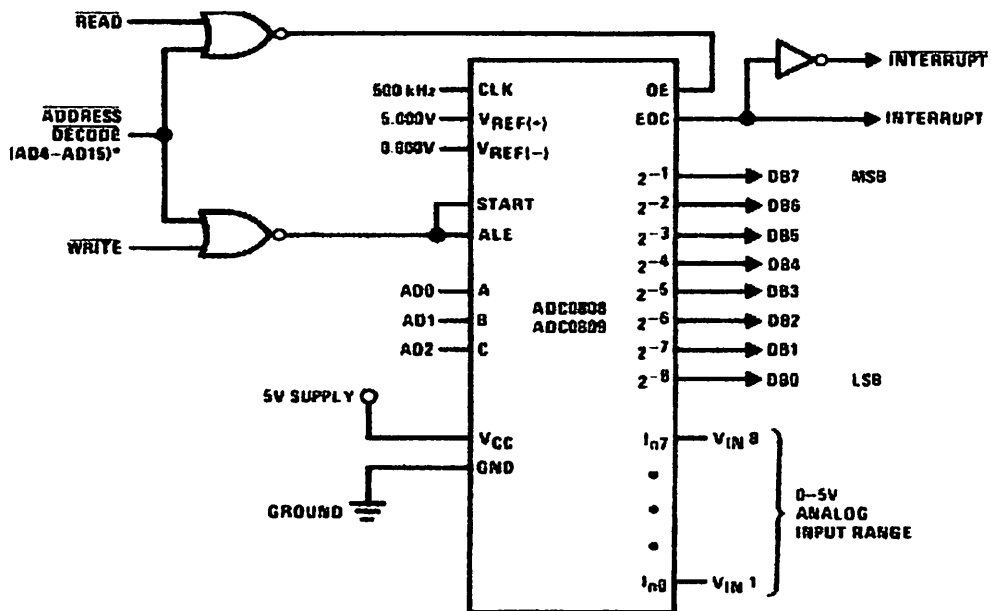
* LM 311 merupakan komponen Op-Amp dengan rangkaian Differensial yang terdiri dari dua terminal input dan satu terminal output. Terminal input terdiri dari terminal inverting (yang bertanda -) dan terminal non-inverting (yang bertanda +) berfungsi sebagai rangkaian pengurang antara dua terminal input karena sifat terminal inverting yang membalik polaritas dari inputan. Fungsi LM311 ini adalah sebagai komparator, antara tegangan referensi (5V) dengan tegangan optocoupler (terbuka=0,4 V dan tertutup =3,2 V). Untuk menghitung diameter lingkaran yaitu

Rumus $2 \cdot r$

$$2 \times 5 = 10 \text{ cm}$$

3.6. Perancangan ADC dan DAC

Pada rangkaian ADC digunakan ADC 0809. Dimana rangkaian ADC ini berfungsi untuk mengkonversi sinyal analog menjadi data digital.

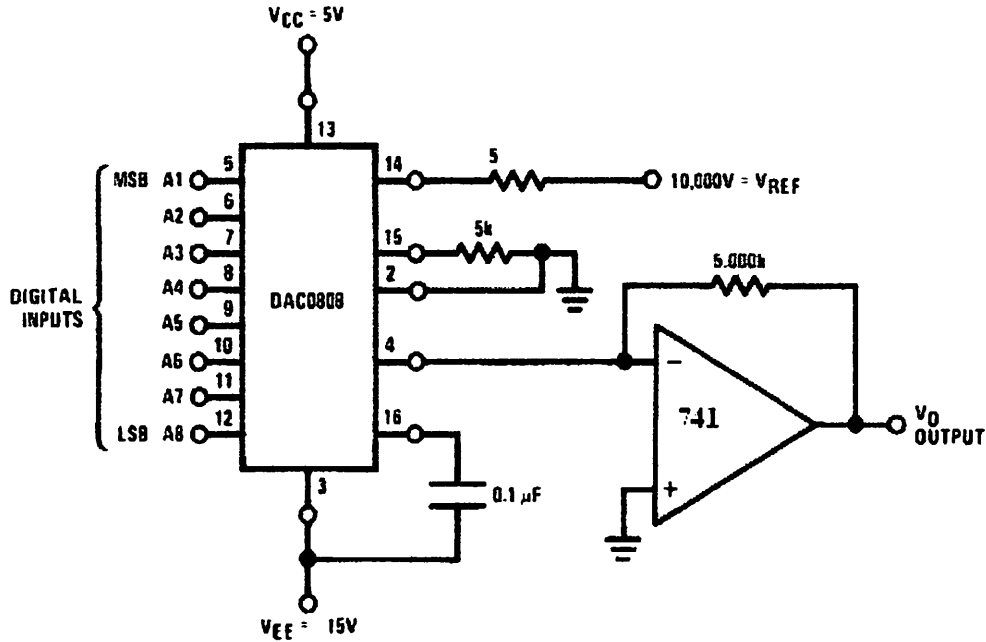


Gambar 3-12 Rangkaian ADC 0809

Input 0 (pin 26) merupakan masukan yang berupa sinyalanalog dari sensor suhu. Pin 2^{-1} sampai pin 2^{-8} merupakan output digital yang digunakan untuk mengirim data ke minimum system DT-51 petrafuz.

Kontrol ADC PORT C Pin no. 1 dari minimum system DT-51 Petrafuzz masuk ke control (ABC ADC 0809) pin yang A. EOC (End of Conversion) pin 7 akan high jika proses konversi telah selesai.

Sedangkan pada rangkaian DAC digunakan DAC 0808, yang berfungsi untuk mengkonversi data digital menjadi sinyal analog.



Gambar 3-14 Rangkaian DAC 0808

Pada pin 5 sampai pin 7 merupakan tempat inputan digital dari DT-51 petrafuz. Pada pin 6 (V_o) dari LM 741 merupakan tegangan output dari hasil konversi DAC 0808 yang akan digunakan sebagai inputan pada rangkaian pengubah frekwensi ke frekuensi. Dimana rangkaian pengubah frekwensi ke tegangan membutuhkan inputan analog antara 0-3 volt yang merupakan titik kerjanya.

3.7 Driver Motor

Driver motor pada alat yang dirancang berupa motor DC dengan power supply 12V. Besarnya kecepatan putar motor diatur melalui PC dimana prosesnya sebagai berikut melalui port pada mikro akan mengeluarkan perintah berupa data biner 8 bit atau dalam decimal 0 sampai 255. Perintah ini diubah oleh ADDA menjadi perubahan tegangan analog.

Dan dari perubahan tegangan ini akan diubah oleh trassistor TIP41 menjadi perubahan arus yang dilalui rangkaian darlington.

Dimana perubahan arus yang melalui basis ini akan mempengaruhi besarnya arus yang masuk dari motor DC ke kolektor dimana besarnya arus kolektor (I_{C1}) sama dengan arus basis (I_{B1}) dikalikan dengan h_{f1} , dimana h_{fe} adalah penguat trassistor.

Perubahan arus kolektor inilah yang menyebabkan kecepatan putar motor DC dapat berubah dimana kecepatan berbanding lurus dengan arus kolektor, dimana besarnya arus basis tergantung pada besarnya resistor dengan rumus:

$$R_{B'E'} = 2h_{fe} VT / I_C' \quad (3.1)$$

Besarnya arus yang melalui basis akan mempengaruhi besarnya arus yang masuk dari motor DC ke kaki kolektor dimana dapat diketahui dengan rumus sebagai berikut:

$$I_{C1} = I_{B1} \cdot h_{fe1}$$

$$I_{C2} = h_{fe2} \cdot I_{B2} = h_{fe2} \cdot I_{C1} = h_{fe2} \cdot h_{fe1} \cdot I_{B1}$$

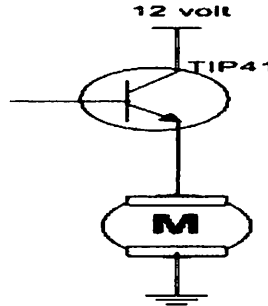
$$I_C' = h_{fe2} \cdot h_{fe1} \cdot I_B' \quad (3.2)$$

Keterangan

I_B = Arus basis

I_C = Arus kolektor

H_{fe} = Faktor penguat transistor



Gambar 3.15 Rangkaian Untuk Menjalankan Motor

3.8 Rancangan Perangkat Lunak Sistem

Desain perangkat lunak keseluruhan sistem dapat dibagi menjadi 3 bagian utama, yaitu:

1. Perangkat lunak monitoring sistem berfungsi sebagai pemberi perintah berupa data Set Point yang harus dikerjakan oleh motor beserta pengendalinya, fungsi lainnya sebagai pencatat dan menggrafikkan tanggapan sistem.
2. Perangkat lunak pendekripsi sinyal dari key pad dengan menggunakan listing program. Perangkat lunak ini ditempatkan pada mikrokontroler sebagai Interface ke inverter.
3. Perangkat lunak pendekripsi kecepatan putaran motor (tachometer), digunakan sebagai sarana umpan balik pengendali sehingga sistem kendali alat ini menjadi berjenis *closed loop*.

3.8.1 Rancangan Perangkat Lunak Pusat Pengendali Kecepatan Motor DC

A. Rancangan Sistem Logika Fuzzy

Perangkat lunak ini mengirimkan sinyal pada mikrokontroller dengan tugas utamanya untuk mengendalikan kecepatan putaran motor induksi agar sesuai dengan set point yang diberikan.

Fungsi keanggota yang direncanakan untuk imputan err dan Δ Err (keasalah dan perubahan) terdiri 5 label SN(sangat negatif),N(negatif),0,P(positif),SP(sangat positif) dimana:

$$\text{Err}(n) = \text{SP}(n) - \text{PV}(n) \dots \dots \dots (1)$$

$$\Delta\text{Err} = \text{Err}(n) - \text{Err}(n-1) \dots \dots \dots (2)$$

Sedangkan fungsi keanggotaan Δ output yang berupa garis vertikal (singleton)mempnyai label yang sama dengan Err dan Δ Err. Δ output FLC menuju driver motor

Untuk merepresentasikan fungsi keanggotaan tersebut diperlukan 4 nilai, yaitu: titik 1, titik 2, kemiringan 1. dan kemiringan 2. Hal ini dikarenakan derajat keanggotaan dari titik 1 dan titik 2 berturut-turut selalu $\mu = 0$ dan $\mu = 1$ (MU_MAX). Selain dari nilai basis titik 1 dan titik 2, nilai lainnya adalah kemiringan dari sisi fungsi keanggotaan yaitu kemiringan 1 dan kemiringan 2. Untuk itu fungsi keanggotaan (MBF) dikodekan pada persamaan 1

MBF_DEFINITION : (Titik_1, Kemiringan_1, Titik_2,Kemiringan_2)

Persamaan 3 - 1
Definisi Fungsi keanggotaan

Untuk masing-masing masukan akan digolongkan terlebih dahulu kepada daerah 1, daerah 2, atau daerah 3. Selanjutnya ditentukan nilai fuzzifikasinya menurut Persamaan

$$\hat{P}^2 \text{ Daerah 1 : Keanggotaan} = 0$$

$$2. \text{ Daerah 2 : Keanggotaan} = \min\{1, (\text{Masukan-Titik}_1) * \text{Kemiringan}_1\}$$

$$3. \text{ Daerah 3 : Keanggotaan} = \max\{0, 1 - (\text{masukan-Titik}_2) * \text{kemiringan}_2\}$$

Persamaan 3 - 2.

Perhitungan Derajat Keanggotaan Untuk Masing-Masing Daerah

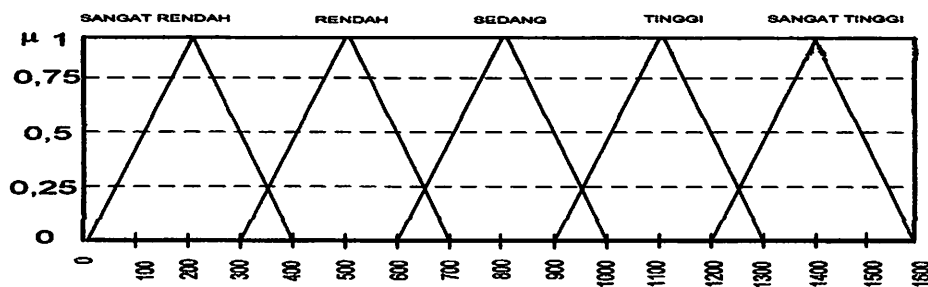
➤ Variabel Linguistik:

$$T(\text{kecepatan}) = \{\text{ sangat rendah, rendah, sedang, tinggi, sangat tinggi }\}$$

➤ Crisp (X) :

- Kecepatan putaran sangat rendah : 0 – 400 rpm
- Kecepatan putaran rendah : 300 – 700 rpm
- Kecepatan putaran sedang : 600 – 1000 rpm
- Kecepatan putaran tinggi : 900 – 1300 rpm
- Kecepatan putaran sangat tinggi : 1200 – 1600 rpm

erajat keanggotaan dan fungsi keanggotaan untuk data diatas dapat digambarkan dalam gambar 3-13



GAMBAR 3-16
Himpunan Fuzzy Untuk Kecepatan

Perhitungan derajat keanggotaan dapat dicari sebagai berikut (untuk fungsi segitiga) :

- $\mu_{(0)} = (0-0)/200 = 0$ (untuk himpunan rendah)
- $\mu_{(360)} = (400-360)/200 = 0.2$ (untuk himpunan sangat rendah)
- $= (360-300)/200 = 0.3$ (untuk himpunan rendah)

3.8.2 Proses Inferensi

Adapun untuk proses inferensi logika fuzzy digunakan jenis Mamdani, yaitu metode MAX-MIN. Hal ini dikarenakan proses yang sederhana, tidak memerlukan perhitungan yang rumit, hanya membandingkan nilai-nilai yang ada. Pada tahap fuzzy inferensi ini, Software membandingkan nilai hasil fuzifikasi dari setiap rule. Setiap proses inferensi akan mempengaruhi nilai derajat fungsi keanggotaan keluaran. Hasil tersebut kemudian akan diproses pada tahap defuzifikasi.

3.8.3. Proses Defuzifikasi

Metode defuzifikasi yang digunakan oleh penulis adalah metode centroid atau center of gravity yang telah disederhanakan, yaitu mengambil titik berat dari gabungan fungsi keanggotaan keluaran. Metode ini didasarkan pada Persamaan 3.

$$\text{Keluaran} = \frac{(a_1 \times b_1 + a_2 \times b_2 + \dots + a_n \times b_n)}{b_1 + b_2 + b_n}$$

Dengan:

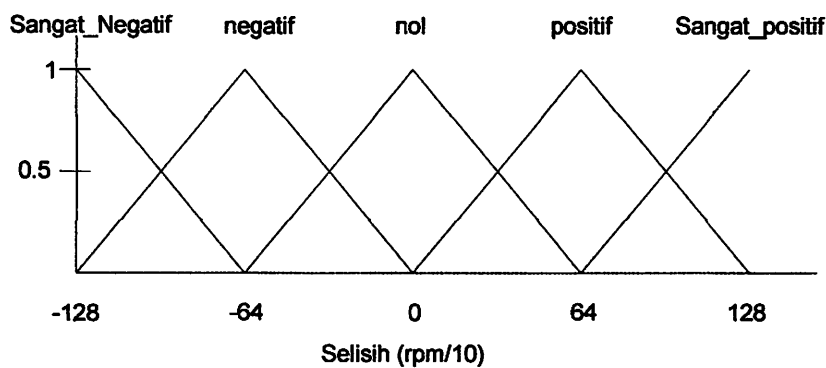
a: titik tengah fungsi keanggotaan keluaran

b: dearat fungsi kenggotaan keluaran

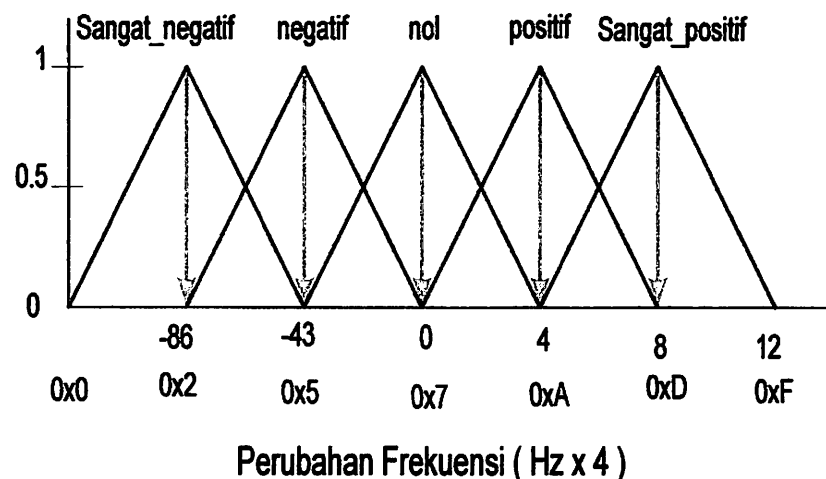
n: jumlah fungsi keanggotaan

**Persamaan 3 -3.
Perhitungan Dengan Metode Center Of Gravity.**

Dengan menggunakan metode intuisi dan trial and error maka dibuat fungsi keanggotaan untuk Selisih dan Frekuensi serta aturan logika fuzzy (fuzzy rules) sebagai berikut.



Gambar 3- 17
Fungsi Keanggotaan Selisih



Gambar 3-18
Fungsi Keanggotaan Frekuensi

3.8.4 Mekanisme Infersi

Untuk mengkombinasikan aturan-aturan kontrol yang digunakan kata hubung yang secara umum dinyatakan dengan:

Rule 1

“if input adalah 0 (0,25) AND output adalah 100 (0,5) Then kecepatan adalah sangat rendah

Rule 2

“if input adalah 100 (0,25) AND output adalah 200 (0,5) Then kecepatan adalah sangat rendah

Rule 3

“if input adalah 100 (0,25) AND output adalah 300 (0,5) Then kecepatan adalah sangat rendah

Rule 4

“if input adalah 100 (0,25) AND output adalah 400 (0,25) Then kecepatan adalah sangat rendah

Rule 5

“if input adalah 200 (0,25) AND output adalah 400 (0,25) Then kecepatan adalah sangat rendah

Rule 6

“if input adalah 300 (0,25) AND output adalah 400 (0,25) Then kecepatan adalah rendah

Rule 7

“if input adalah 300 (0,5) AND output adalah 500 (0,5) Then kecepatan adalah rendah

Rule 8

“if input adalah 300 (0,25) AND output adalah 600 (0,25) Then kecepatan adalah rendah

Rule 9

“if input adalah 300 (0,25) AND output adalah 700 (0,25) Then kecepatan adalah rendah

Rule 10

“if input adalah 400 (0,25) AND output adalah 600 (0,25) Then kecepatan adalah rendah

Rule 11

“if input adalah 600 (0,25) AND output adalah 700 (0,5) Then kecepatan adalah sedang

Rule 12

“if input adalah 700 (0,25) AND output adalah 800 (0,5) Then kecepatan adalah sedang

Rule 13

“if input adalah 700 (0,25) AND output adalah 800 (0,5) Then kecepatan adalah sedang

Rule 14

“if input adalah 800 (0,5) AND output adalah 900 (0,25) Then kecepatan adalah sedang

Rule 15

“if input adalah 900 (0,25) AND output adalah 1000 (0,5) Then kecepatan adalah tinggi

Rule 16

“if input adalah 1000 (0,5) AND output adalah 1100 (0,25) Then kecepatan adalah sedang

Rule 17

“if input adalah 1100 (0,75) AND output adalah 1200 (0,5) Then kecepatan adalah tinggi

Rule 18

“if input adalah 1200 (0,25) AND output adalah 1300 (0,5) Then kecepatan adalah tinggi

Rule 19

“if input adalah 1100 (0,75) AND output adalah 1300 (0,25) Then kecepatan adalah tinggi

Rule 20

“if input adalah 1000 (0,25) AND output adalah 1200 (0,25) Then kecepatan adalah tinggi

Rule 21

“if input adalah 1200 (0,25) AND output adalah 1400 (0,5) Then kecepatan adalah sangat tinggi

Rule 22

“if input adalah 1200 (0,25) AND output adalah 1500 (0,5) Then
kecepatan adalah sangat tinggi

Rule 23

“if input adalah 1300 (0,25) AND output adalah 1400 (0,5) Then
kecepatan adalah sangat tinggi

Rule 24

“if input adalah 1300 (0,25) AND output adalah 1500 (0,75) Then
kecepatan adalah sangat tinggi

Rule 25

“if input adalah 1300 (0,25) AND output adalah 1600 (0,25) Then
kecepatan adalah sangat tinggi

Tabel 3.1 Aturan Inferensi Logika Fuzzy

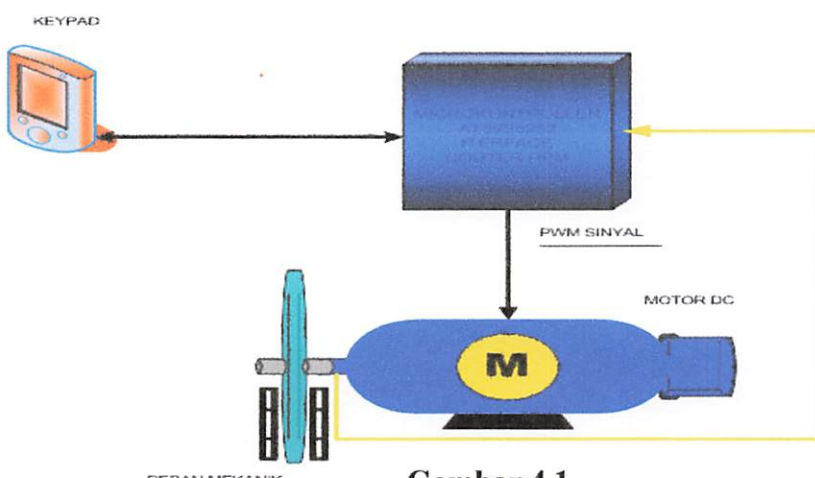
		Δe				
		NB	NK	SN	PK	PB
error	NB	NB	NB	NB	NS	SN
	NK	NB	NS	NK	SN	PS
	SN	NB	NK	SN	NK	PB
	PK	NB	SN	PK	PS	PB
	PB	SN	PS	PB	PB	PB

BAB IV

PENGUJIAN ALAT DAN ANALISA DATA

A. Alat yang dipergunakan :

- a) Keypad
- b) Rangkaian Kontrol : Mikrokontroller AT89S51
- c) Rangkaian sensor : Infra red
- d) Motor DC Magnit permanen, dengan data-data sebagai berikut:
 - a. Tegangan : 12 Volt.
 - b. Arus : 0,9 Ampere.
 - c. Putaran : 1500 rpm
- g) Digital Tachometer, DEUMO MP.
- h) Alat Ukur (Voltmeter).



Gambar 4.1
Skema Rangkaian Pengujian

4.1. Pengujian Alat Pengendali Kecepatan Berbeban

Pelaksanaan Percobaan

1. Menghubungkan KEYPAD dengan rangkaian kontrol (Mikrokontroler),
2. Motor DC yang akan diuji

3. Memasang sensor kecepatan (Infrared & Mikrokontroller) sebagai feedback ke KEYPAD.
4. Mengatur Tegangan,
5. Memantau kecepatan motor,besar tegangan, arus

Tujuan Percobaan

Ingin mengetahui daya inputan motor,arus,tegangan , dan kecepatan motor

Rumus

Perancangan – pengujian / pengujian

Data hasil pengujian

Pengujian alat dengan acuan sebagai referensi set point yang akan

**Tabel 4-1
Hasil Pengujian**

No	Set point (rpm)	kecepatan		Error (%)
		Min (rpm)	Max (rpm)	
1	100	60	120	0,6
2	500	480	500	0,12
3	1000	990	1060	0,06
4	1400	1380	1440	0,042
5	1500	1440	1500	0,04

Perhitungan error RPM

$$\begin{aligned}
 E &= \frac{60}{100} \times 100\% = 0,6 \\
 E &= \frac{60}{500} \times 100\% = 0,12 \\
 E &= \frac{60}{1000} \times 100\% = 0,06 \\
 E &= \frac{60}{1400} \times 100\% = 0,042 \\
 E &= \frac{60}{1500} \times 100\% = 0,04
 \end{aligned}$$

Hasil pengujian menunjukan bahwa ketika kecepatan diberi setting 100 rpm, kecepatan maximal mencapai 120 dan kecepatan minimum 60 rpm dalam pembebanan perlu dilakukan batasan beban yang diberikan ke motor, karena pada saat overload motor akan lebih lama untuk mencapai kesetabilan. Dari data diatas maka dapat kita simpulkan bahwa sangat perlu dilakukan pengaturan kecepatannya untuk kesetabilan putaran motor tersebut

1.2 pengujian optocopler(terbebani)

Tabel 4-2
Hasil Pengujian Optocopler(Terbebani)

No	Set point RPM yang diinginkan	Beban	Hasil RPM
1	500	0%	500
		50%	300
		75%	180
2	1000	0%	1000
		50%	840
		75%	420
3	1500	0%	1500
		50%	300
		75%	180

Rumus

$$V_{ton} = T_{on} / T_{off} \times V_{DC}$$

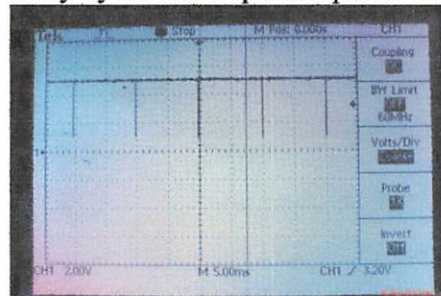
Pada 1500 rpm VDC =	$\frac{10 \text{ ms}}{10 \text{ ms}}$	$\times 12 =$	12 volt
Pada 1400 rpm VDC =	$\frac{8,2 \text{ ms}}{10 \text{ ms}}$	$\times 12 =$	9,89 volt
Pada 1300 rpm VDC =	$\frac{7,8}{10}$	$\times 12 =$	9,36 volt
Pada 1200 rpm VDC =	$\frac{7,4}{10}$	$\times 12 =$	8,88 volt
Pada 1100 rpm VDC =	$\frac{7,2}{10}$	$\times 12 =$	8,64 volt
Pada 1000 rpm VDC =	$\frac{6,6}{10}$	$\times 12 =$	792 volt
Pada 900 rpm VDC =	$\frac{6,4}{10}$	$\times 12 =$	7,68 volt
Pada 800 rpm VDC =	$\frac{6,4}{10}$	$\times 12 =$	7,44 volt
Pada 700 rpm VDC =	= $\frac{5,4}{10}$	$\times 12 =$	6,48 volt

Tabel 4-3
Perhitungan dan pengujian VDC

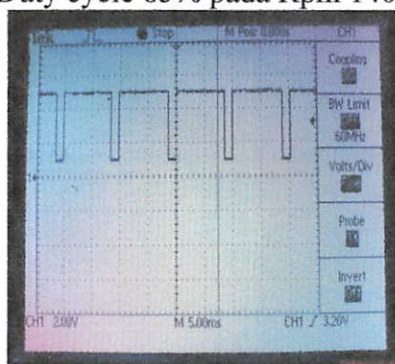
NO	SETPOINT	TEGANGAN(v)	TEGANGAN(v)	DUTY CECLE %
1	1500	12	11,6	100
2	1400	9,8	10,6	82
3	1300	9,36	10,1	78
4	1200	8,88	9,4	74
5	1100	8,64	8,7	72
6	1000	7,92	8,1	66
7	900	7,68	7,1	64
8	800	7,44	6,4	62
9	700	7,2	5,4	60
10	600	6,48	5,0	54

Hasil pengujian menunjukkan bahwa ketika kecepatan diberi setting 500 rpm, kecepatan stabil 500 rpm dan jika diberi beban maksimal 75% maka kecepatan motor 180 rpm mengalami perubahan, apabila permbebanan diatas 75% motor akan mengalami overload

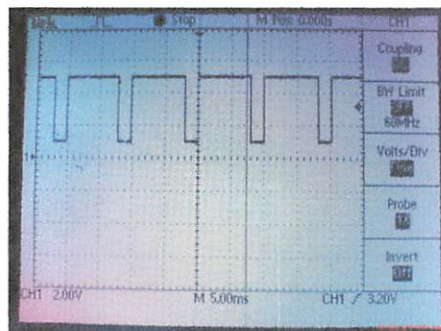
Grafik 4-1
Duty cycle 100% pada Rpm 1500



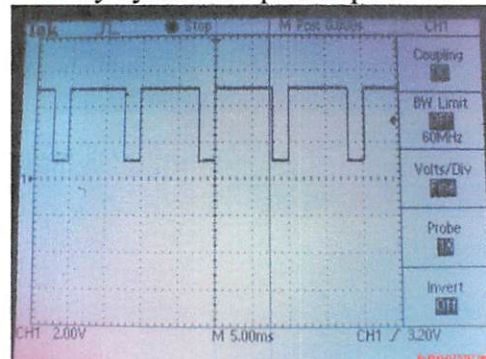
Grafik 4-2
Duty cycle 85% pada Rpm 1400



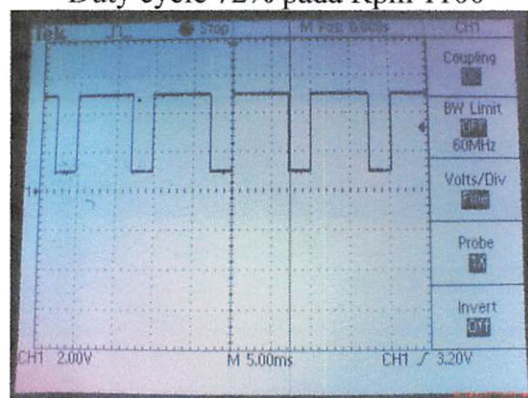
Grafik 4-3
Duty cycle 78% pada Rpm 1300



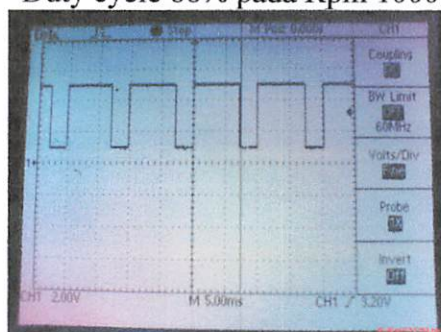
Grafik 4-4
Duty cycle 74% pada Rpm 1200



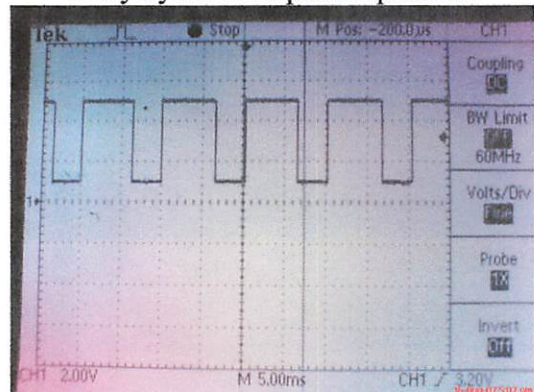
Grafik 4-5
Duty cycle 72% pada Rpm 1100



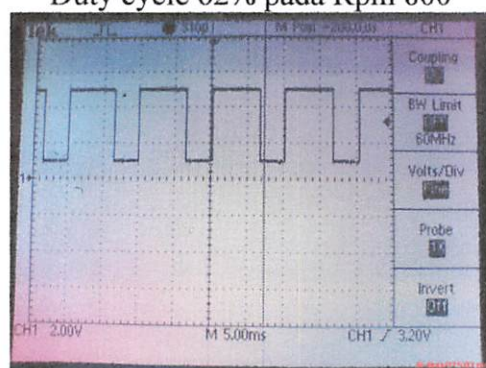
Grafik 4-6
Duty cycle 66% pada Rpm 1000



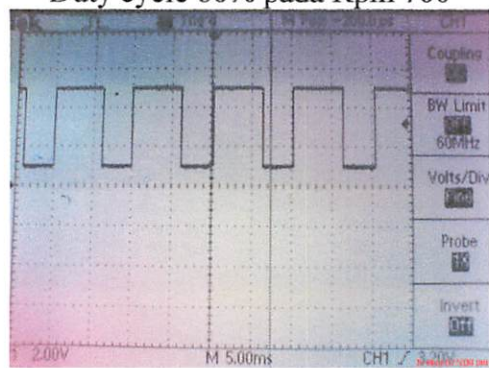
Grafik 4-7
Duty cycle 64% pada Rpm 900



Grafik 4-8
Duty cycle 62% pada Rpm 800



Grafik 4-9
Duty cycle 60% pada Rpm 700



BAB V

KESIMPULAN

Dari hasil perancangan dan pembuatan alat pengendali kecepatan motor DC berbasis logika Fuzzy dengan menggunakan mikrokontroler :

1. Fuzzy logic controller merupakan suatu system kendali yang jauh lebih mudah penerapannya dibandingkan kendali konvensional,karena tidak perlu mencari model matematis dari system.
2. Hasil pengujian menunjukan bahwa ketika kecepatan diberi setting 100 rpm, kecepatan maximal mencapai 120 dan kecepatan minimum 60 rpm dalam pembebanan perlu dilakukan batasan beban yag diberikan ke motor, karena pada saat overload motor akan lebih lambat untuk mencapai kestabilan. Dari data diatas maka dapat kita simpulkan bahwa sangat perlu dilakukan pengaturan kecepatannya untuk kesetabilan putaran motor tersebut.
3. Mempunyai waktu yang ditempuh dari mengalami perubahan ke set point yang telah ditentukan 2,5 detik.

the first time in the history of the world, the people of the United States have been compelled to go to war with their own government.

The cause of the rebellion is the same as that which has always been the cause of all revolutions - the desire of a portion of the people to rule over the rest.

The rebellion is a rebellion against the law of God, and against the principles of justice and right.

The rebellion is a rebellion against the principles of freedom and equality.

The rebellion is a rebellion against the principles of truth and honesty.

The rebellion is a rebellion against the principles of love and compassion.

The rebellion is a rebellion against the principles of justice and right.

The rebellion is a rebellion against the principles of freedom and equality.

The rebellion is a rebellion against the principles of truth and honesty.

The rebellion is a rebellion against the principles of love and compassion.

The rebellion is a rebellion against the principles of justice and right.

The rebellion is a rebellion against the principles of freedom and equality.

The rebellion is a rebellion against the principles of truth and honesty.

The rebellion is a rebellion against the principles of love and compassion.

The rebellion is a rebellion against the principles of justice and right.

The rebellion is a rebellion against the principles of freedom and equality.

The rebellion is a rebellion against the principles of truth and honesty.

The rebellion is a rebellion against the principles of love and compassion.

The rebellion is a rebellion against the principles of justice and right.

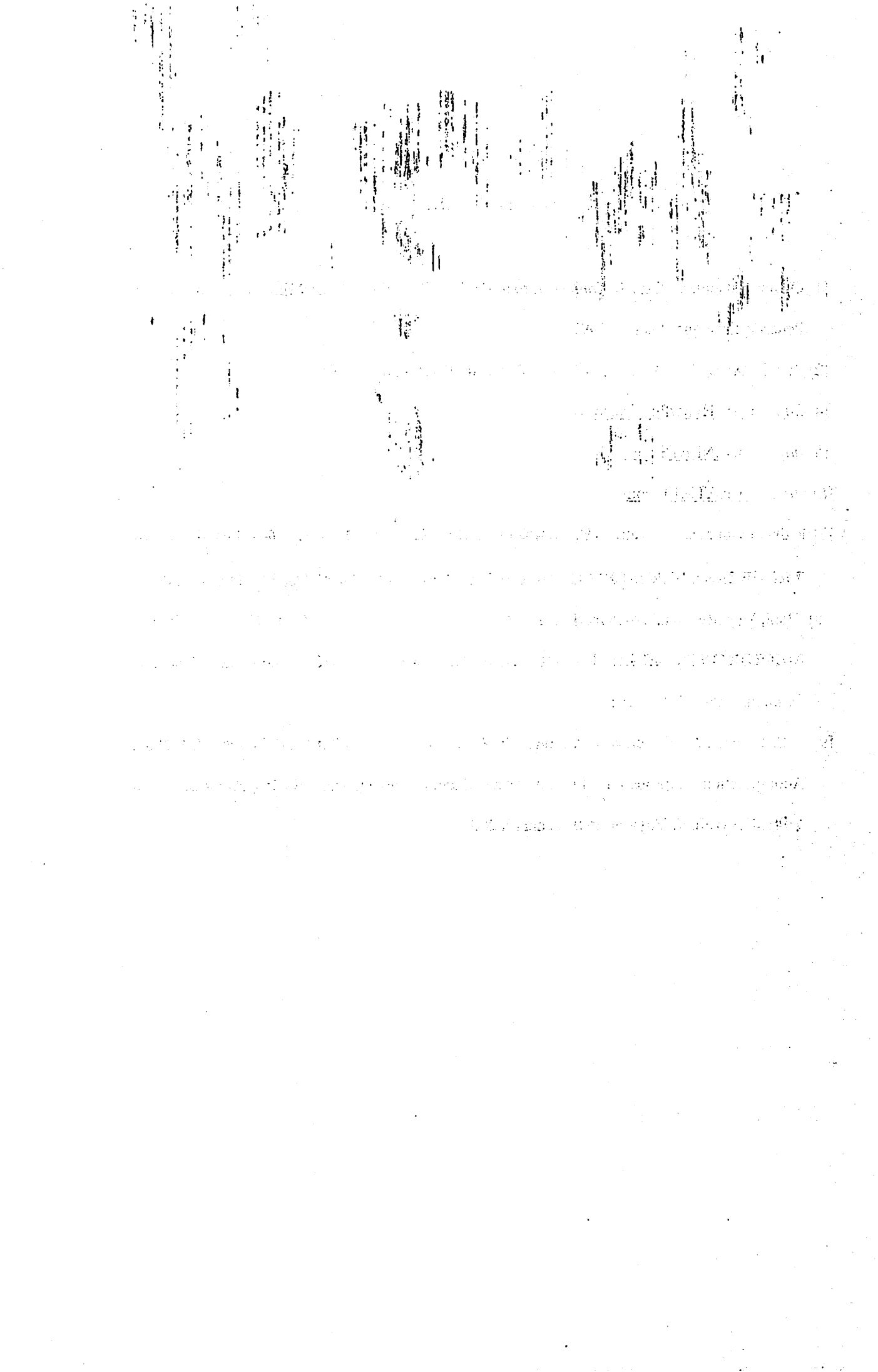
The rebellion is a rebellion against the principles of freedom and equality.

The rebellion is a rebellion against the principles of truth and honesty.

The rebellion is a rebellion against the principles of love and compassion.

DAFTAR PUSTAKA

- [1] Ogata, Katsuhiko, “*Teknik Kontrol Automatik Jilid 1*”, University Of Minnesota, Edisi kedua, Penerbit Erlangga, Jakarta, 1997.
- [2] Zuhal,”*Dasar Teknik Tenaga Listrik*”, Penerbit ITB Bandung, 1991.
- [4] <http://www.HyperPhysics.com>
- [5] <http://www.NEETS.com>
- [6] <http://www.ATMEL.com>
- [7] Ridwan Gunawan & Taufan H,” **KENDALI KECEPATAN PUTAR MOTOR INDUKSI TIGA-PHASA BERBASIS LOGIKA FUZZY DENGAN MK AT89C51**,” ITS IES 2004.
- [8] Hani,Agus,Resman,”**IMPLEMENTASI FUZZY LOGIC PADA MIKROKONTROLLER UNTUK KENDALI MOTOR DC**,” Industrial Elektrinic Seminar 1999(SSTE 1999).
- [9] J. S. R. Jang, C. T. Sun & E Mizutami,” **NEURO FUZZY AND SOFT COMPUTING**”. Acomputational Aprouch To Learning And Machine Intelegence. **erfacing Komputer dan Mikrokontroler**”, Yayasan PUIL, Jakarta 2004.





LAMPIRAN



INSTITUT TEKNOLOGI NASIONAL MALANG
FAKULTAS TEKNOLOGI INDUSTRI
JURUSAN TEKNIK ELEKTRO

PERSETUJUAN PERBAIKAN SKRIPSI

Dari hasil ujian skripsi Jurusan Teknik Elektro jenjang strata satu (S-1) yang diselenggarakan pada :

Hari : Senin
Tanggal : 03 September 2007
Telah dilakukan perbaikan skripsi oleh :

1. Nama : Tulus Junaedhi
2. NIM : 01.12.123
3. Jurusan : Teknik Elektro
4. Konsentrasi : Teknik Energi Listrik
5. Judul Skripsi : Perencanaan dan Pembuatan Alat Pengendali Motor DC Berbasis Fuzzy Logic dengan Menggunakan MK AT89S51 Tampilan LCD.

Perbaikan meliputi :

No	Materi Perbaikan	Ket
1.	Abstraksi dibetulkan	b
2.	Latar belakang	o
3.	Rumusan masalah dibetulkan	x
4.	Keterangan gambar 1 spasi	x
5	Kesimpulan diganti	x
6	Cara perhitungan, Hitung diameter putaran	x

Anggota Penguji
Penguji Pertama

Bambang Prio Hartono, ST, MT

Dosen Pembimbing I

Ir. Widodo Puji M., MT

Dosen Pembimbing II

I Komang Sompawirata, ST, MT



INSTITUT TEKNOLOGI NASIONAL MALANG
FAKULTAS TEKNOLOGI INDUSTRI
JURUSAN TEKNIK ELEKTRO

PERSETUJUAN PERBAIKAN SKRIPSI

Dari hasil ujian skripsi Jurusan Teknik Elektro jenjang strata satu (S-1) yang diselenggarakan pada :

Hari : Senin
Tanggal : 03 September 2007
Telah dilakukan perbaikan skripsi oleh :

1. Nama : Tulus Junaedhi
2. NIM : 01.12.123
3. Jurusan : Teknik Elektro
4. Konsentrasi : Teknik Energi Listrik
5. Judul Skripsi : Perencanaan Pembuatan Alat Pengendali Motor DC Berbasis Fuzzy Logic Dengan Menggunakan MK AT89S51 Dengan Tampilan LCD.

Perbaikan meliputi :

No	Materi Perbaikan	Ket
1.	Kesimpulan.	
2.	Hasil penulisan uji peralatan.	
3.	Tabel 4.3 set point tentukan, Tegangan diukur dengan voltmeter.	
4.	Tabel 4.2 cara mengukur.	

Anggota Penguji
Penguji Kedua

Ir. Taufik Hidayat, MT

Dosen Pembimbing I

Ir. Widodo Pujdi M., MT

Dosen Pembimbing II

I Komang Samawirata, ST., MT



INSTITUT TEKNOLOGI NASIONAL MALANG
FAKULTAS TEKNOLOGI INDUSTRI
JURUSAN TEKNIK ELEKTRO S-1
KONSENTRASI TEKNIK ENERGI LISTRIK

BERITA ACARA UJIAN SKRIPSI
FAKULTAS TEKNOLOGI INDUSTRI

1. Nama : Tulus Junaedhi
2. NIM : 01.12.123
3. Jurusan : Teknik Elektro S-1
4. Konsentrasi : Teknik Energi Listrik
5. Judul Skripsi : PERENCANAAN DAN PEMBUATAN ALAT
KONTROL MOTOR DC BERBASIS FUZZY LOGIC
DENGAN MENGGUNAKAN MIKROCONTROLLER
AT89S51 DENGAN TAMPILAN LCD

Dipertahankan dihadapan Majelis Penguji Skripsi Jenjang Strata Satu (S-1) pada :

Hari : Senin
Tanggal : 3 September 2007
Dengan Nilai : 70,15 (B) *say*

Panitia Ujian Skripsi



Ir. Mochtar Asroni, MSME
Ketua

Ir. F. Yudi Limpapratono, MT
Sekretaris

Anggota Penguji

[Signature]

Bambang Prio Hartono, ST, MT
Penguji Pertama

[Signature]

Ir. Taufik Hidayat, MT
Penguji Kedua



FORMULIR BIMBINGAN SKRIPSI

Nama : TULUS JUNAEDHI
Nim : 01.12.123
Masa Bimbingan : 18 Juni 2007 sd 18 November 2007
Judul : PERENCANAAN PEMBUATAN ALAT PENGENDALI KECEPATAN MOTOR DC BERBASIS FUZZY LOGIC DENGAN MENGGUNAKAN MIKROKONTROLLER AT89S51 DENGAN TAMPILAN LCD

NO	Tanggal	Uraian	Paraf Pembimbing
1	20/07	konsultasi makalah/proposal	D
2	2/08	Bab I dan II	t
3	6/08	Bab III	t
4	7/08	refisi bab III	b
5	13/08	Teori kurang di bab III	t
6	28/08	Bab IV	t
7	31/08	Acc Skripsi	t
8			
9			
10			

Malang,

2007

Dosen Pembimbing,

Ir. WIDODO PURJI M. MT
NIP. Y. 102 870 0171



Institut Teknologi Nasional Malang
Fakultas Teknologi Industri
Jurusan Teknik Elektro

FORMULIR BIMBINGAN SKRIPSI

Nama : TULUS JUNAEDHI
Nim : 01.12.123
Masa Bimbingan : 18 Juni 2007 sd 18 November 2007
Judul : PERENCANAAN PEMBUATAN ALAT PENGENDALI KECEPATAN MOTOR DC BERBASIS FUZZY LOGIC DENGAN MENGGUNAKAN MIKROKONTROLLER AT89S51 DENGAN TAMPILAN LCD

NO	Tanggal	Uraian	Paraf Pembimbing
1	22/07	Kesi setasi available/poperat	JF
2	4/08	Bab. I & II	JF
3	10/08	Bab III & Bab IV	JF
4	24/08	Ace Skripsi	JF
5			
6			
7			
8			
9			
10			

Malang, 2007

Dosen Pembimbing,

I KOMANG SOMAWIRATA ST, MT
NIP. P. 103 010 0361

pwm

```
;-----  
; File Created by SDCC : free open source ANSI-C Compiler  
; Version 2.7.0 #4818 (May 31 2007)  
; This file generated Wed Aug 08 02:17:36 2007  
;  
.module pwm  
.optsdcc -mmcs51 --model-small  
  
;  
; Public variables in this module  
;  
.globl _main  
.globl _set_pwm  
.globl _hitung_pwm_awal  
.globl _cetak_label  
.globl _delay  
.globl _timer_init  
.globl _timer_interrupt  
.globl _CY  
.globl _AC  
.globl _F0  
.globl _RS1  
.globl _RS0  
.globl _OV  
.globl _FL  
.globl _P  
.globl _PS  
.globl _PT1  
.globl _PX1  
.globl _PT0  
.globl _PX0  
.globl _RD  
.globl _WR  
.globl _T1  
.globl _T0  
.globl _INT1  
.globl _INT0  
.globl _TXD  
.globl _RXD  
.globl _P3_7  
.globl _P3_6  
.globl _P3_5  
.globl _P3_4  
.globl _P3_3  
.globl _P3_2  
.globl _P3_1  
.globl _P3_0  
.globl _EA  
.globl _ES  
.globl _ET1  
.globl _EX1  
.globl _ET0
```

pwm

.g1obj
_EX0
_P2_7
_P2_6
_P2_5
_P2_4
_P2_3
_P2_2
_P2_1
_P2_0
_SM0
_SM1
_SM2
_REN
_TB8
_RB8
_TT
_RI
_P1_7
_P1_6
_P1_5
_P1_4
_P1_3
_P1_2
_P1_1
_P1_0
_TF1
_TR1
_TF0
_TR0
_IE1
_IT1
_IE0
_IT0
_PO_7
_PO_6
_PO_5
_PO_4
_PO_3
_PO_2
_PO_1
_PO_0
_B
_A
_ACC
_PSW
_IP3
_IP
_IE
_P2
_SBUF
_SCON
_P1

pwm

```
.globl _TH1
.globl _TH0
.globl _TL1
.globl _TL0
.globl _TMOD
.globl _TCON
.globl _PCON
.globl _DPH
.globl _DPL
.globl _SP
.globl _PO
.globl _rpm_is_update
.globl _rpm_opto_old
.globl _rpm_div
.globl _rpm_value
.globl _rpm_counter
.globl _pwm_value
.globl _pwm_step
```

special function registers

```
.area RSEG (DATA)
.PO    = 0x0080
.SP    = 0x0081
.DPL   = 0x0082
.DPH   = 0x0083
.PCON  = 0x0087
.TCON  = 0x0088
.TMOD  = 0x0089
.TL0   = 0x008a
.TL1   = 0x008b
.TH0   = 0x008c
.TH1   = 0x008d
.P1    = 0x0090
.SCON  = 0x0098
.SBUF  = 0x0099
.P2    = 0x00a0
.IE    = 0x00a8
.P3    = 0x00b0
.IP    = 0x00b8
.PSW   = 0x00d0
.ACC   = 0x00e0
.JA    = 0x00e0
.JB    = 0x00f0
```

special function bits

```
.area RSEG (DATA)
.P0_0  = 0x0080
.P0_1  = 0x0081
.P0_2  = 0x0082
.P0_3  = 0x0083
```

pwm

_P0_4	=	0x0084
_P0_5	=	0x0085
_P0_6	=	0x0086
_P0_7	=	0x0087
_IT0	=	0x0088
_IE0	=	0x0089
_IT1	=	0x008a
_IE1	=	0x008b
_TR0	=	0x008c
_TF0	=	0x008d
_TR1	=	0x008e
_TF1	=	0x008f
_P1_0	=	0x0090
_P1_1	=	0x0091
_P1_2	=	0x0092
_P1_3	=	0x0093
_P1_4	=	0x0094
_P1_5	=	0x0095
_P1_6	=	0x0096
_P1_7	=	0x0097
_RI	=	0x0098
_TI	=	0x0099
_RB8	=	0x009a
_TB8	=	0x009b
_REN	=	0x009c
_SM2	=	0x009d
_SM1	=	0x009e
_SM0	=	0x009f
_P2_0	=	0x00a0
_P2_1	=	0x00a1
_P2_2	=	0x00a2
_P2_3	=	0x00a3
_P2_4	=	0x00a4
_P2_5	=	0x00a5
_P2_6	=	0x00a6
_P2_7	=	0x00a7
_EX0	=	0x00a8
_ET0	=	0x00a9
_EX1	=	0x00aa
_ET1	=	0x00ab
_ES	=	0x00ac
_EA	=	0x00af
_P3_0	=	0x00b0
_P3_1	=	0x00b1
_P3_2	=	0x00b2
_P3_3	=	0x00b3
_P3_4	=	0x00b4
_P3_5	=	0x00b5
_P3_6	=	0x00b6
_P3_7	=	0x00b7
_RXD	=	0x00b0
_TXD	=	0x00b1

PWM

INT0 = 0x00b2
T1 = 0x00b5
T0 = 0x00b4
WR = 0x00b6
RD = 0x00b7
Pxo = 0x00b8
PT0 = 0x00b9
Pxi1 = 0x00ba
PT1 = 0x00bb
PS = 0x00bc
P = 0x00d0
F1 = 0x00d1
OV = 0x00d2
RS0 = 0x00d3
RS1 = 0x00d4
CY = 0x00d7
AC = 0x00d6
FO = 0x00d5
RS1 = 0x00d3
AC = 0x00d4
F1 = 0x00d1
OV = 0x00d2
RS0 = 0x00d0
P = 0x00d1
F1 = 0x00d0
OV = 0x00d1
RS1 = 0x00d2
CY = 0x00d3
AC = 0x00d4
FO = 0x00d5
RS1 = 0x00d6
area REG_BANK_0 (REL,OVR,DATA) .ds 8
overlays register banks
internal ram data
area DSIG (DATA) .ds 1
overlays items in internal ram
area OSIG (OVR,DATA) .ds 1
overlays in internal ram
area SSIG (DATA) .ds 1
stack segment in internal ram
start_stack: 1
Page 5
indirectly addressable internal ram data

```

;-----[ pwm ]-----[ ]
;-----[ ISEG (DATA) ]-----[ ]
; absolute internal ram data
;-----[ IABS (ABS,DATA) ]-----[ ]
;-----[ IABS (ABS,DATA) ]-----[ ]
;-----[ bit data ]-----[ ]
;-----[ BSEG (BIT) ]-----[ ]
_rpm_opto_old:: .ds 1
_rpm_is_update:: .ds 1
;-----[ paged external ram data ]-----[ ]
;-----[ PSEG (PAG,XDATA) ]-----[ ]
;-----[ external ram data ]-----[ ]
;-----[ XSEG (XDATA) ]-----[ ]
;-----[ absolute external ram data ]-----[ ]
;-----[ XABS (ABS,XDATA) ]-----[ ]
;-----[ external initialized ram data ]-----[ ]
;-----[ XISEG (XDATA) ]-----[ ]
;-----[ HOME (CODE) ]-----[ ]
;-----[ GSINIT0 (CODE) ]-----[ ]
;-----[ GSINIT1 (CODE) ]-----[ ]
;-----[ GSINIT2 (CODE) ]-----[ ]
;-----[ GSINIT3 (CODE) ]-----[ ]
;-----[ GSINIT4 (CODE) ]-----[ ]
;-----[ GSINIT5 (CODE) ]-----[ ]
;-----[ GSINIT (CODE) ]-----[ ]
;-----[ GSFINAL (CODE) ]-----[ ]
;-----[ CSEG (CODE) ]-----[ ]
;-----[ interrupt vector ]-----[ ]
;-----[ HOME (CODE) ]-----[ ]
__interrupt_vect: ljmp __sdcc_gsinit_startup
reti
.ds 7
ljmp _timer_interrupt
;-----[ global & static initialisations ]-----[ ]

```

pwm

```
;-----  
;-----  
.area HOME      (CODE)  
.area GSINIT    (CODE)  
.area GSFFINAL (CODE)  
.area GSINIT    (CODE)  
.globl __sdcc_gsinit_startup  
.globl __sdcc_program_startup  
.globl __start_stack  
.globl __mcs51_genXINIT  
.globl __mcs51_genXRAMCLEAR  
.globl __mcs51_genRAMCLEAR  
;  
pwm.c:9: volatile unsigned char pwm_step = 100, pwm_value =  
0;  
        mov     _pwm_step,#0x64  
;  
pwm.c:9: }  
  
        mov     _pwm_value,#0x00  
;  
pwm.c:10: volatile unsigned char rpm_counter = 0, rpm_value =  
0, rpm_div = 50;  
        mov     _rpm_counter,#0x00  
;  
pwm.c:10: }  
  
        mov     _rpm_value,#0x00  
;  
pwm.c:10: volatile unsigned char rpm_counter = 0, rpm_value =  
0, rpm_div = 50;  
        mov     _rpm_div,#0x32  
.area GSFFINAL (CODE)  
1jmp    __sdcc_program_startup  
;  
;  
; Home  
;  
;  
.area HOME      (CODE)  
.area HOME      (CODE)  
__sdcc_program_startup:  
    lcall   _main  
;  
    return from main will lock up  
    sjmp .  
;  
;  
; code  
;  
;  
.area CSEG      (CODE)  
;  
;  
;Allocation info for local variables in function 'timer_interrupt'  
;  
;  
;  
pwm.c:13: void timer_interrupt() __interrupt (1) {  
;  
    function timer_interrupt  
;  
;  
_timer_interrupt:  
    ar2 = 0x02  
    ar3 = 0x03
```

pwm

```
ar4 = 0x04
ar5 = 0x05
ar6 = 0x06
ar7 = 0x07
ar0 = 0x00
ar1 = 0x01
push    acc
push    ar2
push    psw
mov     psw,#0x00
;
pwm.c:14: if (!pwm_step--) {
    mov    r2,_pwm_step
    dec    _pwm_step
    mov    a,r2
    jnz   00104$ 
;
pwm.c:15: if (!rpm_div--) {
    mov    r2,_rpm_div
    dec    _rpm_div
    mov    a,r2
;
pwm.c:16: rpm_value = rpm_counter;
pwm.c:17: rpm_counter = 0;
    jnz   00102$ 
    mov    _rpm_value,_rpm_counter
    mov    _rpm_counter,a
;
pwm.c:18: rpm_div = 50;
    mov    _rpm_div,#0x32
;
pwm.c:19: rpm_is_update = 1;
    setb  _rpm_is_update
00102$:
;
pwm.c:21: pwm_step = 100;
    mov    _pwm_step,#0x64
;
pwm.c:22: PWM_OUT_PIN = 0;
    clr    _P3_2
00104$:
;
pwm.c:25: if (RPM_OPTO_PIN != rpm_opto_old) {
    mov    c,_P3_1
    jb    _rpm_opto_old,00117$ 
    cp1   c
00117$:
    jc    00106$ 
;
pwm.c:26: rpm_counter++;
    inc    _rpm_counter
;
pwm.c:27: rpm_opto_old = RPM_OPTO_PIN;
    mov    c,_P3_1
    mov    _rpm_opto_old,c
00106$:
;
pwm.c:30: if (pwm_step == pwm_value)
    mov    a,_pwm_value
    cjne  a,_pwm_step,00109$ 
;
pwm.c:31: PWM_OUT_PIN = 1;
    setb  _P3_2
00109$:
```

```
pwm
pop    psw
pop    ar2
pop    acc
reti   eliminated unneeded push/pop dp]
      eliminated unneeded push/pop dph
      eliminated unneeded push/pop b

; Allocation info for local variables in function 'timer_init'

pwm.c:35: void timer_init() {
    function timer_init
    ;_timer_init:
    ;    pwm.c:36: TH0 = 256-100;
    ;        mov    TH0,#0x9C
    ;    pwm.c:37: TMOD = 0x02;
    ;        mov    TMOD,#0x02
    ;    pwm.c:38: ET0 = 1;
    ;        setb   ET0
    ;    pwm.c:39: EA = 1;
    ;        setb   EA
    ;    pwm.c:40: TR0 = 1;
    ;        setb   _TR0
    ;    ret

; Allocation info for local variables in function 'delay'
; i
;     Allocated to registers r2 r3
; i
;     pwm.c:43: void delay(unsigned int i) {
;         function delay
;         ;_delay:
;             mov    r2,dpl
;             mov    r3,dph
;             pwm.c:44: while (i--)
;                 00101$:
;                     mov    ar4,r2
;                     mov    ar5,r3
;                     dec    r2
;                     cjne  r2,#0xffff,00109$
;                     dec    r3
;                 00109$:
;                     mov    a,r4
;                     or1   a,r5
;                     jz    00104$
;                     ;     pwm.c:45: lcd_delay_long();
;                     push   ar2
```

```

        pwm
push    ar3
lcall   _lcd_delay_long
pop     ar3
pop     ar2
sjmp   00101$  

00104$: ret
;-----  

;Allocation info for local variables in function 'cetak_label'  

;-----  

;  

;      pwm.c:48: vcid_cetak_label() {  

;          function_cetak_label  

;  

_cetak_label:  

;          pwm.c:49: lcd_clear();  

lcall   _lcd_clear
;          pwm.c:50: printf_fast("Kontrol Kec.");
mov    a,#_str_0
push   acc
mov    a, #(_str_0 >> 8)
push   acc
lcall   _printf_fast
dec    sp
dec    sp
;          pwm.c:51: lcd_goto(0x40);
mov    dpl, #0x40
lcall   _lcd_goto
;          pwm.c:52: printf_fast("Motor DC");
mov    a,#_str_1
push   acc
mov    a, #(_str_1 >> 8)
push   acc
lcall   _printf_fast
dec    sp
dec    sp
;          pwm.c:53: delay(3);
mov    dptr, #0x0003
lcall   _delay
;          pwm.c:54: lcd_clear();
lcall   _lcd_clear
;          pwm.c:55: printf_fast("TULUS JUNAIDHY");
mov    a,#_str_2
push   acc
mov    a, #(_str_2 >> 8)
push   acc
lcall   _printf_fast
dec    sp
dec    sp
;          pwm.c:56: lcd_goto(0x40);
mov    dpl, #0x40

```



```

        pwm

_set_pwm:
    mov      r2,dp1
;    pwm.c:70: int temp = pwm_value;
    mov      r3,_pwm_value
    mov      r4,#0x00
;    pwm.c:71: temp += delta;
    mov      a,r2
    rlc      a
    subb    a,acc
    mov      r5,a
    mov      a,r2
    add     a,r3
    mov      r3,a
    mov      a,r5
    addc    a,r4
;    pwm.c:72: if (temp<0)
    mov      r4,a
    jnb    acc.7,00102$
;    pwm.c:73: temp = 0;
    mov      r3,#0x00
    mov      r4,#0x00
00102$:
;    pwm.c:74: if (temp>100)
    clr      c
    mov      a,#0x64
    subb    a,r3
    mov      a,(0x00 ^ 0x80)
    mov      b,r4
    xrl      b,#0x80
    subb    a,b
    jnc    00104$
;    pwm.c:75: temp = 100;
    mov      r3,#0x64
    mov      r4,#0x00
00104$:
;    pwm.c:76: pwm_value = temp;
    mov      _pwm_value,r3
    ret

;-----  

;Allocation info for local variables in function 'main'  

;-----  

;rpm           Allocated to registers r2
;rpm_target    Allocated to registers r4
;rpm_input     Allocated to registers r2 r3
;-----  

;pwm.c:79: void main() {  

;-----  

;    function main  

;-----  

_main:  

;    pwm.c:81: int rpm_input = -1;
    mov      r2,#0xFF

```

```

;                                     pwm
    mov      r3,#0xFF
; pwm.c:83: timer_init();
    push     ar2
    push     ar3
    lcall   _timer_init
; pwm.c:84: lcd_init();
    lcall   _lcd_init
; pwm.c:85: cetak_label();
    lcall   _cetak_label
    pop      ar3
    pop      ar2
; pwm.c:87: while (rpm_input < 0) {
00101$:
    mov      a,r3
    jnb    acc.7,00103$
; pwm.c:88: lcd_goto(0x40);
    mov      dp1,#0x40
    lcall   _lcd_goto
; pwm.c:89: printf_fast("      ");
    mov      a,#_str_5
    push    acc
    mov      a,#__str_5 >> 8
    push    acc
    lcall   _printf_fast
    dec      sp
    dec      sp
; pwm.c:90: lcd_goto(0x40);
    mov      dp1,#0x40
    lcall   _lcd_goto
; pwm.c:91: rpm_input = getInt();
    lcall   _getInt
    mov      r2,dp1
    mov      r3,dph
    sjmp   00101$

00103$:
; pwm.c:94: lcd_clear();
    push    ar2
    push    ar3
    lcall   _lcd_clear
    pop      ar3
    pop      ar2
; pwm.c:95: rpm_target = (char)(rpm_input / 30);
    mov      __divsint_PARM_2,#0x1E
    clr      a
    mov      (__divsint_PARM_2 + 1),a
    mov      dp1,r2
    mov      dph,r3
    push    ar2
    push    ar3
    lcall   __divsint
    mov      r4,dp1
    pop      ar3

```

```

;                                pwm
pop      ar2
pwm.c:96: printf_fast("Seting %drpm",rpm_input);
push      ar4
push      ar2
push      ar3
mov       a,#__str_6
push      acc
mov       a,#__str_6 >> 8
push      acc
lcall    _printf_fast
mov       a,sp
add       a,#0xfc
mov       sp,a
pop       ar4
;
pwm.c:98: pwm_value = 50;
mov       _pwm_value,#0x32
;
pwm.c:99: while(1) {
00107$:
;
pwm.c:100: if (rpm_is_update) {
jnb      _rpm_is_update,00107$
;
pwm.c:101: rpm = rpm_value;
mov      r2,_rpm_value
;
pwm.c:102: rpm_is_update = 0;
clr      _rpm_is_update
;
pwm.c:103: set_pwm((rpm_target - rpm) / 2);
mov      a,r4
mov      r3,a
r1c      a
subb    a,acc
mov      r5,a
mov      a,r2
mov      r6,a
r1c      a
subb    a,acc
mov      r7,a
mov      a,r3
clr      c
subb    a,r6
mov      dp1,a
mov      a,r5
subb    a,r7
mov      dph,a
mov      __divsint_PARM_2,#0x02
clr      a
mov      (__divsint_PARM_2 + 1),a
push    ar2
push    ar4
lcall    __divsint
lcall    __set_pwm
pwm.c:104: lcd_goto(0x40);
mov      dp1,#0x40
lcall    _lcd_goto
;
```

```

        pwm
pop      ar4
pop      ar2
;      pwm.c:105: printf_fast("Nilai %drpm    ", rpm * 30);
clr      F0
mov      b,#0x1e
mov      a,r2
jnb      acc.7,00117$
cpl      F0
cpl      a
inc      a
00117$:
mul      ab
jnb      F0,00118$
cpl      a
add      a,#1
xch      a,b
cpl      a
addc     a,#0
xch      a,b
00118$:
mov      r2,a
mov      r3,b
push     ar4
push     ar2
push     ar3
mov      a,#__str_7
push     acc
mov      a,#__str_7 >> 8
push     acc
lcall   _printf_fast
mov      a,sp
add      a,#0xfc
mov      sp,a
pop      ar4
ljmp   00107$
.area  CSEG    (CODE)
.area  CONST    (CODE)
__str_0:
.ascii "Kontrol Kec."
.db 0x00
__str_1:
.ascii "Motor DC"
.db 0x00
__str_2:
.ascii "TULUS JUNAIDHY"
.db 0x00
__str_3:
.ascii "01 12 123"
.db 0x00
__str_4:
.ascii "Seting Kec."
.db 0x00

```

```
pwm
__str_5:
    .ascii ""
    .db 0x00
__str_6:
    .ascii "Seting %drpm"
    .db 0x00
__str_7:
    .ascii "Nilai %drpm    "
    .db 0x00
    .area XINIT    (CODE)
    .area CABS     (ABS,CODE)
```

1cd

File Created by SDCC : free open source ANSI-C Compiler
version 2.7.0 #4818 (May 31 2007)
This file generated Wed Aug 08 02:17:36 2007

```
.module lcd
.optsdcc -mmcs51 --model-small
```

Public variables in this module

```
.globl _lcd_instr
.globl _CY
.globl _AC
.globl _FO
.globl _RS1
.globl _RS0
.globl _OV
.globl _FL
.globl _P
.globl _PS
.globl _PT1
.globl _PX1
.globl _PT0
.globl _PX0
.globl _RD
.globl _WR
.globl _T1
.globl _TO
.globl _INT1
.globl _INT0
.globl _TXD
.globl _RXD
.globl _P3_7
.globl _P3_6
.globl _P3_5
.globl _P3_4
.globl _P3_3
.globl _P3_2
.globl _P3_1
.globl _P3_0
.globl _EA
.globl _ES
.globl _ET1
.globl _EX1
.globl _ET0
.globl _EX0
.globl _P2_7
.globl _P2_6
.globl _P2_5
.globl _P2_4
.globl _P2_3
.globl _P2_2
.globl _P2_1
.globl _P2_0
.globl _SM0
.globl _SM1
.globl _SM2
.globl _REN
.globl _TB8
.globl _RB8
.globl _TI
```

1cd

```
.g1obj -RI
.g1obj -PL7
.g1obj -PL6
.g1obj -PL5
.g1obj -PL4
.g1obj -PL3
.g1obj -PL2
.g1obj -PL1
.g1obj -P1_0
.g1obj -TF1
.g1obj -TR1
.g1obj -IE1
.g1obj -IT1
.g1obj -IE0
.g1obj -PO_7
.g1obj -PO_6
.g1obj -PO_5
.g1obj -PO_4
.g1obj -PO_3
.g1obj -PO_2
.g1obj -PO_1
.g1obj -PO_0
.g1obj -B
.g1obj -A
.g1obj -ACC
.g1obj -PSW
.g1obj -IP
.g1obj -P3
.g1obj -IE
.g1obj -P2
.g1obj -SBUF
.g1obj -SCON
.g1obj -P1
.g1obj -TH1
.g1obj -TH0
.g1obj -TL1
.g1obj -TLO
.g1obj -TMOD
.g1obj -TCON
.g1obj -PCON
.g1obj -DPH
.g1obj -DPL
.g1obj -SP
.g1obj -PO
.g1obj -lcd_delay
.g1obj -lcd_delay_long
.g1obj -lcd_goto
.g1obj -lcd_cursor_on
.g1obj -lcd_cursor_off
.g1obj -lcd_clear
.g1obj -lcd_init
.g1obj _putchar

; special function registers
;
.area RSEG (DATA)
._P0 = 0x0080
._SP = 0x0081
._DPL = 0x0082
```

```

_DPH      = 0x0083
_PCON     = 0x0087
_TCON     = 0x0088
_TM0D    = 0x0089
_TL0      = 0x008a
_TL1      = 0x008b
_TH0      = 0x008c
_TH1      = 0x008d
_P1       = 0x0090
_SCON     = 0x0098
_SBUF     = 0x0099
_P2       = 0x00a0
_IE       = 0x00a8
_P3       = 0x00b0
_IP       = 0x00b8
_PSW      = 0x00d0
_ACC      = 0x00e0
_A        = 0x00e0
_B        = 0x00f0
;-----[-----]
; special function bits
;-----[-----]
.area RSEG (DATA)
_P0_0      = 0x0080
_P0_1      = 0x0081
_P0_2      = 0x0082
_P0_3      = 0x0083
_P0_4      = 0x0084
_P0_5      = 0x0085
_P0_6      = 0x0086
_P0_7      = 0x0087
_IT0       = 0x0088
_IEO       = 0x0089
_IT1       = 0x008a
_IE1       = 0x008b
_TR0       = 0x008c
_TFO      = 0x008d
_TR1       = 0x008e
_TF1       = 0x008f
_P1_0      = 0x0090
_P1_1      = 0x0091
_P1_2      = 0x0092
_P1_3      = 0x0093
_P1_4      = 0x0094
_P1_5      = 0x0095
_P1_6      = 0x0096
_P1_7      = 0x0097
_RI        = 0x0098
_TI        = 0x0099
_R88      = 0x009a
_TB8      = 0x009b
_REN      = 0x009c
_SM2      = 0x009d
_SM1      = 0x009e
_SM0      = 0x009f
_P2_0      = 0x00a0
_P2_1      = 0x00a1
_P2_2      = 0x00a2
_P2_3      = 0x00a3
_P2_4      = 0x00a4
_P2_5      = 0x00a5
_P2_6      = 0x00a6

```

lcd

```
P2_7 = 0x00a7  
EX0 = 0x00a8  
ETO = 0x00a9  
EX1 = 0x00aa  
ET1 = 0x00ab  
ES = 0x00ac  
EA = 0x00af  
P3_0 = 0x00b0  
P3_1 = 0x00b1  
P3_2 = 0x00b2  
P3_3 = 0x00b3  
P3_4 = 0x00b4  
P3_5 = 0x00b5  
P3_6 = 0x00b6  
P3_7 = 0x00b7  
RXD = 0x00b0  
TXD = 0x00b1  
INT0 = 0x00b2  
INT1 = 0x00b3  
T0 = 0x00b4  
T1 = 0x00b5  
WR = 0x00b6  
RD = 0x00b7  
PX0 = 0x00b8  
PT0 = 0x00b9  
PX1 = 0x00ba  
PT1 = 0x00bb  
PS = 0x00bc  
P = 0x00d0  
FL = 0x00d1  
OV = 0x00d2  
RS0 = 0x00d3  
RS1 = 0x00d4  
FO = 0x00d5  
AC = 0x00d6  
CY = 0x00d7  
  
; overlayable register banks  
;-----  
.area REG_BANK_0 (REL,OVR,DATA)  
.ds 8  
  
; internal ram data  
;-----  
.area DSEG (DATA)  
  
; overlayable items in internal ram  
;-----  
.area OSEG (OVR,DATA)  
  
; indirectly addressable internal ram data  
;-----  
.area ISEG (DATA)  
  
; absolute internal ram data  
;-----  
.area IABS (ABS,DATA)  
.area IABS (ABS,DATA)  
  
; bit data  
;-----  
.area BSEG (BIT)
```

lcd

```
; paged external ram data
;-----.
;.area PSEG (PAG,XDATA)
;-----.
; external ram data
;-----.
;.area XSEG (XDATA)
;-----.
; absolute external ram data
;-----.
;.area XABS (ABS,XDATA)
;-----.
; external initialized ram data
;-----.
;.area XISEG (XDATA)
;.area HOME (CODE)
;.area GSINIT0 (CODE)
;.area GSINIT1 (CODE)
;.area GSINIT2 (CODE)
;.area GSINIT3 (CODE)
;.area GSINIT4 (CODE)
;.area GSINIT5 (CODE)
;.area GSINIT (CODE)
;.area GSFFINAL (CODE)
;.area CSEG (CODE)
;-----.
; global & static initialisations
;-----.
;.area HOME (CODE)
;.area GSINIT (CODE)
;.area GSFFINAL (CODE)
;.area GSINIT (CODE)
;-----.
; Home
;-----.
;.area HOME (CODE)
;.area HOME (CODE)
;-----.
; code
;-----.
;.area CSEG (CODE)
;-----.
;Allocation info for local variables in function 'lcd_delay'
;-----.
;i Allocated to registers r2
;j Allocated to registers r3
;-----.
1cd.c:4: void lcd_delay(void)
;-----.
function lcd_delay
;-----.
1cd_delay:
    ar2 = 0x02
    ar3 = 0x03
    ar4 = 0x04
    ar5 = 0x05
    ar6 = 0x06
    ar7 = 0x07
    ar0 = 0x00
    ar1 = 0x01
; 1cd.c:7: for (i=0;i<0x10;i++)
;
```

```

    lcd
00104$:    mov      r2,#0x00
00116$:    cjne    r2,#0x10,00116$
00103$:    jnc     00108$          ;lcd.c:8: for (j=0;j<0xFF;j++)
;           mov      r3,#0xFF
00108$:    djnz    r3,00103$      ;lcd.c:7: for (i=0;i<0x10;i++)
;           inc      r2
;           sjmp    00104$          ;ret
;Allocation info for local variables in function 'lcd_delay_long'
;i                         Allocated to registers r2
;lcd.c:11: void lcd_delay_long(void)
;function lcd_delay_long
;_lcd_delay_long:
;    lcd.c:14: for (i=0;i<0x30;i++)
;    mov      r2,#0x30
00103$:    ;    lcd.c:15: lcd_delay();
;    push    ar2
;    lcall   _lcd_delay
;    pop     ar2
;    djnz    r2,00103$          ;lcd.c:14: for (i=0;i<0x30;i++)
;    ret
;Allocation info for local variables in function 'lcd_instr'
;instr        Allocated to registers r2
;lcd.c:18: void lcd_instr(char instr)
;function lcd_instr
;_lcd_instr:
;    mov      r2,dpl
;    lcd.c:20: LCD_PORT_RS = 0;
;    clr     _P2_7
;    lcd.c:21: LCD_PORT_DATA = instr;
;    mov      _P0,r2
;    lcd.c:22: LCD_PORT_EN = 1;
;    setb   _P2_6
;    lcd.c:23: LCD_PORT_EN = 0;
;    clr     _P2_6
;    lcd.c:24: lcd_delay();
;    ljmp   _lcd_delay
;Allocation info for local variables in function 'lcd_goto'
;addr        Allocated to registers r2
;lcd.c:27: void lcd_goto(char addr)
;
```

```

;           function lcd_goto
;-----[-----]
;_lcd_goto:
;     mov      r2,dp1
;     lcd.c:29: lcd_instr(addr | 0x80);
;     mov      a,#0x80
;     orl      a,r2
;     mov      dp1,a
;     ljmp    _lcd_instr
;-----[-----]
;;Allocation info for local variables in function 'lcd_cursor_on'
;-----[-----]
;;     lcd.c:32: void lcd_cursor_on(void)
;-----[-----]
;     function lcd_cursor_on
;-----[-----]
;_lcd_cursor_on:
;     lcd.c:34: lcd_instr(0x0F);
;     mov      dp1,#0x0F
;     ljmp    _lcd_instr
;-----[-----]
;;Allocation info for local variables in function 'lcd_cursor_off'
;-----[-----]
;;     lcd.c:37: void lcd_cursor_off(void)
;-----[-----]
;     function lcd_cursor_off
;-----[-----]
;_lcd_cursor_off:
;     lcd.c:39: lcd_instr(0x0C);
;     mov      dp1,#0x0C
;     ljmp    _lcd_instr
;-----[-----]
;;Allocation info for local variables in function 'lcd_clear'
;-----[-----]
;;     lcd.c:42: void lcd_clear(void)
;-----[-----]
;     function lcd_clear
;-----[-----]
;_lcd_clear:
;     lcd.c:44: lcd_instr(0x01);
;     mov      dp1,#0x01
;     lcall   _lcd_instr
;     lcd.c:45: lcd_instr(0x02);
;     mov      dp1,#0x02
;     lcall   _lcd_instr
;     lcd.c:46: lcd_instr(0x02);
;     mov      dp1,#0x02
;     ljmp    _lcd_instr
;-----[-----]
;;Allocation info for local variables in function 'lcd_init'
;-----[-----]
;;     lcd.c:49: void lcd_init(void)
;-----[-----]
;     function lcd_init
;-----[-----]
;_lcd_init:
;     lcd.c:51: lcd_delay_long();
;     lcall   _lcd_delay_long

```

```

;                                         lcd
;lcd.c:52: lcd_instr(0x3F);
;      mov     dp1,#0x3F
;      lcall  _lcd_instr
;lcd.c:53: lcd_delay_long();
;      lcall  _lcd_delay_long
;lcd.c:54: lcd_instr(0x0D);
;      mov     dp1,#0x0D
;      lcall  _lcd_instr
;lcd.c:55: lcd_delay_long();
;      lcall  _lcd_delay_long
;lcd.c:56: lcd_instr(0x06);
;      mov     dp1,#0x06
;      lcall  _lcd_instr
;lcd.c:57: lcd_delay_long();
;      lcall  _lcd_delay_long
;lcd.c:58: lcd_instr(0x01);
;      mov     dp1,#0x01
;      lcall  _lcd_instr
;lcd.c:59: lcd_delay_long();
;      lcall  _lcd_delay_long
;lcd.c:60: lcd_instr(0x0C);
;      mov     dp1,#0x0C
;      lcall  _lcd_instr
;lcd.c:61: lcd_delay_long();
;      lcall  _lcd_delay_long
;lcd.c:62: lcd_clear();
;      ljmp   _lcd_clear
-----
;Allocation info for local variables in function 'putchar'
-----
;_data          Allocated to registers r2
-----
;lcd.c:65: void putchar(char _data)
;          function putchar
;-----
;_putchar:
;      mov     r2,dp1
;      lcd.c:67: LCD_PORT_RS = 1;
;      setb   _P2_7
;      lcd.c:68: LCD_PORT_DATA = _data;
;      mov     _P0,r2
;      lcd.c:69: LCD_PORT_EN = 1;
;      setb   _P2_6
;      lcd.c:70: LCD_PORT_EN = 0;
;      clr     _P2_6
;      lcd.c:71: lcd_delay();
;      ljmp   _lcd_delay
;.area CSEG    (CODE)
;.area CONST   (CODE)
;.area XINIT   (CODE)
;.area CABS    (ABS,CODE)

```

keypad

```
; File Created by SDCC : free open source ANSI-C Compiler  
; Version 2.7.0 #4818 (May 31 2007)  
; This file generated Wed Aug 08 02:17:35 2007
```

```
.module keypad  
.cptsdcc -mmcs51 --model-small
```

----- Public variables in this module -----

```
.globl _char_table  
.globl _ln2  
.globl _CY  
.globl _AC  
.globl _FO  
.globl _RS1  
.globl _RS0  
.globl _OV  
.globl _FL  
.globl _P  
.globl _PS  
.globl _PT1  
.globl _PX1  
.globl _PT0  
.globl _PX0  
.globl _RD  
.globl _WR  
.globl _T1  
.globl _T0  
.globl _INT1  
.globl _INT0  
.globl _TXD  
.globl _RXD  
.globl _P3_7  
.globl _P3_6  
.globl _P3_5  
.globl _P3_4  
.globl _P3_3  
.globl _P3_2  
.globl _P3_1  
.globl _P3_0  
.globl _EA  
.globl _ES  
.globl _ET1  
.globl _EX1  
.globl _ETO  
.globl _EX0  
.globl _P2_7  
.globl _P2_6  
.globl _P2_5  
.globl _P2_4  
.globl _P2_3  
.globl _P2_2  
.globl _P2_1  
.globl _P2_0  
.globl _SM0  
.globl _SM1  
.globl _SM2  
.globl _REN  
.globl _TB8  
.globl _RB8
```

keypad

```
.globl _TI  
.globl _RI  
.globl _P1_7  
.globl _P1_6  
.globl _P1_5  
.globl _P1_4  
.globl _P1_3  
.globl _P1_2  
.globl _P1_1  
.globl _P1_0  
.globl _TF1  
.globl _TR1  
.globl _TF0  
.globl _TR0  
.globl _IE1  
.globl _IT1  
.globl _IE0  
.globl _IT0  
.globl _PO_7  
.globl _PO_6  
.globl _PO_5  
.globl _PO_4  
.globl _PO_3  
.globl _PO_2  
.globl _PO_1  
.globl _PO_0  
.globl _B  
.globl _A  
.globl _ACC  
.globl _PSW  
.globl _IP  
.globl _P3  
.globl _IE  
.globl _P2  
.globl _SBUF  
.globl _SCON  
.globl _P1  
.globl _TH1  
.globl _TH0  
.globl _TL1  
.globl _TL0  
.globl _TMOD  
.globl _TCON  
.globl _PCON  
.globl _DPH  
.globl _DPL  
.globl _SP  
.globl _PO  
.globl _getchar  
.globl _getint  
;  
-----  
; special function registers  
-----  
.area RSEG (DATA)  
_PO = 0x0080  
_SP = 0x0081  
_DPL = 0x0082  
_DPH = 0x0083  
_PCON = 0x0087  
_TCON = 0x0088  
_TMOD = 0x0089  
_TL0 = 0x008a
```

keypad

```
_TL1      =      0x008b  
_TH0      =      0x008c  
_TH1      =      0x008d  
_P1       =      0x0090  
_SCON    =      0x0098  
_SBUF    =      0x0099  
_P2       =      0x00a0  
_IE       =      0x00a8  
_P3       =      0x00b0  
_IP       =      0x00b8  
_PSW     =      0x00d0  
_ACC     =      0x00e0  
_A        =      0x00ec  
_B        =      0x00f0
```

```
;-----  
; special function bits  
;-----
```

```
.area RSEG (DATA)  
_P0_0      =      0x0080  
_P0_1      =      0x0081  
_P0_2      =      0x0082  
_P0_3      =      0x0083  
_P0_4      =      0x0084  
_P0_5      =      0x0085  
_P0_6      =      0x0086  
_P0_7      =      0x0087  
_IT0       =      0x0088  
_IE0       =      0x0089  
_IT1       =      0x008a  
_IE1       =      0x008b  
_TR0       =      0x008c  
_TF0       =      0x008d  
_TR1       =      0x008e  
_TF1       =      0x008f  
_P1_0      =      0x0090  
_P1_1      =      0x0091  
_P1_2      =      0x0092  
_P1_3      =      0x0093  
_P1_4      =      0x0094  
_P1_5      =      0x0095  
_P1_6      =      0x0096  
_P1_7      =      0x0097  
_RI        =      0x0098  
_TI        =      0x0099  
_RB8       =      0x009a  
_TB8       =      0x009b  
_REN       =      0x009c  
_SM2       =      0x009d  
_SM1       =      0x009e  
_SM0       =      0x009f  
_P2_0      =      0x00a0  
_P2_1      =      0x00a1  
_P2_2      =      0x00a2  
_P2_3      =      0x00a3  
_P2_4      =      0x00a4  
_P2_5      =      0x00a5  
_P2_6      =      0x00a6  
_P2_7      =      0x00a7  
_EX0       =      0x00a8  
_ET0       =      0x00a9  
_EX1       =      0x00aa  
_ET1       =      0x00ab
```

keypad

```
_ES          = 0x00ac
_EA          = 0x00af
_P3_0        = 0x00b0
_P3_1        = 0x00b1
_P3_2        = 0x00b2
_P3_3        = 0x00b3
_P3_4        = 0x00b4
_P3_5        = 0x00b5
_P3_6        = 0x00b6
_P3_7        = 0x00b7
_RXD         = 0x00b0
_TXD         = 0x00b1
_INT0        = 0x00b2
_INT1        = 0x00b3
_TO          = 0x00b4
_T1          = 0x00b5
_MR          = 0x00b6
_RD          = 0x00b7
_PX0         = 0x00b8
_PT0         = 0x00b9
_PX1         = 0x00ba
_PT1         = 0x00bb
_PS          = 0x00bc
_P            = 0x00d0
_FL          = 0x00d1
_OV          = 0x00d2
_RS0         = 0x00d3
_RS1         = 0x00d4
_F0          = 0x00d5
_JAC         = 0x00d6
_CY          = 0x00d7

; overlayable register banks
;-----[.area REG_BANK_0 (REL,CVR,DATA)]-----.
.ds 8

; internal ram data
;-----[.area DSEG (DATA)]-----.
.ds 1

; overlayable items in internal ram
;-----[.area OSEG (OVR,DATA)]-----.
.ds 4

; indirectly addressable internal ram data
;-----[.area ISEG (DATA)]-----.

; absolute internal ram data
;-----[.area IABS (ABS,DATA)
;       .area IABS (ABS,DATA)]-----.

bit data
;-----[.area BSEG (BIT)]-----.
```

```

; paged external ram data                                keypad
----- .area PSEG      (PAG,XDATA)
; external ram data
----- .area XSEG      (XDATA)
; absolute external ram data
----- .area XABS      (ABS,XDATA)
; external initialized ram data
----- .area XISEG     (XDATA)
    .area HOME      (CODE)
    .area GSINIT0   (CODE)
    .area GSINIT1   (CODE)
    .area GSINIT2   (CODE)
    .area GSINIT3   (CODE)
    .area GSINIT4   (CODE)
    .area GSINIT5   (CODE)
    .area GSINIT    (CODE)
    .area GSFINAL   (CODE)
    .area CSEG      (CODE)
; global & static initialisations
----- .area HOME      (CODE)
    .area GSINIT    (CODE)
    .area GSFINAL   (CODE)
    .area GSINIT    (CODE)
; Home
----- .area HOME      (CODE)
    .area HOME      (CODE)
; code
----- .area CSEG      (CODE)
; Allocation info for local variables in function 'ln2'
----- v           Allocated to registers r2
; i           Allocated to registers r3
; keypad.c:10: unsigned char ln2(unsigned char v) {
;           function ln2
; ln2:
;     ar2 = 0x02
;     ar3 = 0x03
;     ar4 = 0x04
;     ar5 = 0x05
;     ar6 = 0x06
;     ar7 = 0x07
;     ar0 = 0x00
;     ar1 = 0x01
;     mov    r2,dpl
; keypad.c:12: while(v) {
;
```

```

        keypad
    mov      r3,#0x00
00101$:  mov      a,r2
;         jz      00103$
;         Keypad.c:13: i++;
;         inc      r3
;         Keypad.c:14: v >>= 1;
    mov      a,r2
    clr      c
    rrc      a
    mov      r2,a
    sjmp   00101$

00103$:  ; Keypad.c:16: return i-1;
    mov      a,r3
    dec      a
    mov      dpl,a
    ret

;-----Allocation info for local variables in function 'getchar'-----
;-----row           Allocated to registers r2
;-----col           Allocated to registers r3
;-----result        Allocated to registers r3
;-----keypad.c:19: char getchar() {
;-----function getchar
;-----_getchar:
;-----keypad.c:20: unsigned char row = 1,col;
;-----mov      r2,#0x01
;-----keypad.c:22: while(1) {
00110$:  ;-----keypad.c:23: KEY_PORT = ~row;
    mov      a,r2
    cpl      a
    mov      _P1,a
;-----keypad.c:24: col = ~(KEY_PORT | 0x0F);
    mov      a,#0x0F
    orl      a,_P1
;-----keypad.c:25: if (col) {
    cpl      a
    mov      r3,a
    jz      00105$
;-----keypad.c:26: col = (col << 4) | (col >> 4);
    mov      a,r3
    swap   a
    mov      r3,a
;-----keypad.c:27: result = char_table[(ln2(row)<<2)+ln2(col)];
    mov      dp1,r2
    push   ar3
    lcall  _ln2
    mov      r4,dp1
    pop    ar3
    mov      a,r4
    add     a,r4
    add     a,acc
    mov      r4,a
    mov      dp1,r3
    push   ar4
    lcall  _ln2

```

```

        keypad
mov    r3,dpl
pop    ar4
mov    a,r3
add    a,r4
mov    dptr,#_char_table
movc   a,@a+dptr
mov    r3,a
;      keypad.c:28: while ((~KEY_PORT & 0xF0));
00101$: mov    r4,_P1
          mov    r5,#0x00
          mov    a,r4
          cpl   a
          mov    r4,a
          mov    a,r5
          cpl   a
          mov    r5,a
          mov    a,r4
          anl   a,#0xF0
          jnz   00101$
;      keypad.c:29: return result;
          mov    dpl,r3
          ret
00105$: ;      keypad.c:31: if (row==8)
          cjne  r2,#0x08,00107$
;      keypad.c:32: row = 1;
          mov    r2,#0x01
          sjmp  00110$
00107$: ;      keypad.c:34: row *= 2;
          mov    a,r2
          add    a,r2
          mov    r2,a
          sjmp  00110$


-----Allocation info for local variables in function 'getint'-----
;buffer           Allocated with name '_getint_buffer_1_1'
;size            Allocated to registers r2
;key             Allocated with name '_getint_key_1_1'
;result          Allocated to registers r3 r4
;-----getint:-----keypad.c:38: int getint() {
;-----function getint-----getint:-----keypad.c:39: char buffer[4], size = 0, key;
          mov    r2,#0x00
;      keypad.c:40: int result = 0;
          mov    r3,#0x00
          mov    r4,#0x00
;      keypad.c:41: do {
          mov    r5,#0x00
00107$: ;      keypad.c:42: key = getchar();
          push   ar2
          push   ar3
          push   ar4
          push   ar5
          lcall  _getchar

```

```

        keypad
mov    r6,dp1
pop    ar5
pop    ar4
pop    ar3
pop    ar2
;      keypad.c:43: if (key == 28)
cjne  r6,#0x1C,00102$ 
;      keypad.c:44: return -1;
mov    dptr,#0xFFFF
ret
00102$:
;      keypad.c:45: if ((key >= '0') && (key <= '9') && (size<4)) {
clr   c
mov   a,r6
xrl  a,#0x80
subb a,#0xb0
jc   00108$
mov   a,#(0x39 ^ 0x80)
mov   b,r6
xrl  b,#0x80
subb a,b
jc   00108$
mov   a,r5
xrl  a,#0x80
subb a,#0x84
jnc  00108$
;      keypad.c:46: buffer[size] = key - '0';
mov   a,r5
add   a,#_getint_buffer_1_1
mov   r0,a
mov   a,r6
add   a,#0xd0
mov   @r0,a
;      keypad.c:47: size++;
inc   r5
mov   ar2,r5
;      keypad.c:48: putchar(key);
mov   dp1,r6
push  ar2
push  ar3
push  ar4
push  ar5
push  ar6
lcall _putchar
pop   ar6
pop   ar5
pop   ar4
pop   ar3
pop   ar2
00108$:
;      keypad.c:50: } while(key != 13);
cjne  r6,#0xD,00107$ 
;      keypad.c:51: for (key=0; key < size; key++)
mov   _getint_key_1_1,#0x00
00110$:
clr   c
mov   a,_getint_key_1_1
xrl  a,#0x80
mov   b,r2
xrl  b,#0x80
subb a,b
jnc  00113$
```

```

;                                         keypad
keypad.c:52: result = result*10 + buffer[key];
push    ar2
mov     __mulint_PARM_2,r3
mov     (__mulint_PARM_2 + 1),r4
mov     dptr,#0x000A
push    ar2
lcall1 __mulint
mov     r6,dpl
mov     r7,dph
pop    ar2
mov     a,__getint_key_1_1
add     a,#__getint_buffer_1_1
mov     r0,a
mov     a,@r0
mov     r5,a
rlc    a
subb   a,acc
mov     r2,a
mov     a,r5
add     a,r6
mov     r3,a
mov     a,r2
addc   a,r7
mov     r4,a
;
keypad.c:51: for (key=0; key < size; key++)
inc    __getint_key_1_1
pop    ar2
sjmp   00110$  

00113$: ; keypad.c:53: return result;
          mov    dpl,r3
          mov    dph,r4
          ret
          .area CSEG    (CODE)
          .area CONST   (CODE)
_char_table:
          .db #0x31
          .db #0x32
          .db #0x33
          .db #0x43
          .db #0x34
          .db #0x35
          .db #0x36
          .db #0x44
          .db #0x37
          .db #0x38
          .db #0x39
          .db #0x45
          .db #0x1C
          .db #0x30
          .db #0x0D
          .db #0x46
          .area XINIT   (CODE)
          .area CABS    (ABS,CODE)

```

program

LISTING PROGRAM FUZZY

```
Unit Unit 1;

interface

uses
  Window, Messages, SysUtils, Variants, Classes, Graphics, Controls, Forms,
  Dialogs, StdCtrls, TeEngine, Series, ExtCntrl, Teeprocs, Chart, ComCtrls;

type
  TForm1 = class(TForm)
    Chart1: TChart;
    Series1 : TLineSeries;
    Edit1: TEdit;
    Edit2: TEdit;
    Edit3: TEdit;
    Button1:TButton;
    Button2:TButton;
    Timer1: TButton;
    Series2: TButton;
    Timer1:TTimer;
    Series2:TLineSeries;
    Updown1: TUpDown;
    GroupBox1TGroupBox;
    Timer2:TTimer;
    Edit4:TEdit;
    Label6:TLabel;
    Edit5:Tedit;
    Label5:TLabel;
    Label4:4 TLabel;
    Label7:TLabel;
    Edit6:TEdit;
    Edit7:TEdit;
    Label8: TLabel;
    CheckBox1: TCheckBox;
    procedure Timer1(sender: TObject);
    procedure Button1(sender: TObject);
    procedure Button2(sender: TObject);
    procedure Updown1Click(sender: TObject; Button:TUDBtnType);
    procedure Timer2Timer(sender: TObject);
    procedure editChange(sender: TObject);
  private
    {Private declaration }
  public
    { public declaration }
  end;

var
  Form1: TForm1;
  frek, rpm, i,T : integer;
  rpm1 : integer;
  rpm2 : array [1..200] of integer;
  sem, sem1 : integer;

implementation
uses unit2;
{$R*.dfm}
function Out32(wAddr:word:bout:byte):byte;stdcall;external 'inpout32.dll';
function np32(wAddr:word):byte;stdcall;externa 'inpout32.dll';

procedure TForm1.Timer1Timer(sender:TObject);
```

program

```
var
dfrek,error,j:integer;
ESN,EN,EZ,EP,ESP : real;
begin
timer1.Enabled:=false;
if rpm=0 then rpm:=100;
//sem2:=rpm1;
//rpm1:=rpm;
if rpm>(frek*60+400)then rpm:=frek*60;
if rpm<=(frek*60-400)then rpm:=frek*60;
rpm1:=rpm;
error:=strtoint(edit1.Text)-rpm;
if error<=-127 then error:=-127;
if error>-64 then
begin
ESN:=1-((error+127)/63);
EN:=((error+127)/63);
EZ:=0;
EP:=0;
ESP:=0;
end
else if error<=0 then
begin
ESN:=0;
EN:=1-((error+64)/64);
EZ:=((error+64)/64);
EP:=0;
ESP:=0;
end
else if error<=64 then
begin
ESN:=0;
EN:=0;
EZ:=1-((error)/64);
EP:=(error)/64;
ESP:=0;
end
else if error<=128 then
begin
ESN:=0;
EN:=0;
EZ:=0;
EP:=1-((error-64)/64);
ESP:=((error-64)/64);
end
else if error>=128 then
begin
ESN:=0;
EN:=0;
EZ:=0;
EP:=0;
ESP:=1;
end;
dfrek:=round(ESN*2+EN*1+EZ*0-EP*1-ESP*2);
frek:=frek-dfrek;
if frek<=29 then frek:=29;
//if frek>=50 then frek:=-50;
T:=round(1000000/(frek*6*23));
out32($378,T);
//rpm :=frek*30;
i:=i+1;
series1.AddXY(i*0.05,rpm,"c1Red");
series2.AddXY(i*0.05,strtoint(edit1.Text),"c1green");
if i<=200 then
begin
form2.ADOTable1.Edit;
form2.ADOTable1.RecNo:=i;
```

```

        program
form2.ADOTable1.FiledByName('No').AsInteger:=1;
form2.ADOTable1.FiledByName('setpoint').AsInteger:=strtoint(edit1.Text);;
form2.ADOTable1.FiledByName('frek').AsInteger:=frek;
form2.ADOTable1.FiledByName('kec').AsInteger:=rpm1;
form2.ADOTable1.FiledByName('ns').AsInteger:=round(rpm/(1-0.06));
form2.ADOTable1.FiledByName('fs').AsInteger:=round(rpm/((1-0.06)*60));
form2.ADOTable1.Post;

end;
edit2.Text:=inttostr(frek);
edit3.Text:=inttostr(rpm);
edit6.Text:=inttostr(round(rpm/((1-0.06))));
edit7.Text:=inttostr(round(rpm/((1-0.06)*60)));
Timer1.Enabled:=true;

procedure TForm1.Button1Click(Sender: TObject);
begin
  i:=0;
  rpm:=0;
  frek:=29;
  sem:=1;
  sem1:=1;
  series1.Clear;
  series2.Clear;
  timer1.Enabled:=true;
  timer2.Enabled:=true;
  form2.ADOTable1.Open;
end;

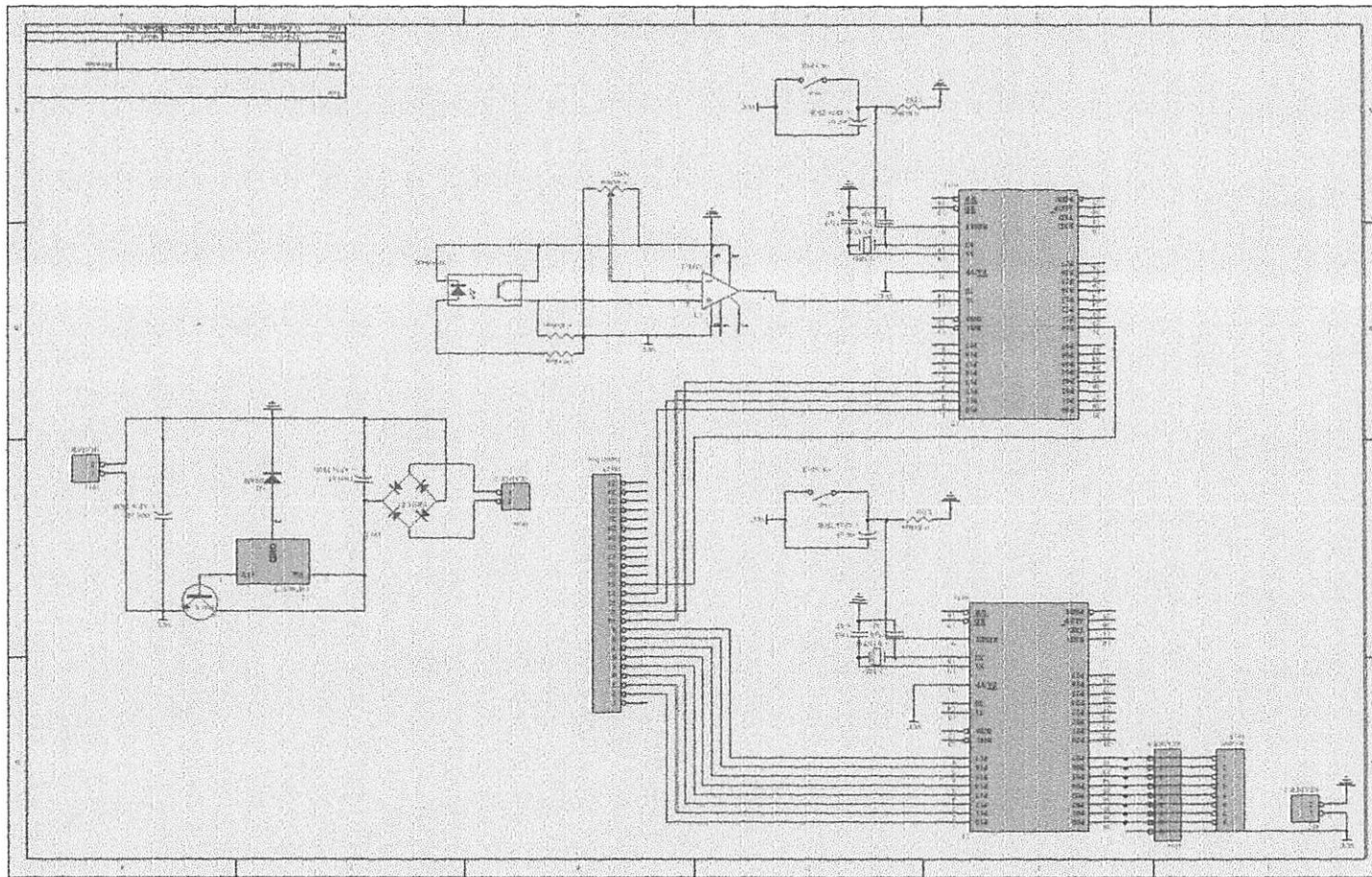
procedure TForm1.Button2Click(Sender: TObject);
var e1,e2,e3: integer;
begin
  timer1.Enabled:= false;
  form2.show;
  for i:=1 to 200 do
  begin
    if rpm2[i]=0 then rpm2[i+1]:=100;
    if rpm2[i]=0 then rpm2[i+2]:=100;
    e1:=round (abs(rpm2[i]-strtoint(edit1.Text))*100/rpm2[i]);
    e2:=round (abs(rpm2[i+1]-strtoint(edit1.Text))*100/rpm2[i+1]);
    e3:=round (abs(rpm2[i+2]-strtoint(edit1.Text))*100/rpm2[i+2]);
    if(e1<=5) and (e2<=5) and (e3<=5) then
    begin
      edit4.Text:=inttostr(rpm2[i]);
      edit5.Text:=inttostr(i*50);
      break;
    end;
  end;
end;

procedure TForm1.UpDwn1Click(Sender: TObject; Botten:TUDBtnType);
begin
  timer2.Enable:=false;
  if (inp32($379)and$08)=8 then
  begin
    sem:=trunc((inp32($379) xor $80)/16); //16;
  end;
  if(inp32($379)and $80)=0 then
  begin
    sem:=sem+1:runc(inp32($379) xor $80) and $0F0; //and $0F0;
  end;
  sem:=sem+sem1;
  if sem=0 then sem:=1;
  if checkbox1.Checked=true then tpm:=frek*60;
  timer2.Enabled:=true;
end;

procedure TForm1.EDIT1Change(Sender: TObject);

```

```
program
egin
pdown1.position:=strToInt(ed11.text);
nd;
nd.
```





de KITS Application Note

AN13 - Automatic Transmission with Encoder Meter and Display

Oleh: Tim IE

Applikasi 'Automatic Transmission with Encoder Meter and Display' ini bertugas menghitung pulsa kecepatan motor dan menampilkannya di 7 segment. Modul yang digunakan adalah DT-51 MinSys Ver 3.0, DT-51 KND, de KITS SPC DC Motor (K6), Motor DC, dan rangkaian Sensor Kecepatan.

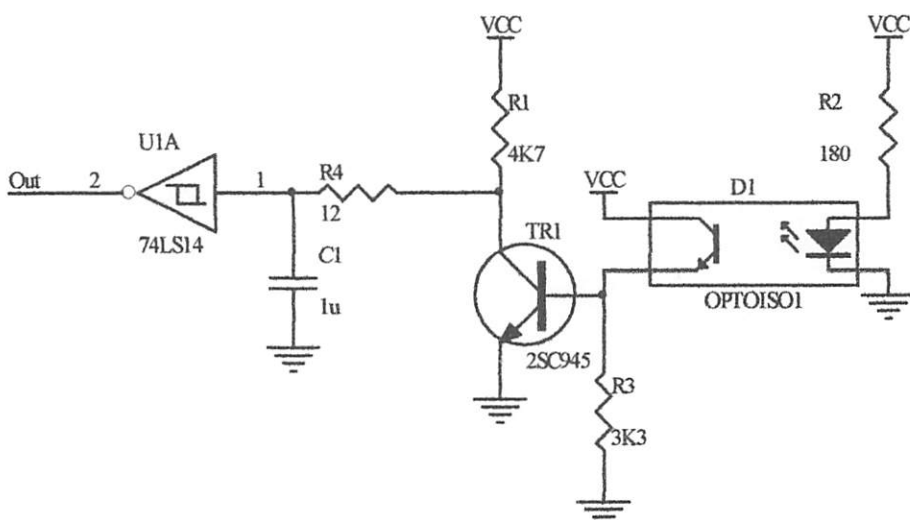
Hubungan antara DT-51 MinSys Ver 3.0 dan de KITS SPC DC Motor adalah sebagai berikut:

de KITS SPC DC Motor	DT-51 MinSys Ver 3.0 Port C & Port 1
SCL / J7 Pin 15	Pin 15 (Port 1.6)
SDA / J7 Pin 16	Pin 16 (Port 1.7)

Tabel 1
Hubungan DT-51 MinSys dengan de KITS SPC DC Motor

Cara menghubungkan DT-51 KND dengan DT-51 MinSys dapat dilihat pada DT-51 KND User's Guide. Cara menghubungkan DC motor dengan de KITS SPC DC Motor dapat dilihat pada Manual de KITS SPC DC Motor.

Rangkaian Sensor Kecepatan menggunakan Optolsolator/OptoCoupler model "U" (860D) dapat dilihat pada gambar berikut:

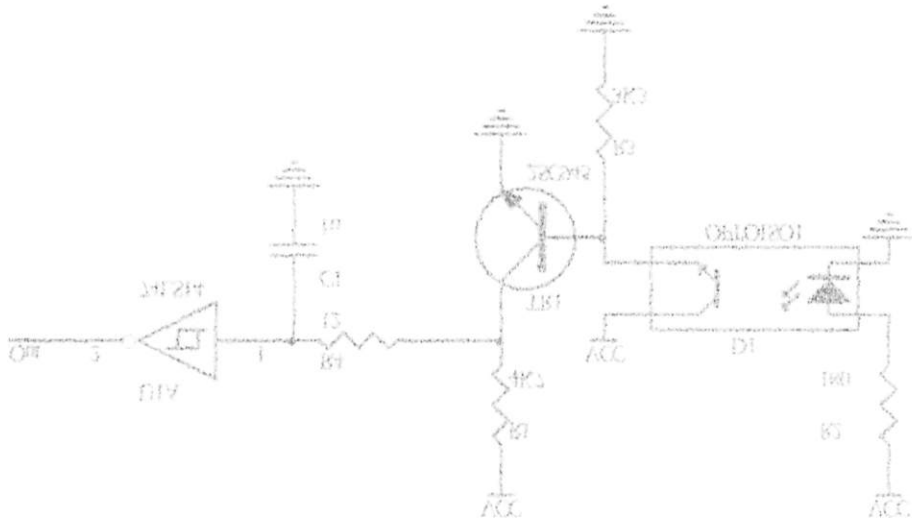


Gambar 1
Rangkaian Sensor Kecepatan

Dengan dibantu lempeng lingkaran yang dilubangi, sensor kecepatan akan menghasilkan pulsa high (□) jika terdapat lubang. Posisi sensor secara mekanis dapat dilihat pada gambar 2. Perlu diingat bahwa jumlah lubang yang dibuat akan mempengaruhi hasil tampilan di DT-51 KND. Makin banyak lubang maka pembacaan akan makin sering dan jika dikonversi ke RPM akan didapat hasil yang makin mendekati kondisi aslinya.

avtobus (aktion) datenbus system günstig ist ein jederzeit neuer Wert zu aktualisieren und die entsprechende aktuelle Werte abzulesen kann. GND 12-TD ist als aktiver I²C-Bus mit einer seriellen Schnittstelle für den Datenbus vorgesehen. Der I²C-Bus ist ein zweidimensionaler Datenbus, der von einem Master-Knoten gesteuert wird. Der Bus besteht aus zwei Leitungen: der Datenleitung (SDA) und der Clockleitung (SCL). Die Datenleitung ist unidirektional und wird vom Master-Knoten über einen Schmitt-Trigger-Puffer (TTL) aufsteigend und fallend übertragen. Die Clockleitung ist ebenfalls unidirektional und wird vom Master-Knoten über einen Schmitt-Trigger-Puffer (TTL) aufsteigend und fallend übertragen.

I²C-Datenbus



I²C-Datenbus

0.0 VDC bis 2.7 VDC bei 25 °C	0.3 VDC bis 3.6 VDC bei 25 °C	2.7 VDC bis 3.6 VDC bei 25 °C	3.6 VDC bis 5.5 VDC bei 25 °C
0.0 VDC bis 2.7 VDC bei 25 °C	0.3 VDC bis 3.6 VDC bei 25 °C	2.7 VDC bis 3.6 VDC bei 25 °C	3.6 VDC bis 5.5 VDC bei 25 °C
0.0 VDC bis 2.7 VDC bei 25 °C	0.3 VDC bis 3.6 VDC bei 25 °C	2.7 VDC bis 3.6 VDC bei 25 °C	3.6 VDC bis 5.5 VDC bei 25 °C

Hier sind die möglichen Spannungsunterschiede zwischen den beiden I²C-Busleitungen aufgeführt:

Die Spannungsdifferenz zwischen den beiden Busleitungen darf nicht höher als 0,8 V betragen. Dies gilt für alle I²C-Busleitungen. Wenn die Spannungsdifferenz zwischen den beiden Busleitungen höher als 0,8 V ist, kann es zu Schäden am IC kommen. Um dies zu verhindern, müssen die Spannungsdifferenzen zwischen den Busleitungen auf jeden Fall unterhalb von 0,8 V liegen.

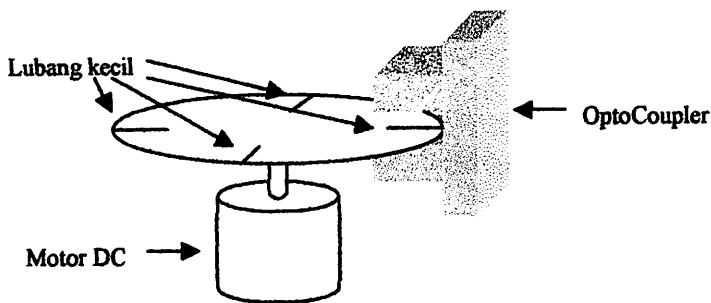
Bei einer I²C-Schnittstelle

verwendet man eine 10 kΩ

Widerstandsmatrix für die I²C-Schnittstelle.

Die Widerstände sind so gewählt, dass sie die möglichen Spannungsunterschiede zwischen den Busleitungen abdecken.





Gambar 2
Posisi Mekanis

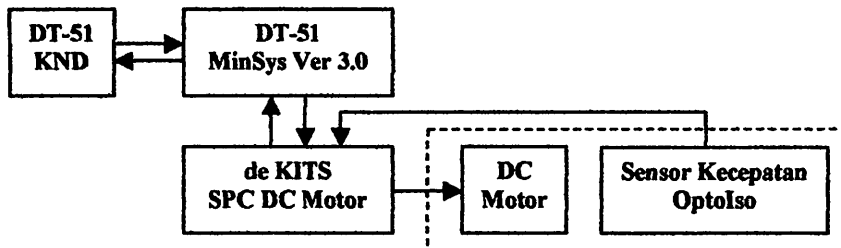
Hubungan antara de KITS SPC DC Motor dengan rangkaian sensor ini adalah sebagai berikut:

Rangkaian Sensor	de KITS SPC DC Motor
Out	IN1

Tabel 2
Hubungan de KITS SPC DC Motor dengan Rangkaian Sensor

Setelah menghubungkan rangkaian dan menghubungkan supply tegangan yang tepat, download-lah program RPMDISP.HEX ke DT-51 MinSys Ver3.0.

Adapun blok diagram sistem secara keseluruhan adalah sebagai berikut:



Gambar 3
Blok Diagram AN13

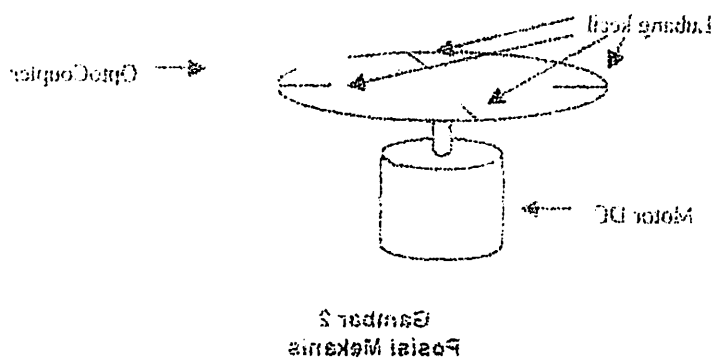
Rangkaian Sensor Kecepatan berfungsi untuk mendeteksi jumlah putaran per satuan waktu. Hal ini telah diakomodasi oleh de KITS SPC DC Motor pada IN1 untuk mendeteksi pulsa kecepatan motor.

DT-51 KND berfungsi sebagai input transmisi (Top, Brake, Up, Down, Neutral) pada keypad dan output display pada 7 segment. Penekanan TOP akan memutar motor pada kecepatan maksimum (tanpa PWM). Penekanan Up atau Down akan mengurangi atau menambah nilai PWM sebesar 10d. Penekanan N akan menghentikan putaran motor. Penekanan Brake akan menghentikan putaran motor secara cepat (layout dapat dilihat pada gambar 4).

Selain itu, DT-51 KND juga berfungsi untuk menampilkan hasil penghitungan pulsa kecepatan motor (dalam desimal). Setiap 1 detik tampilan pada 7 segment akan di-update. Tampilan hanya menyatakan jumlah pulsa bukan menyatakan kecepatan motor dalam RPM.

Jika ingin menghitung RPM, maka bisa dihitung dengan rumus:

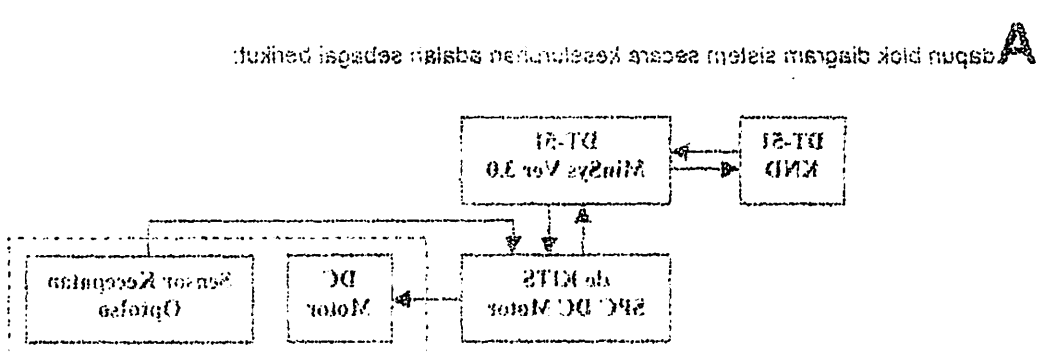
$$RPM = \frac{\text{Hasil Tampilan}}{\text{Jumlah Lubang}} \times \frac{60 \text{ detik}}{\text{GateTime}}$$



Humpnadeu aufsteu de KIT12 SPC DC Motor derdeau taudkavien aenzoar iu aesisir sepeadij pefheit.

	Motorkavien Sausor	de KIT12 SPC DC Motor
Out	IN	

Humpnadeu de KIT12 SPC DC Motor derdeau Raudkavien Sausor
Sealeip leugnunmukku taudkavien aeu meudpamnigku zublik jofenadou yaud reast, domiload-iyi pofdialia
RPMDCP.HEX xe DT-31 Wringa Vag.0



Block Diagram AN13
Gesamtp 3

Raudkavien ganeor Kecabeau perhidaei nizuk wendetekei lumen pofatu sei senoi wakut. Hail iu telai
glaokawaaei dier de KIT12 SPC DC Motor base INI nizuk wendetekei pofas Kecabeau motion
DT-31 KND perhidaei aspedai lumen fahwawai (Top, Briske, Up, Down, Nautsi) base Kecabeau u
base 3 seidweu. Pofekbauu TCR aken wemurantmotor base Kecabeau uksikiumt (tunes BMW). Pofekbauu Up
sean Down seku wemurantmotor base Kecabeau uksikiumt (tunes BMW). Pofekbauu N seku wemurantmotor base
motor. Pofekbauu Blska eku wemurantmotor base Kecabeau uksikiumt (tunes BMW). Pofekbauu Dsbel dillut base
seidweu. DT-31 KND [uds perhidaei wumt wemurantmotor base Kecabeau pofas Kecabeau motor (qelaw
delelawi). Gesid 3 seidweu t aekik ramplien base 3 seidweu. Tawolau pofas Kecabeau pofas
pukon wemurantmotor base Kecabeau uksikiumt (tunes BMW).

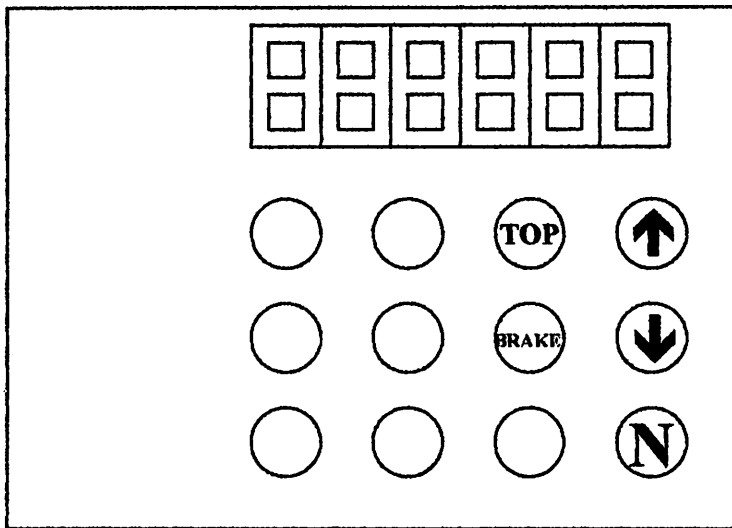
Ticks nigni wemurantmotor BMW, mofa pofa qiduind qandau lument

Time	CC deley	Hard Turnout	=	RPM
Qsetime	x			

Pada RPMDISP.ASM digunakan GateTime 1 detik sehingga rumus menjadi:

$$\text{RPM} = \frac{\text{Hasil Tampilan}}{\text{Jumlah Lubang}} \times 60$$

Jika hasil tampilan sebesar 135 pulsa dengan jumlah lubang 16, berarti kecepatan putaran motor sekitar 506 RPM.

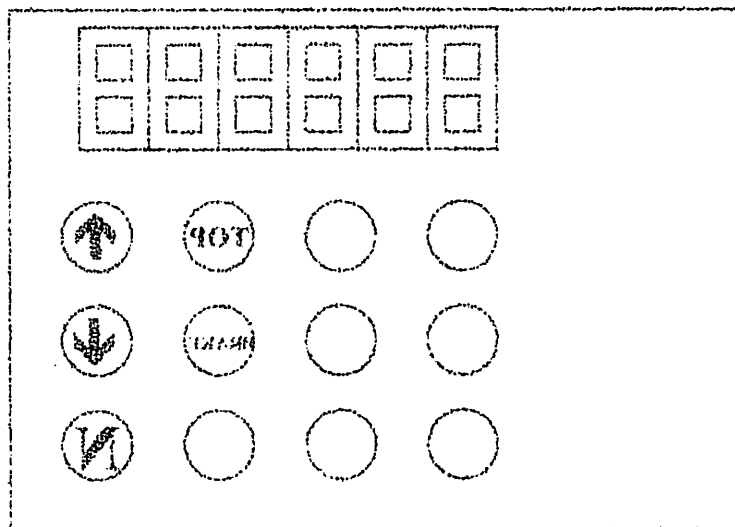


Gambar 4
Alokasi Keypad DT-51 KND

Digitized by srujanika@gmail.com

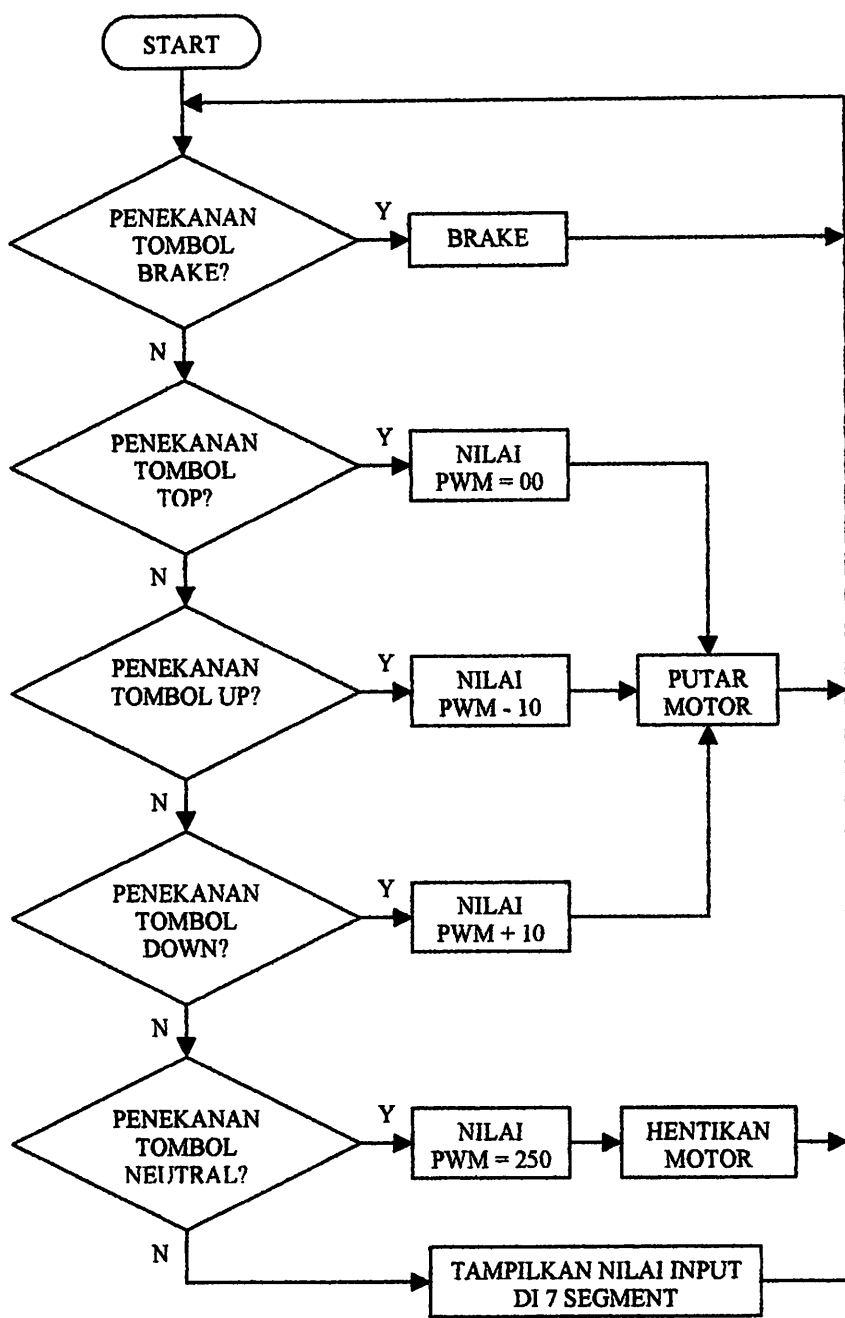
$$\frac{\text{Hand Length}}{96} \times 100 = \text{MMS}$$

MMS = 80% (approximate value)



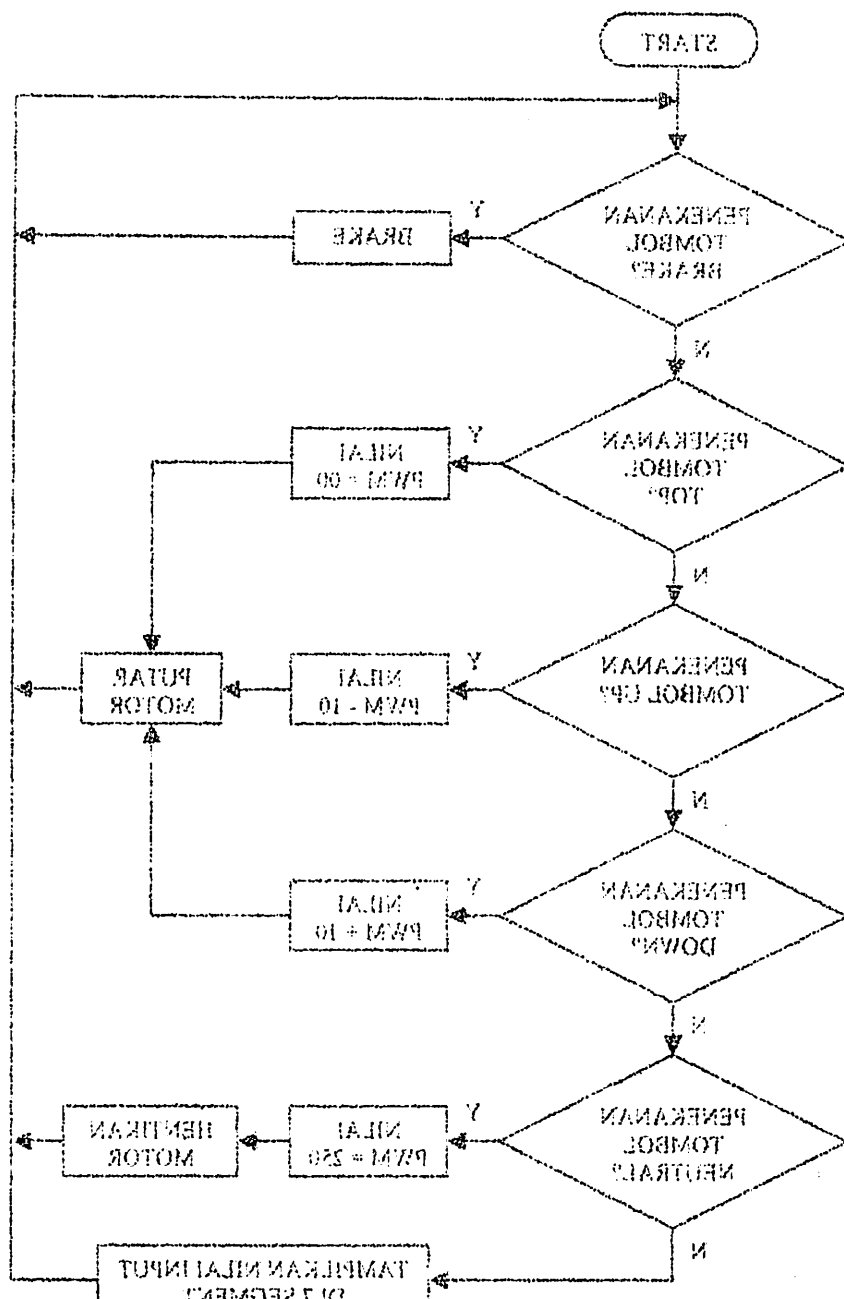
Digitized by
Alokesh Nayak DT-91 Hand

Flowchart dari sistem ini adalah sebagai berikut:



Gambar 5
Flowchart Program

Listing program RPMDISP.ASM dapat dilihat pada AN13.Zip.



Gambar 8
Flowchart Plogiran

Foto oleh bidrotek RWDISPAWAN dan ANI S. S.

Features

Compatible with MCS-51® Products
4K Bytes of In-System Programmable (ISP) Flash Memory
– Endurance: 1000 Write/Erase Cycles
4.0V to 5.5V Operating Range
Fully Static Operation: 0 Hz to 33 MHz
Three-level Program Memory Lock
128 x 8-bit Internal RAM
32 Programmable I/O Lines
Two 16-bit Timer/Counters
Six Interrupt Sources
Full Duplex UART Serial Channel
Low-power Idle and Power-down Modes
Interrupt Recovery from Power-down Mode
Watchdog Timer
Dual Data Pointer
Power-off Flag
Fast Programming Time
Flexible ISP Programming (Byte and Page Mode)

Description

The AT89S51 is a low-power, high-performance CMOS 8-bit microcontroller with 4K bytes of in-system programmable Flash memory. The device is manufactured using Atmel's high-density nonvolatile memory technology and is compatible with the industry-standard 80C51 instruction set and pinout. The on-chip Flash allows the program memory to be reprogrammed in-system or by a conventional nonvolatile memory programmer. By combining a versatile 8-bit CPU with in-system programmable Flash on a monolithic chip, the Atmel AT89S51 is a powerful microcontroller which provides a highly-flexible and cost-effective solution to many embedded control applications.

The AT89S51 provides the following standard features: 4K bytes of Flash, 128 bytes of RAM, 32 I/O lines, Watchdog timer, two data pointers, two 16-bit timer/counters, a five-vector two-level interrupt architecture, a full duplex serial port, on-chip oscillator, and clock circuitry. In addition, the AT89S51 is designed with static logic for operation down to zero frequency and supports two software selectable power saving modes. The Idle Mode stops the CPU while allowing the RAM, timer/counters, serial port, and interrupt system to continue functioning. The Power-down mode saves the RAM contents but freezes the oscillator, disabling all other chip functions until the next external interrupt or hardware reset.



8-bit Microcontroller with 4K Bytes In-System Programmable Flash

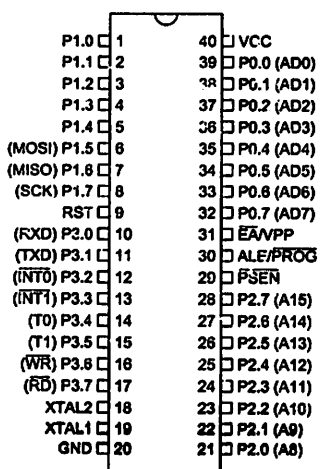
AT89S51



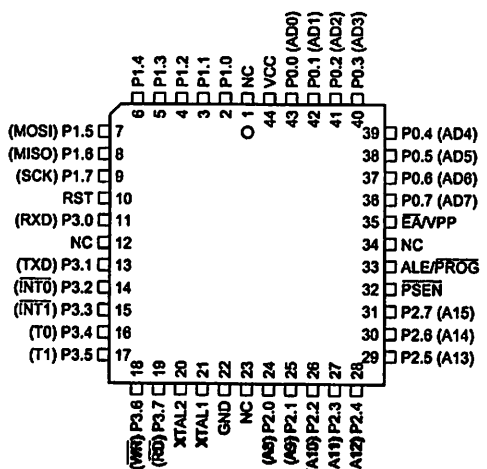


'in Configurations

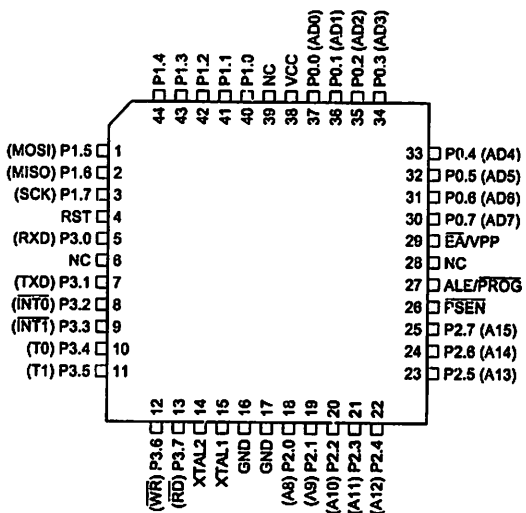
PDIP



PLCC

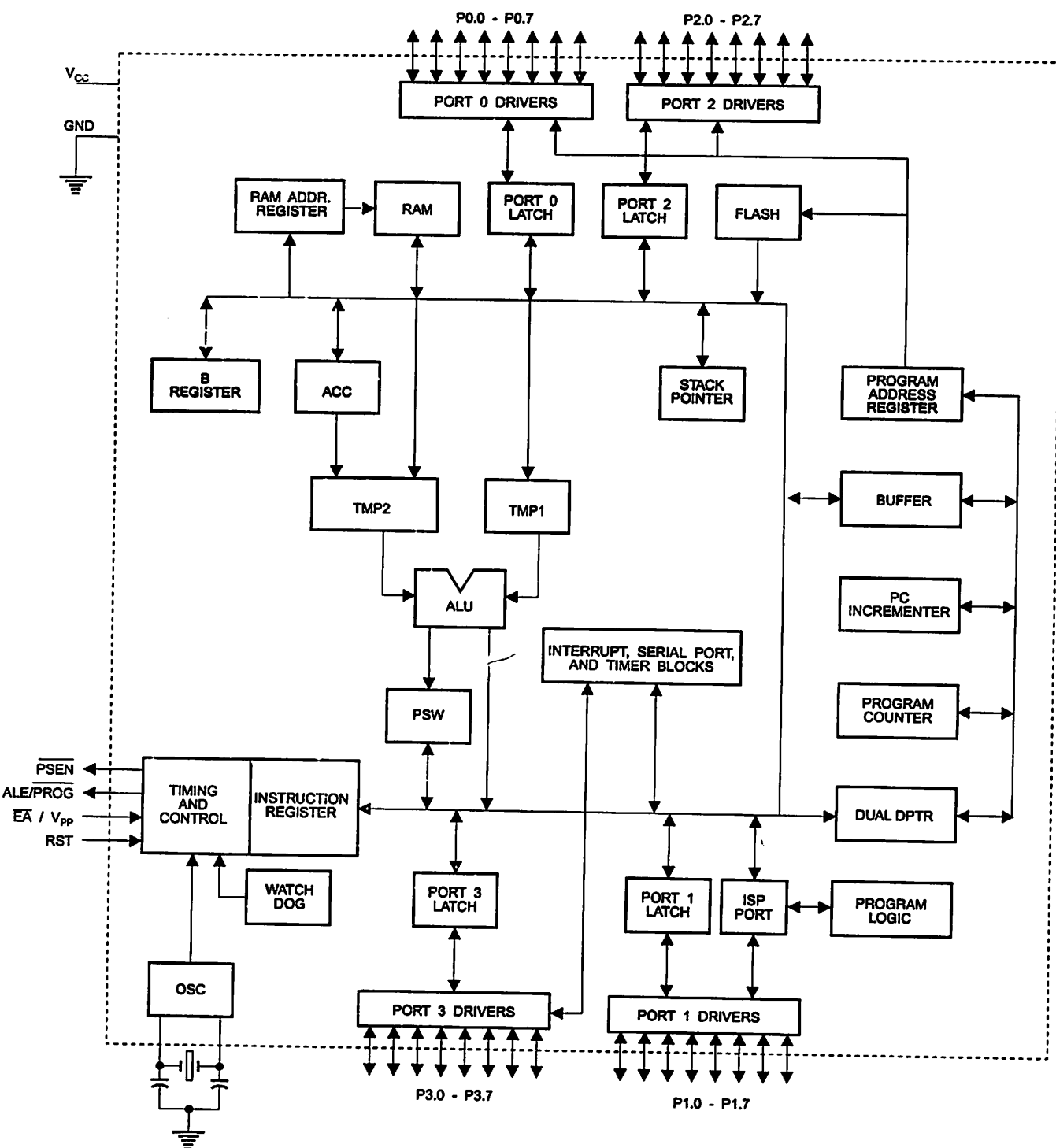


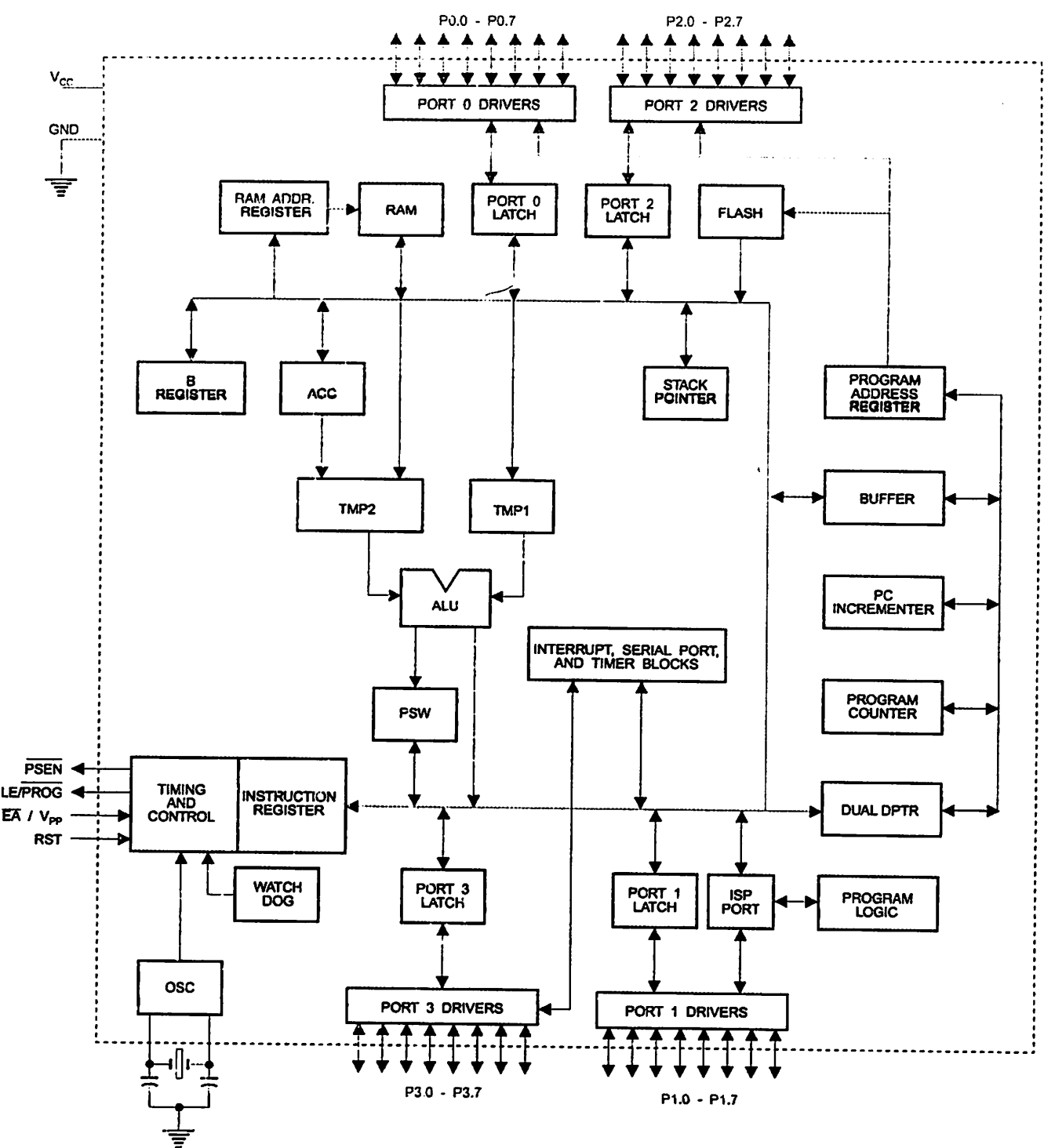
TQFP



AT89S51

Block Diagram







In Description

PC: Ground connection.

RD: Read.

PORT 0: Port 0 is an 8-bit open drain bidirectional I/O port. As an output port, each pin can sink eight TTL levels. Maximum current sinking capability is 10 mA per pin. This port can be used as bidirectional address.

Port 0 can also be configured to be the multiplexed low-order address/data bus during accesses to external program memory and data memory. In this mode, RD has internal software.

Port 0 also receives the code bytes during Flash programming and outputs the code bytes during read operations. External software has responsibility for interfacing with Port 0.

PORT 1: Port 1 is an 8-bit bidirectional I/O port with internal pull-ups. The Port 1 output buffers can source 10 mA per pin. Maximum current sinking capability is 10 mA per pin. This port can be used as inputs with internal pull-ups and can be used as inputs. As inputs, Port 1 pins that are externally being

Port Pin	Alternate Functions
P1.0	MOSI (used for In-System Programming)
P1.6	MISO (used for In-System Programming)
P1.7	SCK (used for In-System Programming)

Port 2 is an 8-bit bidirectional I/O port with internal pull-ups. The Port 2 output buffers can source 10 mA per pin. Maximum current sinking capability is 10 mA per pin. This port can be used as inputs with internal pull-ups and can be used as inputs. As inputs, Port 2 pins that are externally being Port 2 emits the high-order address byte during fetches from external program memory and application. Port 2 uses strong internal pull-ups when emitting 1's. During accesses to external

Port 2 also receives the high-order address bits and some control signals during Flash pro-

PORT 3: Port 3 is an 8-bit bidirectional I/O port with internal pull-ups. The Port 3 output buffers can source 10 mA per pin. Maximum current sinking capability is 10 mA per pin. This port can be used as inputs with internal pull-ups and can be used as inputs. As inputs, Port 3 pins that are externally being

Port 3 also serves the functions of various special features of the AT89S61, as shown in the

Port Pin	Alternate Functions
P3.0	RXD (serial input port)
P3.1	TXD (serial output port)
P3.2	INT0 (external interrupt 0)
P3.3	INT1 (external interrupt 1)
P3.4	T0 (timer 0 external input)
P3.5	T1 (timer 1 external input)
P3.6	WR (external data memory write strobe)
P3.7	RD (external data memory read strobe)

RESET
Reset input. A high on this pin for two machine cycles while the oscillator is running resets the device. This pin drives High for 98 oscillator periods after the Watchdog times out. The DISRTO bit in SFR AUXR (address 8EH) can be used to disable this feature. In the default state of the DISRTO, the RESET HIGH out feature is enabled.

E/PROG

Address Latch Enable (ALE) is an output pulse for latching the low byte of the address during accesses to external memory. This pin is also the program pulse input (PROG) during Flash programming.

In normal operation, ALE is emitted at a constant rate of 1/6 the oscillator frequency and may be used for external memory refresh or address decoding. Note however that since ALE must be asserted at least once per byte of data transfer.

If desired, ALE operation can be disabled by setting bit U of SFR location 8EH. With the bit set, the ALE signal will be inhibited. If the bit is masked off, the ALE signal will be held high. CAUTION: AT89S51A bit U has no effect if the EA pin is connected to an external source.

SEN

Program Store Enable (PSEN) is the read strobe to external program memory.

When the AT89S51 is executing code from external program memory, PSEN is activated twice each machine cycle, except that two PSEN activations are skipped during each access.

VPP

External Access Enable. EA must be strapped to GND in order to enable the device to fetch code from external memory. Note that if lock bit 1 is programmed, EA will be internally latched on reset.

EA should be strapped to V_{CC}.

This pin also receives the 1.4V programming voltage from the external flash programmer.



special
function
registers



A map of the on-chip memory area called the Special Function Register (SFR) space is shown in Table 1.

Note that not all of the addresses are occupied, and unoccupied addresses may not be implemented on the chip. Read access to those addresses will be mapped to one of the data memory pages.

Table 1 AT89C51 SFR Map and Data Memory

0F8H									0FFH
0F0H	C 00000000								0F7H
0E8H									0EFH
0E0H	ACC 00000000								0E7H
0D8H									0DFH
0D0H	PSW 00000000								0D7H
0C8H									0CFH
0C0H									0C7H
0B8H	IP XX000000								0BFH
0B0H	P3 11111111								0B7H
0A8H	IE 0X000000								0AFH
0A0H	P2 11111111		AUXR1 XXXXXXX0				WDTRST XXXXXXXX		0A7H
98H	SCON 00000000	SBUF XXXXXXXX							9FH
90H	P1 11111111								97H
88H	TCON 00000000	TMOD 00000000	TL0 00000000	TL1 00000000	TH0 00000000	TH1 00000000	AUXR XXX00XX0		8FH
80H	P0 11111111	SP 00000111	DP0L 00000000	DP0H 00000000	DP1L 00000000	DP1H 00000000		PCON 0XXX0000	87H

User software should not write 1s to these unlisted locations, since they may be used in future revisions to implement new features in the chip. The user is responsible for the use of these locations.

Interrupt Registers: The individual interrupt enable bits are in the IE register. Two priorities are assigned to each of the four interrupt sources.

Table 2: AT89S51 SFR Register Descriptions

AUXR Address = 8EH								Reset Value = XXX00XX0B
Not Bit Addressable								
Bit	-	-	-	WDIDLE	DISRTO	-	-	DISALE
	7	6	5	4	3	2	1	0
-	Reserved for future expansion							
DISALE	Disable/Enable ALE							
	DISALE							
	Operating Mode							
	0 ALE is emitted at a constant rate of 1/6 the oscillator frequency							
	1 ALE is active only during a MOVX or MOVC instruction							
DISRTO	Disable/Enable Reset out							
	DISRTO							
	0 Reset pin is driven High after WDT times out							
	1 Reset pin is input only							
WDIDLE	Disable/Enable WDT in IDLE mode							
WDIDLE								
0	WDT continues to count in IDLE mode							
1	WDT halts counting in IDLE mode							

Dual Data Pointer Registers: To facilitate accessing both internal and external data memory, two banks of 16-bit Data Pointer Registers are provided: DP0 at SFR address locations 82H-83H and DP1 at 84H-85H. Bit DPS = 0 in SFR AUXR1 selects DP0 and DPS = 1 selects DP1. The user should always initialize the DPS bit to the appropriate value before accessing the respective Data Pointer Register.





Power Off Flag: The Power Off Flag (POF) is located at bit 4 (PCON.4) in the PCON SFR. POF is set to "1" during power up. It can be set and rest under software control and is not affected by reset.

Table 3. AUXR1: Auxiliary Register 1

AUXR1								Reset Value = XXXXXXXX0B
Not Bit Addressable								
Bit	7	6	5	4	3	2	1	DPS
-	Reserved for future expansion							
DPS	Data Pointer Register Select							
	DPS							
0	Selects DPTR Registers DP0L, DP0H							
1	Selects DPTR Registers DP1L, DP1H							

emory rganization

MCS-51 devices have a separate address space for Program and Data Memory. Up to 64K bytes each of external Program and Data Memory can be addressed.

rogram Memory

If the EA pin is connected to GND, all program fetches are directed to external memory.

On the AT89S51, if EA is connected to V_{CC}, program fetches to addresses 0000H through FFFH are directed to internal memory and fetches to addresses 1000H through FFFFH are directed to external memory.

ata Memory

The AT89S51 implements 128 bytes of on-chip RAM. The 128 bytes are accessible via direct and indirect addressing modes. Stack operations are examples of indirect addressing. All the 128 bytes of data RAM are available as direct space.

atchdog mer One-time switch with reset-out)

The WDT is intended as a security method in situations where the CPU may be subjected to software upsets. The WDT consists of a 14-bit counter and the Watchdog Timer Reset (WDTRST) SFR. The WDT is defaulted to disable from exiting reset. To enable the WDT, a user must write 01EH and 0E1H in sequence to the WDTRST register (SFR location 0A6H). When the WDT is enabled, it will increment every machine cycle while the oscillator is running. The WDT timeout period is dependent on the external clock frequency. There is no way to disable the WDT except through reset (either hardware reset or WDT overflow reset). When the WDT overflows, it will drive an output RESET HIGH pulse at the RST pin.

sing the WDT

To enable the WDT, a user must write 01EH and 0E1H in sequence to the WDTRST register (SFR location 0A6H). When the WDT is enabled, the user needs to service it by writing 01EH and 0E1H to WDTRST to avoid a WDT overflow. The 14-bit counter overflows when it reaches 16383 (3FFFFH), and this will reset the device. When the WDT is enabled, it will increment every machine cycle while the oscillator is running. This means the user must reset the WDT to prevent a WDT overflow. The WDTRST register is write-only and cannot be read. It is mapped to WDTRST. WDTRST is a write-only register. The WDT counter cannot be read or written.

AT89S51

should be serviced in those sections of code that will periodically be executed within the time required to prevent a WDT reset.

WDT During Power-down and Idle

In Power-down mode the oscillator stops, which means the WDT also stops. While in Power-down mode, the user does not need to service the WDT. There are two methods of exiting Power-down mode: by a hardware reset or via a level-activated external interrupt, which is enabled prior to entering Power-down mode. When Power-down is exited with hardware reset, servicing the WDT should occur as it normally does whenever the AT89S51 is reset. Exiting Power-down with an interrupt is significantly different. The interrupt is held low long enough for the oscillator to stabilize. When the interrupt is brought high, the interrupt is serviced. To prevent the WDT from resetting the device while the interrupt pin is held low, the WDT is not started until the interrupt is pulled high. It is suggested that the WDT be reset during the interrupt service for the interrupt used to exit Power-down mode.

To ensure that the WDT does not overflow within a few states of exiting Power-down, it is best to reset the WDT just before entering Power-down mode.

Before going into the IDLE mode, the WDIDLE bit in SFR AUXR is used to determine whether the WDT continues to count if enabled. The WDT keeps counting during IDLE (WDIDLE bit = 0) as the default state. To prevent the WDT from resetting the AT89S51 while in IDLE mode, the user should always set up a timer that will periodically poll the IDLE, service the WDT, and then return to IDLE.

With WDIDLE bit enabled, the WDT will stop to count in IDLE mode and resumes the count when the IDLE bit is cleared.

UART

The UART in the AT89S51 operates the same way as the UART in the AT89C51. For further information on the UART operation refer to the ATMEL Web site (<http://www.atmel.com>). From the home page, select 'Products', then '8051-Architecture Flash Microcontroller', then '8051-Product Overview'.

Timer 0 and 1

Timer 0 and Timer 1 in the AT89S51 operate the same way as Timer 0 and Timer 1 in the AT89C51. For further information on the Timer operation refer to the ATMEL Web site (<http://www.atmel.com>). From the home page, select 'Products', then '8051-Architecture Flash Microcontroller', then '8051-Product Overview'.

Interrupts

The AT89S51 has a total of five interrupt vectors: two external interrupts (INT0 and INT1), two timer interrupts (Timers 0 and 1) and the serial port interrupt. These interrupts are all shown in Figure 1.

Each of these interrupt sources can be individually enabled or disabled by setting or clearing a bit in Special Function Register IE. IE also contains a global disable bit, EA, which disables all interrupts at once.

Note that Table 4 shows that bit position IE.6 is unimplemented. In the AT89S51, bit position IE.5 is also unimplemented. User software should not write 1s to these bit positions since they may be used in future AT89 products.

The Timer 0 and Timer 1 flags, TF0 and TF1, are set at S5P2 of the cycle in which the timers overflow. The values are then shifted by the circuitry to the next cycle.



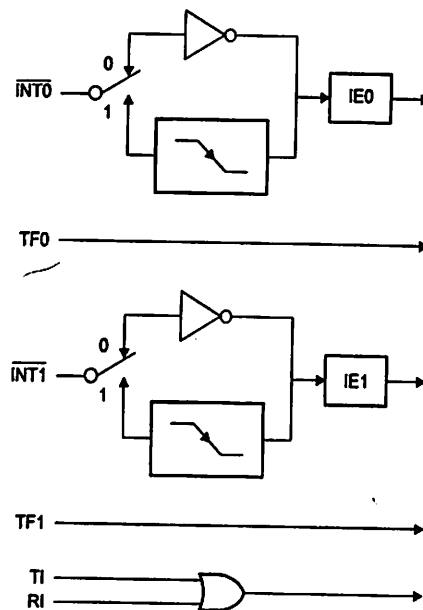
Table 4. Interrupt Enable (IE) Register

(MSB)			(LSB)				
EA	-	-	ES	ET1	EX1	ET0	EX0
Enable Bit = 1 enables the interrupt.							
Enable Bit = 0 disables the interrupt.							

Symbol	Position	Function
EA	IE.7	Disables all interrupts. If EA = 0, no interrupt is acknowledged. If EA = 1, each interrupt source is individually enabled or disabled by setting or clearing its enable bit.
-	IE.6	Reserved
-	IE.5	Reserved
ES	IE.4	Serial Port interrupt enable bit
ET1	IE.3	Timer 1 interrupt enable bit
EX1	IE.2	External interrupt 1 enable bit
ET0	IE.1	Timer 0 interrupt enable bit
EX0	IE.0	External interrupt 0 enable bit

User software should never write 1s to reserved bits, because they may be used in future AT89 products.

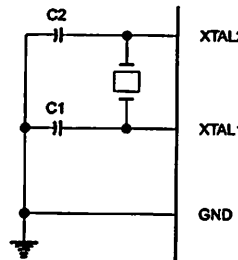
Figure 1. Interrupt Sources



Oscillator Characteristics

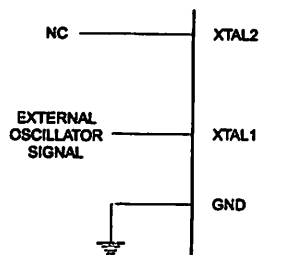
XTAL1 and XTAL2 are the input and output, respectively, of an inverting amplifier that can be configured for use as an on-chip oscillator, as shown in Figure 2. Either a quartz crystal or ceramic resonator may be used. To drive the device from an external clock source, XTAL2 should be left unconnected while XTAL1 is driven, as shown in Figure 3. There are no requirements on the duty cycle of the external clock signal, since the input to the internal clocking circuitry is through a divide-by-two flip-flop, but minimum and maximum voltage high and low time specifications must be observed.

Figure 2. Oscillator Connections



Note: $C1, C2 = 30 \text{ pF} \pm 10 \text{ pF}$ for Crystals $= 40 \text{ pF} \pm 10 \text{ pF}$ for Ceramic Resonators

Figure 3. External Clock Drive Configuration



Idle Mode

In idle mode, the CPU puts itself to sleep while all the on-chip peripherals remain active. The mode is invoked by software. The content of the on-chip RAM and all the special function registers remain unchanged during this mode. The idle mode can be terminated by any enabled interrupt or by a hardware reset.

Note that when idle mode is terminated by a hardware reset, the device normally resumes program execution from where it left off, up to two machine cycles before the internal reset algorithm takes control. On-chip hardware inhibits access to internal RAM in this event, but access to the port pins is not inhibited. To eliminate the possibility of an unexpected write to a port pin when idle mode is terminated by a reset, the instruction following the one that invokes idle mode should not write to a port pin or to external memory.

Power-down Mode

In the Power-down mode, the oscillator is stopped, and the instruction that invokes Power-down is the last instruction executed. The on-chip RAM and Special Function Registers retain their values until the Power-down mode is terminated. Exit from Power-down mode can be initiated either by a hardware reset or by activation of an enabled external interrupt into INT0 or INT1. Reset redefines the SFRs but does not change the on-chip RAM. The reset should not be activated before V_{CC} is restored to its normal operating level and must be held active long enough to allow the oscillator to restart and stabilize.





Table 5. Status of External Pins During Idle and Power-down Modes

Mode	Program Memory	ALE	PSEN	PORT0	PORT1	PORT2	PORT3
Idle	Internal	1	1	Data	Data	Data	Data
Idle	External	1	1	Float	Data	Address	Data
Power-down	Internal	0	0	Data	Data	Data	Data
Power-down	External	0	0	Float	Data	Data	Data

Program Memory Lock Bits

The AT89S51 has three lock bits that can be left unprogrammed (U) or can be programmed (P) to obtain the additional features listed in the following table.

Table 6. Lock Bit Protection Modes

Program Lock Bits				Protection Type
LB1	LB2	LB3		
1	U	U	U	No program lock features
2	P	U	U	MOV _C instructions executed from external program memory are disabled from fetching code bytes from internal memory, EA is sampled and latched on reset, and further programming of the Flash memory is disabled
3	P	P	U	Same as mode 2, but verify is also disabled
4	P	P	P	Same as mode 3, but external execution is also disabled

When lock bit 1 is programmed, the logic level at the EA pin is sampled and latched during reset. If the device is powered up without a reset, the latch initializes to a random value and holds that value until reset is activated. The latched value of EA must agree with the current logic level at that pin in order for the device to function properly.

Programming the Flash – Parallel Mode

The AT89S51 is shipped with the on-chip Flash memory array ready to be programmed. The programming interface needs a high-voltage (12-volt) program enable signal and is compatible with conventional third-party Flash or EPROM programmers.

The AT89S51 code memory array is programmed byte-by-byte.

Programming Algorithm: Before programming the AT89S51, the address, data, and control signals should be set up according to the Flash programming mode table and Figures 13 and 14. To program the AT89S51, take the following steps:

1. Input the desired memory location on the address lines.
2. Input the appropriate data byte on the data lines.
3. Activate the correct combination of control signals.
4. Raise EA/V_{PP} to 12V.
5. Pulse ALE/PROG once to program a byte in the Flash array or the lock bits. The byte-write cycle is self-timed and typically takes no more than 50 µs. Repeat steps 1 through 5, changing the address and data for the entire array or until the end of the object file is reached.

Data Polling: The AT89S51 features Data Polling to indicate the end of a byte write cycle. During a write cycle, an attempted read of the last byte written will result in the complement of the written data on P0.7. Once the write cycle has been completed, true data is valid on all outputs, and the next cycle may begin. Data Polling may begin any time after a write cycle has been initiated.

AT89S51

Ready/Busy: The progress of byte programming can also be monitored by the RDY/BSY output signal. P3.0 is pulled low after ALE goes high during programming to indicate BUSY. P3.0 is pulled high again when programming is done to indicate READY.

Program Verify: If lock bits LB1 and LB2 have not been programmed, the programmed code data can be read back via the address and data lines for verification. The status of the individual lock bits can be verified directly by reading them back.

Reading the Signature Bytes: The signature bytes are read by the same procedure as a normal verification of locations 000H, 100H, and 200H, except that P3.6 and P3.7 must be pulled to a logic low. The values returned are as follows.

- (000H) = 1EH indicates manufactured by Atmel
- (100H) = 51H indicates 89S51
- (200H) = 06H

Chip Erase: In the parallel programming mode, a chip erase operation is initiated by using the proper combination of control signals and by pulsing ALE/PROG low for a duration of 200 ns - 500 ns.

In the serial programming mode, a chip erase operation is initiated by issuing the Chip Erase instruction. In this mode, chip erase is self-timed and takes about 500 ms.

During chip erase, a serial read from any address location will return 00H at the data output.

Programming the Flash – Serial Mode

Serial Programming Algorithm

The Code memory array can be programmed using the serial ISP interface while RST is pulled to V_{cc}. The serial interface consists of pins SCK, MOSI (input) and MISO (output). After RST is set high, the Programming Enable instruction needs to be executed first before other operations can be executed. Before a reprogramming sequence can occur, a Chip Erase operation is required.

The Chip Erase operation turns the content of every memory location in the Code array into FFH.

Either an external system clock can be supplied at pin XTAL1 or a crystal needs to be connected across pins XTAL1 and XTAL2. The maximum serial clock (SCK) frequency should be less than 1/16 of the crystal frequency. With a 33 MHz oscillator clock, the maximum SCK frequency is 2 MHz.

To program and verify the AT89S51 in the serial programming mode, the following sequence is recommended:

1. Power-up sequence:
Apply power between VCC and GND pins.
Set RST pin to "H".
If a crystal is not connected across pins XTAL1 and XTAL2, apply a 3 MHz to 33 MHz clock to XTAL1 pin and wait for at least 10 milliseconds.
2. Enable serial programming by sending the Programming Enable serial instruction to pin MOSI/P1.5. The frequency of the shift clock supplied at pin SCK/P1.7 needs to be less than the CPU clock at XTAL1 divided by 16.
3. The Code array is programmed one byte at a time in either the Byte or Page mode. The write cycle is self-timed and typically takes less than 0.5 ms at 5V.
4. Any memory location can be verified by using the Read instruction that returns the content at the selected address at serial output MISO/P1.6.
5. At the end of a programming session, RST can be set low to commence normal device operation.





Power-off sequence (if needed):

Set XTAL1 to "L" (if a crystal is not used).

Set RST to "L".

Turn V_{CC} power off.

Data Polling: The Data Polling feature is also available in the serial mode. In this mode, during a write cycle an attempted read of the last byte written will result in the complement of the MSB of the serial output byte on MISO.

**Serial
Programming
Instruction Set**

**Programming
Interface –
Parallel Mode**

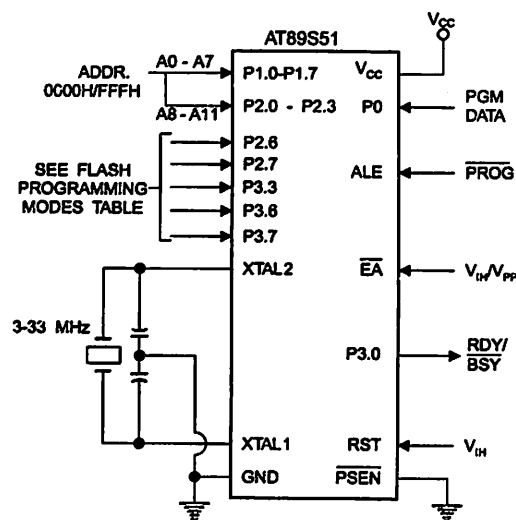
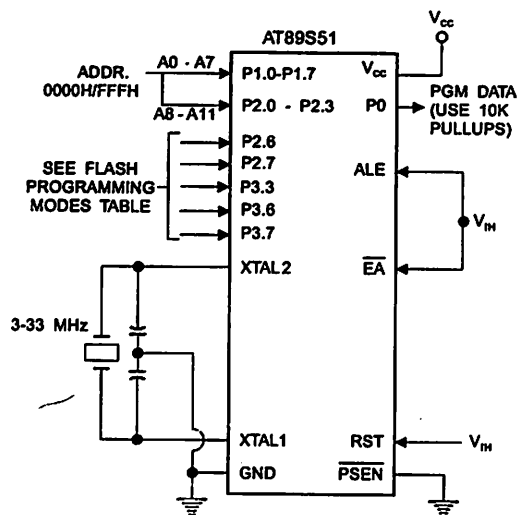
Every code byte in the Flash array can be programmed by using the appropriate combination of control signals. The write operation cycle is self-timed and once initiated, will automatically time itself to completion.

All major programming vendors offer worldwide support for the Atmel microcontroller series. Please contact your local programming vendor for the appropriate software revision.

Table 7. Flash Programming Modes

Mode	V _{CC}	RST	PSEN	ALE/ PROG	EA/ V _{PP}	P2.6	P2.7	P3.3	P3.6	P3.7	P0.7-0 Data	P2.3-0	P1.7-0
												Address	
Write Code Data	5V	H	L	(2)	12V	L	H	H	H	H	D _{IN}	A11-8	A7-0
Read Code Data	5V	H	L	H	H	L	L	L	H	H	D _{OUT}	A11-8	A7-0
Write Lock Bit 1	5V	H	L	(3)	12V	H	H	H	H	H	X	X	X
Write Lock Bit 2	5V	H	L	(3)	12V	H	H	H	L	L	X	X	X
Write Lock Bit 3	5V	H	L	(3)	12V	H	L	H	H	L	X	X	X
Read Lock Bits 1, 2, 3	5V	H	L	H	H	H	H	L	H	L	P0.2, P0.3, P0.4	X	X
Chip Erase	5V	H	L	(1)	12V	H	L	H	L	L	X	X	X
Read Atmel ID	5V	H	L	H	H	L	L	L	L	L	1EH	0000	00H
Read Device ID	5V	H	L	H	H	L	L	L	L	L	51H	0001	00H
Read Device ID	5V	H	L	H	H	L	L	L	L	L	06H	0010	00H

- Notes:
1. Each PROG pulse is 200 ns - 500 ns for Chip Erase.
 2. Each PROG pulse is 200 ns - 500 ns for Write Code Data.
 3. Each PROG pulse is 200 ns - 500 ns for Write Lock Bits.
 4. RDY/BSY signal is output on P3.0 during programming.
 5. X = don't care.

Figure 4. Programming the Flash Memory (Parallel Mode)**Figure 5. Verifying the Flash Memory (Parallel Mode)**

Flash Programming and Verification Characteristics (Parallel Mode)

= 20°C to 30°C, V_{CC} = 4.5 to 5.5V

Symbol	Parameter	Min	Max	Units
V _P	Programming Supply Voltage	11.5	12.5	V
I _P	Programming Supply Current		10	mA
I _C	V _{CC} Supply Current		30	mA
f _{CLCL}	Oscillator Frequency	3	33	MHz
t _{AVGL}	Address Setup to PROG Low	48t _{CLCL}		
t _{HAX}	Address Hold After PROG	48t _{CLCL}		
t _{GDGL}	Data Setup to PROG Low	48t _{CLCL}		
t _{GHDX}	Data Hold After PROG	48t _{CLCL}		
t _{SH}	P2.7 (ENABLE) High to V _{PP}	48t _{CLCL}		
t _{AVGL}	V _{PP} Setup to PROG Low	10		μs
t _{GHSL}	V _{PP} Hold After PROG	10		μs
t _{LGH}	PROG Width	0.2	1	μs
t _{AVQ}	Address to Data Valid		48t _{CLCL}	
t _{EVQ}	ENABLE Low to Data Valid		48t _{CLCL}	
t _{HQZ}	Data Float After ENABLE	0	48t _{CLCL}	
t _{GBL}	PROG High to BUSY Low			1.0 μs
t _{WC}	Byte Write Cycle Time		50	μs

Figure 6. Flash Programming and Verification Waveforms – Parallel Mode

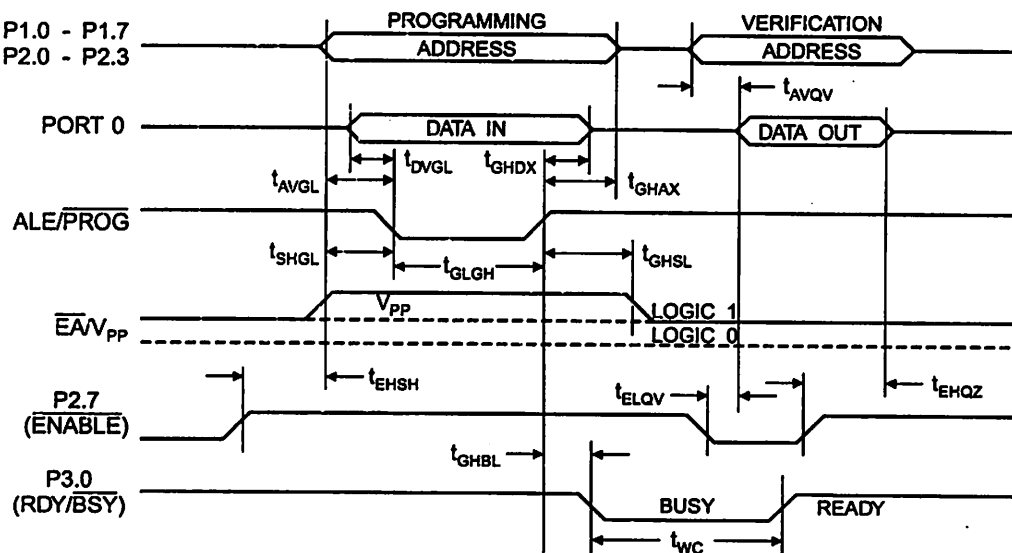
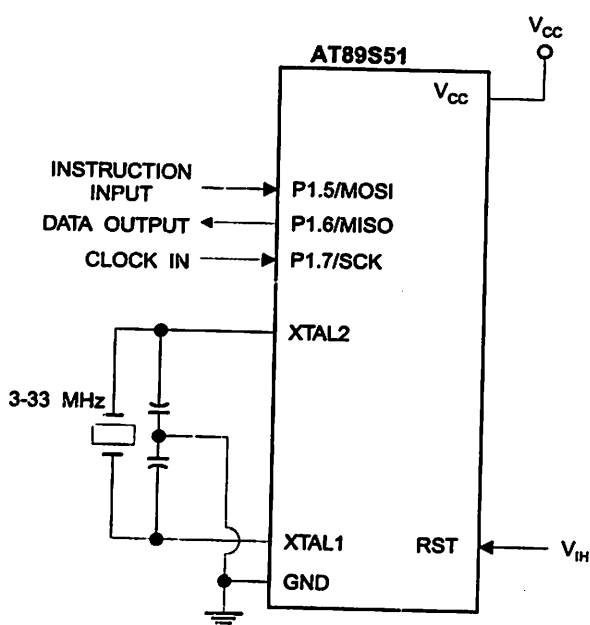


Figure 7. Flash Memory Serial Downloading



Flash Programming and Verification Waveforms – Serial Mode

Figure 8. Serial Programming Waveforms

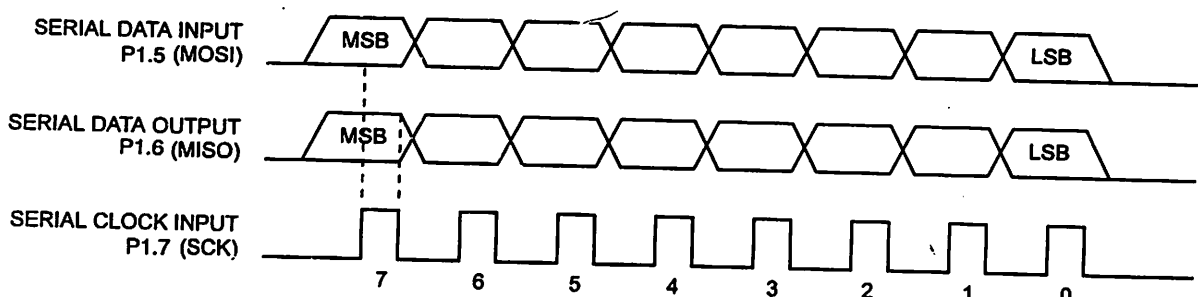




Table 8. Serial Programming Instruction Set

Instruction	Instruction Format		Byte 3	Byte 4	Operation
	Byte 1	Byte 2			
Programming Enable	1010 1100	0101 0011	xxxx xxxx	xxxx xxxx 0110 1001 (Output)	Enable Serial Programming while RST is high
Chip Erase	1010 1100	100x xxxx	xxxx xxxx	xxxx xxxx	Chip Erase Flash memory array
Read Program Memory (Byte Mode)	0010 0000	xxxx A1 ⁰⁰⁰⁰ A ₄ A ₃ A ₂ A ₁ A ₀	A ₄ A ₃ A ₂ A ₁ A ₀	D ₄ D ₃ D ₂ D ₁ D ₀	Read data from Program memory in the byte mode
Write Program Memory (Byte Mode)	0100 0000	xxxx A1 ⁰⁰⁰⁰ A ₄ A ₃ A ₂ A ₁ A ₀	A ₄ A ₃ A ₂ A ₁ A ₀	D ₄ D ₃ D ₂ D ₁ D ₀	Write data to Program memory in the byte mode
Write Lock Bits ⁽²⁾	1010 1100	1110 00 B ₂	xxxx xxxx	xxxx xxxx	Write Lock bits. See Note (2).
Read Lock Bits	0010 0100	xxxx xxxx	xxxx xxxx	xx ₂ xx ₁ xx ₀	Read back current status of the lock bits (a programmed lock bit reads back as a "1")
Read Signature Bytes ⁽¹⁾	0010 1000	xx ₂ A ₂ A ₁ A ₀	A ₀ xxx xxxx	Signature Byte	Read Signature Byte
Read Program Memory (Page Mode)	0011 0000	xxxx A1 ⁰⁰⁰⁰ A ₄ A ₃ A ₂ A ₁ A ₀	Byte 0	Byte 1... Byte 255	Read data from Program memory in the Page Mode (256 bytes)
Write Program Memory (Page Mode)	0101 0000	xxxx A1 ⁰⁰⁰⁰ A ₄ A ₃ A ₂ A ₁ A ₀	Byte 0	Byte 1... Byte 255	Write data to Program memory in the Page Mode (256 bytes)

Notes: 1. The signature bytes are not readable in Lock Bit Modes 3 and 4.

- 2. B1 = 0, B2 = 0 → Mode 1, no lock protection
- B1 = 0, B2 = 1 → Mode 2, lock bit 1 activated
- B1 = 1, B2 = 0 → Mode 3, lock bit 2 activated
- B1 = 1, B2 = 1 → Mode 4, lock bit 3 activated

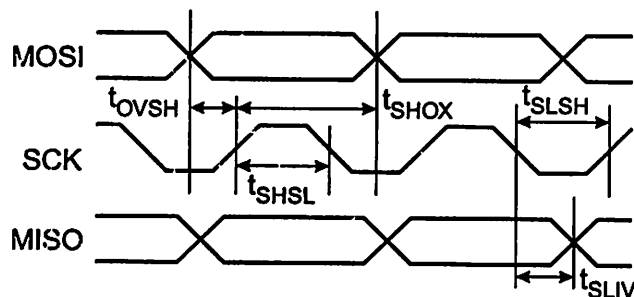
} Each of the lock bits needs to be activated sequentially before Mode 4 can be executed.

After Reset signal is high, SCK should be low for at least 64 system clocks before it goes high to clock in the enable data bytes. No pulsing of Reset signal is necessary. SCK should be no faster than 1/16 of the system clock at XTAL1.

For Page Read/Write, the data always starts from byte 0 to 255. After the command byte and upper address byte are latched, each byte thereafter is treated as data until all 256 bytes are shifted in/out. Then the next instruction will be ready to be decoded.

Serial Programming Characteristics

Figure 9. Serial Programming Timing

Table 9. Serial Programming Characteristics, $T_A = -40^\circ\text{C}$ to 85°C , $V_{CC} = 4.0 - 5.5\text{V}$ (Unless Otherwise Noted)

Symbol	Parameter	Min	Typ	Max	Units
$1/t_{CLCL}$	Oscillator Frequency	0		33	MHz
t_{CLCL}	Oscillator Period	30			ns
t_{SHSL}	SCK Pulse Width High	$8 t_{CLCL}$			ns
t_{SLSH}	SCK Pulse Width Low	$8 t_{CLCL}$			ns
t_{OVSH}	MOSI Setup to SCK High	t_{CLCL}			ns
t_{SHOX}	MOSI Hold after SCK High	$2 t_{CLCL}$			ns
t_{SLIV}	SCK Low to MISO Valid	10	16	32	ns
t_{ERASE}	Chip Erase Instruction Cycle Time			500	ms
t_{SWC}	Serial Byte Write Cycle Time			$64 t_{CLCL} + 400$	μs



Absolute Maximum Ratings*

Operating Temperature	-55°C to +125°C
Storage Temperature	-65°C to +150°C
Voltage on Any Pin with Respect to Ground	-1.0V to +7.0V
Maximum Operating Voltage	6.6V
DC Output Current.....	15.0 mA

*NOTICE:

Stresses beyond those listed under "Absolute Maximum Ratings" may cause permanent damage to the device. This is a stress rating only and functional operation of the device at these or any other conditions beyond those indicated in the operational sections of this specification is not implied. Exposure to absolute maximum rating conditions for extended periods may affect device reliability.

I_C Characteristics

The values shown in this table are valid for $T_A = -40^\circ\text{C}$ to 85°C and $V_{CC} = 4.0\text{V}$ to 5.5V , unless otherwise noted.

Symbol	Parameter	Condition	Min	Max	Units
V_{IL}	Input Low Voltage	(Except EA)	-0.5	$0.2 V_{CC}-0.1$	V
V_{IL1}	Input Low Voltage (EA)		-0.5	$0.2 V_{CC}-0.3$	V
V_{IH}	Input High Voltage	(Except XTAL1, RST)	$0.2 V_{CC}+0.9$	$V_{CC}+0.5$	V
V_{IH1}	Input High Voltage	(XTAL1, RST)	$0.7 V_{CC}$	$V_{CC}+0.5$	V
V_{OL}	Output Low Voltage ⁽¹⁾ (Ports 1,2,3)	$I_{OL} = 1.6 \text{ mA}$		0.45	V
V_{OL1}	Output Low Voltage ⁽¹⁾ (Port 0, ALE, PSEN)	$I_{OL} = 3.2 \text{ mA}$		0.45	V
V_{OH}	Output High Voltage (Ports 1,2,3, ALE, PSEN)	$I_{OH} = -60 \mu\text{A}, V_{CC} = 5\text{V} \pm 10\%$	2.4		V
		$I_{OH} = -25 \mu\text{A}$	$0.75 V_{CC}$		V
		$I_{OH} = -10 \mu\text{A}$	$0.9 V_{CC}$		V
V_{OH1}	Output High Voltage (Port 0 in External Bus Mode)	$I_{OH} = -800 \mu\text{A}, V_{CC} = 5\text{V} \pm 10\%$	2.4		V
		$I_{OH} = -300 \mu\text{A}$	$0.75 V_{CC}$		V
		$I_{OH} = -80 \mu\text{A}$	$0.9 V_{CC}$		V
I_{IL}	Logical 0 Input Current (Ports 1,2,3)	$V_{IN} = 0.45\text{V}$		-50	μA
I_{TL}	Logical 1 to 0 Transition Current (Ports 1,2,3)	$V_{IN} = 2\text{V}, V_{CC} = 5\text{V} \pm 10\%$		-650	μA
I_{LI}	Input Leakage Current (Port 0, EA)	$0.45 < V_{IN} < V_{CC}$		± 10	μA
RRST	Reset Pulldown Resistor		50	300	$\text{k}\Omega$
C_{IO}	Pin Capacitance	Test Freq. = 1 MHz, $T_A = 25^\circ\text{C}$		10	pF
I_{CC}	Power Supply Current	Active Mode, 12 MHz		25	mA
		Idle Mode, 12 MHz		6.5	mA
		$V_{CC} = 5.5\text{V}$		50	μA

Notes: 1. Under steady state (non-transient) conditions, I_{OL} must be externally limited as follows:

Maximum I_{OL} per port pin: 10 mA

Maximum I_{OL} per 8-bit port:

Port 0: 26 mA Ports 1, 2, 3: 15 mA

Maximum total I_{OL} for all output pins: 71 mA

If I_{OL} exceeds the test condition, V_{OL} may exceed the related specification. Pins are not guaranteed to sink current greater than the listed test conditions.

2. Minimum V_{CC} for Power-down is 2V.

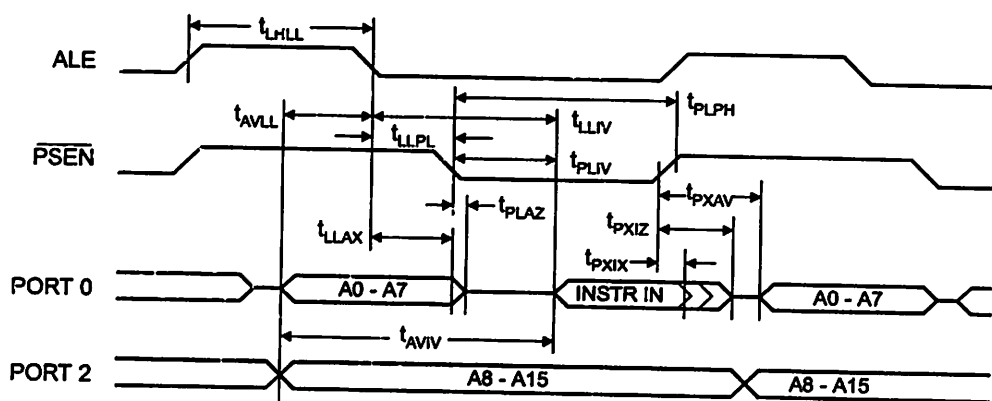
C Characteristics

Under operating conditions, load capacitance for Port 0, ALE/PROG, and PSEN = 100 pF; load capacitance for all other outputs = 80 pF.

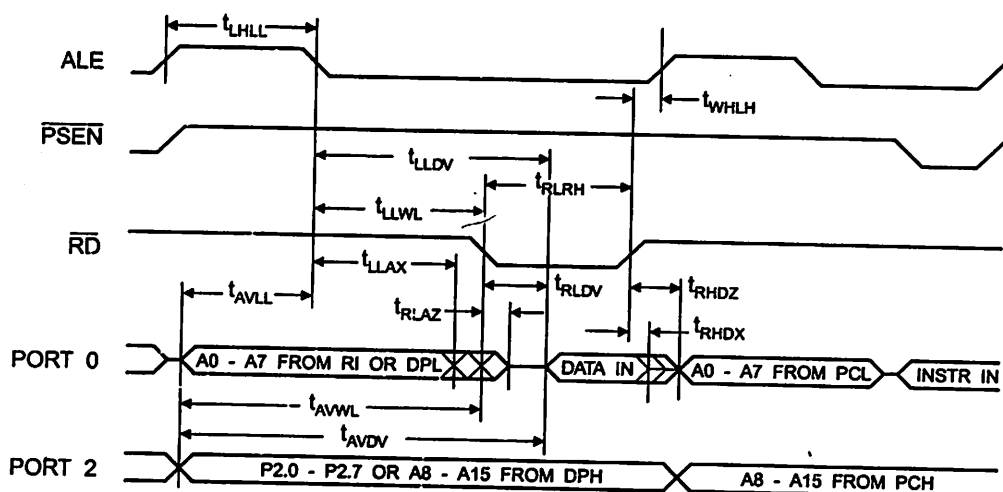
External Program and Data Memory Characteristics

Symbol	Parameter	12 MHz Oscillator		Variable Oscillator		Units
		Min	Max	Min	Max	
t _{CLCL}	Oscillator Frequency			0	33	MHz
HLL	ALE Pulse Width	127		2t _{CLCL} -40		ns
VLL	Address Valid to ALE Low	43		t _{CLCL} -25		ns
LAX	Address Hold After ALE Low	48		t _{CLCL} -25		ns
LIV	ALE Low to Valid Instruction In	—	233		4t _{CLCL} -65	ns
LPL	ALE Low to PSEN Low	43		t _{CLCL} -25		ns
LPH	PSEN Pulse Width	205		3t _{CLCL} -48		ns
LIV	PSEN Low to Valid Instruction In		145		3t _{CLCL} -60	ns
PXIX	Input Instruction Hold After PSEN	0		0		ns
PXIZ	Input Instruction Float After PSEN		59		t _{CLCL} -25	ns
PXAV	PSEN to Address Valid	75		t _{CLCL} -8		ns
AVIV	Address to Valid Instruction In		312		5t _{CLCL} -80	ns
PALZ	PSEN Low to Address Float		10		10	ns
RLRH	RD Pulse Width	400		6t _{CLCL} -100		ns
VLWH	WR Pulse Width	400		6t _{CLCL} -100		ns
RLDV	RD Low to Valid Data In		252		5t _{CLCL} -90	ns
RHDX	Data Hold After RD	0		0		ns
RHDZ	Data Float After RD		97		2t _{CLCL} -28	ns
LLDV	ALE Low to Valid Data In		517		8t _{CLCL} -150	ns
AVDV	Address to Valid Data In		585		9t _{CLCL} -165	ns
LLWL	ALE Low to RD or WR Low	200	300	3t _{CLCL} -50	3t _{CLCL} +50	ns
AVWL	Address to RD or WR Low	203		4t _{CLCL} -75		ns
QVWX	Data Valid to WR Transition	23		t _{CLCL} -30		ns
QVWH	Data Valid to WR High	433		7t _{CLCL} -130		ns
WHQX	Data Hold After WR	33		t _{CLCL} -25		ns
RLAZ	RD Low to Address Float		0		0	ns
WHLH	RD or WR High to ALE High	43	123	t _{CLCL} -25	t _{CLCL} +25	ns

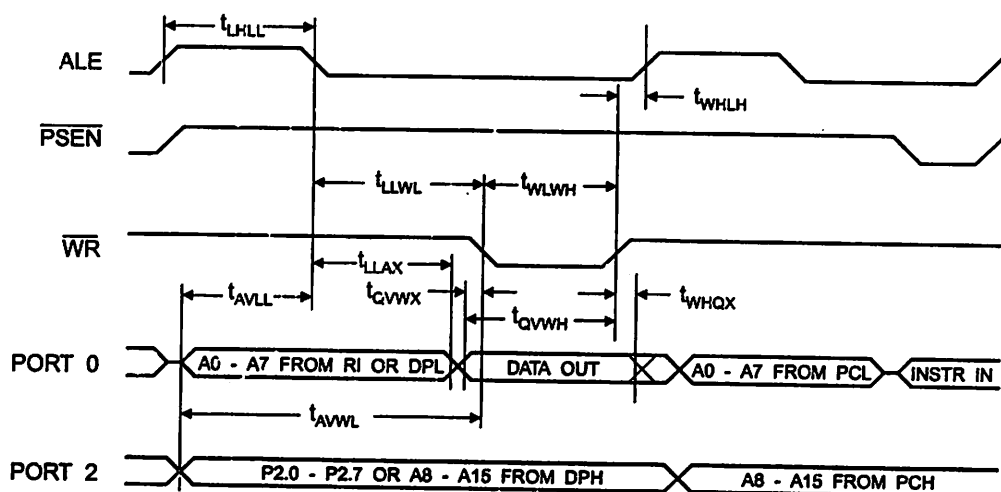
External Program Memory Read Cycle



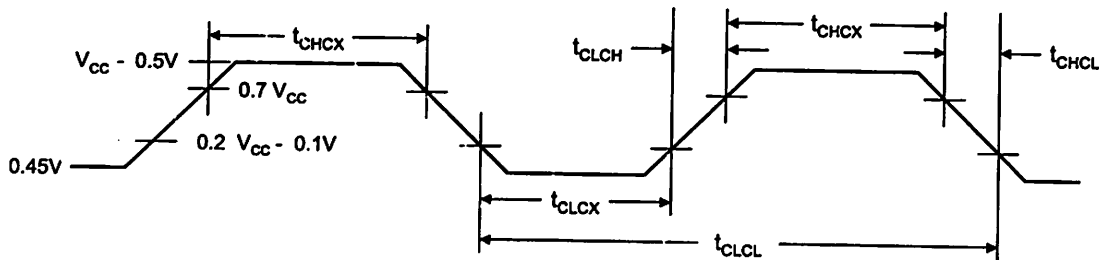
External Data Memory Read Cycle



External Data Memory Write Cycle



External Clock Drive Waveforms



External Clock Drive

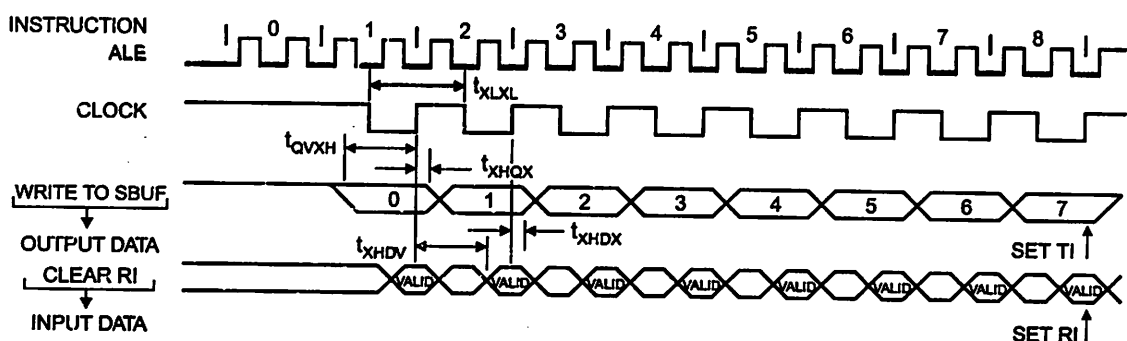
Symbol	Parameter	Min	Max	Units
$1/t_{CLCL}$	Oscillator Frequency	0	33	MHz
CLCL	Clock Period	30		ns
CHCX	High Time	12		ns
CLCX	Low Time	12		ns
CLCH	Rise Time		5	ns
CHCL	Fall Time		5	ns

Serial Port Timing: Shift Register Mode Test Conditions

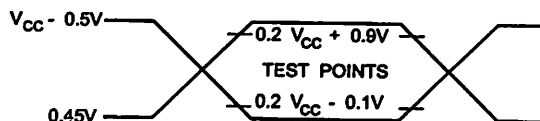
The values in this table are valid for $V_{CC} = 4.0V$ to $5.5V$ and Load Capacitance = 80 pF .

Symbol	Parameter	12 MHz Osc		Variable Oscillator		Units
		Min	Max	Min	Max	
t_{XLXL}	Serial Port Clock Cycle Time	1.0		$12t_{CLCL}$		μs
t_{QVXH}	Output Data Setup to Clock Rising Edge	700		$10t_{CLCL}-133$		ns
t_{XHOX}	Output Data Hold After Clock Rising Edge	50		$2t_{CLCL}-80$		ns
t_{XHDX}	Input Data Hold After Clock Rising Edge	0		0		ns
t_{XHDV}	Clock Rising Edge to Input Data Valid		700		$10t_{CLCL}-133$	ns

Shift Register Mode Timing Waveforms

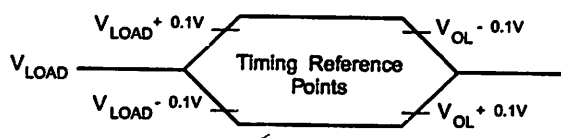


AC Testing Input/Output Waveforms⁽¹⁾



note: 1. AC Inputs during testing are driven at $V_{CC} - 0.5V$ for a logic 1 and $0.45V$ for a logic 0. Timing measurements are made at V_{IH} min. for a logic 1 and V_{IL} max. for a logic 0.

Float Waveforms⁽¹⁾



note: 1. For timing purposes, a port pin is no longer floating when a 100 mV change from load voltage occurs. A port pin begins to float when a 100 mV change from the loaded V_{OH}/V_{OL} level occurs.

Ordering Information

Speed (MHz)	Power Supply	Ordering Code	Package	Operation Range
24	4.0V to 5.5V	AT89S51-24AC	44A	Commercial (0° C to 70° C)
		AT89S51-24JC	44J	
		AT89S51-24PC	40P6	
		AT89S51-24AI	44A	Industrial (-40° C to 85° C)
		AT89S51-24JI	44J	
		AT89S51-24PI	40P6	

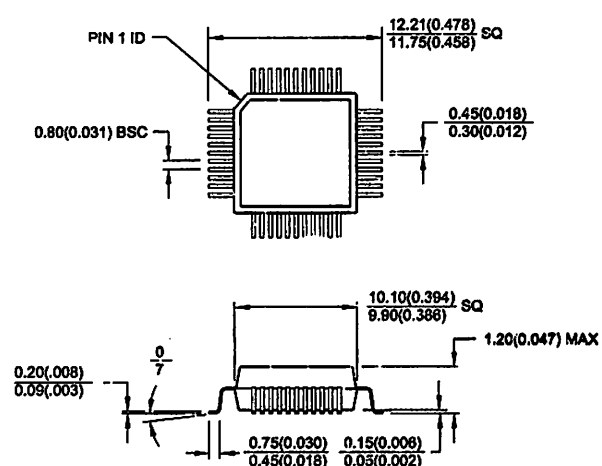
= Preliminary Availability

Package Type

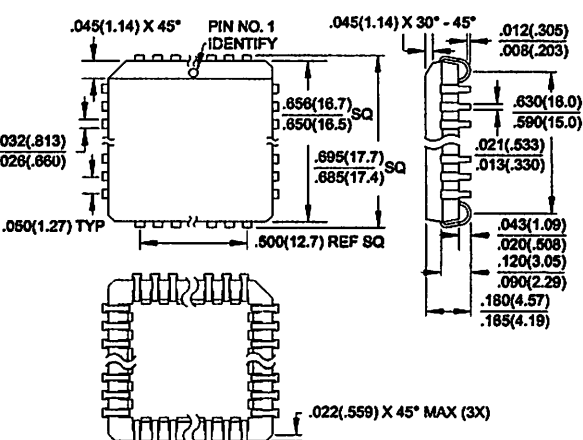
A	44-lead, Thin Plastic Gull Wing Quad Flatpack (TQFP)
J	44-lead, Plastic J-leaded Chip Carrier (PLCC)
P6	40-pin, 0.600" Wide, Plastic Dual Inline Package (PDIP)

Packaging Information

44A, 44-lead, Thin (1.0 mm) Plastic Gull Wing Quad Flat Package (TQFP)
Dimensions in Millimeters and (Inches)*

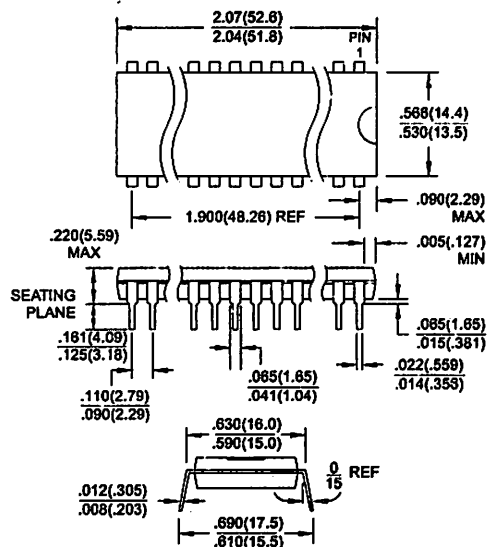


44J, 44-lead, Plastic J-leaded Chip Carrier (PLCC)
Dimensions in Inches and (Millimeters)



*Controlling dimension: millimeters

40P6, 40-pin, 0.600" Wide, Plastic Dual Inline Package (PDIP)
Dimensions in Inches and (Millimeters)
JEDEC STANDARD MS-011 AC





Atmel Headquarters

Corporate Headquarters
2325 Orchard Parkway
San Jose, CA 95131
TEL (408) 441-0311
FAX (408) 487-2600

Europe
Atmel SarL
Route des Arsenaux 41
Casa Postale 80
CH-1705 Fribourg
Switzerland
TEL (41) 26-426-5555
FAX (41) 26-426-5500

Asia
Atmel Asia, Ltd.
Room 1219
Chinachem Golden Plaza
77 Mody Road Tsimhatsui
East Kowloon
Hong Kong
TEL (852) 2721-9778
FAX (852) 2722-1369

Japan
Atmel Japan K.K.
9F, Tonetsu Shinkawa Bldg.
1-24-8 Shinkawa
Chuo-ku, Tokyo 104-0033
Japan
TEL (81) 3-3523-3551
FAX (81) 3-3523-7581

Atmel Product Operations

Atmel Colorado Springs
1150 E. Cheyenne Mtn. Blvd.
Colorado Springs, CO 80906
TEL (719) 576-3300
FAX (719) 540-1759

Atmel Grenoble
Avenue de Rochepleine
BP 123
38521 Saint-Egreve Cedex, France
TEL (33) 4-7658-3000
FAX (33) 4-7658-3480

Atmel Heilbronn
Theresienstrasse 2
POB 3535
D-74025 Heilbronn, Germany
TEL (49) 71 31 67 25 94
FAX (49) 71 31 67 24 23

Atmel Nantes
La Chantreie
BP 70602
44306 Nantes Cedex 3, France
TEL (33) 0 2 40 18 18 18
FAX (33) 0 2 40 18 19 60

Atmel Rousset
Zone Industrielle
13106 Rousset Cedex, France
TEL (33) 4-4253-6000
FAX (33) 4-4253-6001

Atmel Smart Card ICs
Scottish Enterprise Technology Park
East Kilbride, Scotland G75 0QR
TEL (44) 1355-357-000
FAX (44) 1355-242-743

e-mail
literature@atmel.com

Web Site
<http://www.atmel.com>

Atmel Corporation 2001.

Atmel Corporation makes no warranty for the use of its products, other than those expressly contained in the Company's standard warranty which is detailed in Atmel's Terms and Conditions located on the Company's web site. The Company assumes no responsibility for any errors which may appear in this document, reserves the right to change devices or specifications detailed herein at any time without notice, and does not make any commitment to update the information contained herein. No licenses to patents or other intellectual property of Atmel are granted to the Company in connection with the sale of Atmel products, expressly or by implication. Atmel's products are not authorized for use as critical components in life support devices or systems.

ATMEL® is the registered trademark of Atmel.

CS-51® is the registered trademark of Intel Corporation. Terms and product names in this document may be trademarks of others.



2487A-10/01/xM